

БУЛЕТИНУЛ

АКАДЕМИЕЙ ДЕ ШТИИНЦЕ А РСС МОЛДОВЕНЕШТЬ

ИЗВЕСТИЯ

АКАДЕМИИ НАУК МОЛДАВСКОЙ ССР

5 1989

ISSN 0568-5192



Серия
биологических
и химических наук

В ИЗДАТЕЛЬСТВЕ «ШТИИНЦА» ГОТОВЯТСЯ К ВЫПУСКУ
В 1990 ГОДУ

Вавельский М. М., Чебан Ю. М. ЗАЩИТА ОКРУЖАЮЩЕЙ СРЕДЫ ОТ ХИМИЧЕСКИХ ВЫБРОСОВ ПРОМЫШЛЕННЫХ ПРЕДПРИЯТИЙ. 10 л. Рус. яз. 2 р. 10 к.

В монографии рассмотрены и обобщены вопросы предотвращения загрязнения природной среды вредными выбросами предприятий электротехнической промышленности. Даны классификация методов очистки сточных вод от трудно отделяемых химических веществ, обезвреживания поверхностного стока (дождевых, талых и поливомоечных вод) с территорий промышленных предприятий, краткая характеристика показателей санитарной эффективности систем обезвреживания промышленных выбросов. Описаны способы и технологические схемы ряда газообразных, жидких и твердых отходов и пути использования образовавшихся побочных продуктов.

Для инженеров, студентов старших курсов, научных работников, а также для тех, кто интересуется проблемой охраны окружающей среды.

Леваднюк А. Т., Мицул Е. З., Сиволобов Г. Н. ОГЛ ПЛЗНЕОПАСНЫЕ ТЕРРИТОРИИ ИСПОЛЬЗОВАНИЯ

1989 субвенций Молд ССР
N5 ср: бал. худ. №42

В монографии расположены описания выделения, Установления, Данные расчеты с учетом их географии. Для географов, и охраны приро-

Если
нала, м
чем в н
Для
газин «
Ленина,

БУЛЕТИНУЛ

АКАДЕМИЕЙ ДЕ ШТИИНЦЕ А РСС МОЛДОВЕНЕШТЬ

СЕРИЯ ШТИИНЦЕ БИОЛОЖИЧЕ ШИ КИМИЧЕ

ИЗВЕСТИЯ

АКАДЕМИИ НАУК МОЛДАВСКОЙ ССР

СЕРИЯ БИОЛОГИЧЕСКИХ И ХИМИЧЕСКИХ НАУК

5 1989
(242)

Научно-теоретический журнал

Основан в январе 1948 года

Выходит шесть раз в год



Кишинэу
«Штиинца»
Кишинев



В. Х. АНЕСТИАДИ

КОРОНАРОСКЛЕРОЗ В АСПЕКТЕ ИММУНОМОРФОЛОГИИ*

РЕДАКЦИОННАЯ КОЛЛЕГИЯ

член-корреспондент АН СССР,
академик ВАСХНИЛ А. А. Жученко,
академик АН МССР А. Ф. Урсу (главный редактор),
академик АН МССР, академик ВАСХНИЛ М. Ф. Лупашку,
академики АН МССР В. Х. Анестиади, И. Б. Берсукер
(зам. главного редактора), А. А. Спасский, С. И. Тома,
члены-корреспонденты АН МССР Н. Н. Балашова, П. Ф. Влад,
Т. С. Гейдеман, Б. Т. Матиенко (зам. главного редактора),
А. Г. Негру, Ф. И. Фурдуй,
доктора биологических наук М. Д. Кушниренко, Г. А. Успенский,
доктор сельскохозяйственных наук В. Н. Лысиков,
доктор медицинских наук Г. В. Меренюк,
кандидат биологических наук В. Г. Холмецкая (ответственный секретарь)

В возникновении, прогрессировании и регрессировании атеросклероза существенное значение придается пластичности артериальной стенки. Обстоятельные исследования отечественных и зарубежных авторов на данном этапе аргументировано подняли роль синергизма факторов иммунологии и коагулологии [7, 8] при атеросклерозе.

Взаимодействие при атерогенезе иммунологических и коагулологических факторов, их отображение в субстрате артерий, вернее, морфологическая идентификация, позволяют отчетливее демонстрировать суть процессов, увязать с топикой конкретных структур. Одновременно создаются условия для проникновения в сложнейший лабиринт патоморфоза атеросклероза, и коронаросклероза в частности.

Результаты многолетних исследований, проведенных в научных учреждениях Кишинева, отчасти совместно с лабораторией атеросклероза им. акад. Н. Н. Анчикова в Ленинграде, утвердили сформулированную концепцию о ранних стадиях атеросклероза [1] и способствовали дальнейшему ее развитию. Одновременно появились возможности основательно раскрыть ряд важных звеньев в патогенезе заболеваний [4].

Новые данные ориентируют на изучение иммуноморфологических аспектов коронаросклероза, который чаще всего служит первопричиной коронарной, ишемической болезни сердца (ИБС) и инфаркта миокарда, обусловливая и виениинфарктные изменения в «интактном» миокарде [6].

В арсенале современной морфологии имеется богатый выбор адекватных методов, применение которых проясняет и утверждает существующие гипотезы и концепции, в том числе: о ранних стадиях атеросклероза, об иммунологических, коагулологических, аутоиммунных, аутоагрессивных, пусковых и поддерживающих механизмах атеросклероза и др.

Одним из достоверных признаков атеросклероза в ранних стадиях является повреждение эндотелия. С позиции иммунных дисбалансов цитопатогенное действие проявляется в виде повреждения гликокаликсного слоя надэндотелиальной поверхности интимы.

При экспериментальной гиперхолестеринемии гликокаликс реагирует первым. В области его повреждения откладываются меченный ^{125}I , липопroteины низкой плотности (ЛПНП) и апо-B-содержащие липопротеины.

В коронарной артерии сердца человека (на биоптатах артерий) наблюдается аналогичная картина повреждения эндотелия. Гликокаликс отсутствует. Констатируется раскрытие межэндотелиальных канальцев, гидратация субстрата, серозно-фибринозный отек субэндотелиального слоя; создаются условия для пенетрации ингредиентов плазмы.

В эксперименте $^3\text{H}-\text{IgG}$ оптимально проникает в расширенные межэндотелиальные канальца. Повреждение элементов интимы в зоне измененного эндотелия вызывает выделение тромбопластина, ослабление фибринолитической активности, ведет к превращению фибриногена в фибрин в виде мелких аморфных масс и более крупных конгломератов. В биоптатах коронарных артерий, получен-

© Отделение биологических и химических наук Академии наук Молдавской ССР.
«Известия Академии наук Молдавской ССР. Серия биологических и химических наук», 1989.

* Работа доложена на заседании научного совета по сердечно-сосудистым заболеваниям АМН СССР 30 марта 1989 г.

ных при реконструктивных операциях на сердце, явления начинаящего липидоза демонстрируются в виде мельчайших гранул и иммунодиффузивных пропитываний субстрата. Над липидным пятном коронарной артерии человека констатируются адгезия и агрегация тромбоцитов. В зоне повреждения эндотелия наблюдается частичная дегрануляция. Следовательно, морфологически подтверждается сопряжение факторов инфильтрации и коагуляции.

Идентично топике, описанной ранее, в коронарной артерии специфично выявляются apo-B-содержащие липопротеины и иммуноглобулины IgG, а также отложение С₃ фрагмента комплекса.

Таким образом, синергизм факторов коагуляции и иммунных процессов отчетливо структурно идентифицируется.

Иммуноморфологическая характеристика подсказывает приемлемость применения на данном этапе среди воздействия, способствующих коррекции обмена липопротеинов, предотвращению и приостановлению образованию иммунных комплексов.

Прогрессирование атеросклероза с динамикой известных морфологических проявлений (липоэклероз, бляшка, атероматоз, атерокальциноз) интенсифицируется по масштабу идентификации иммунных комплексов и распространению морфологических проявлений.

Морфологическое, а также иммунофлуоресцентное исследование коронарных артерий сердца выявило наиболее выраженные поражения в левой ветви. Коронарные артерии можно моделировать на компьютере и интегрировать все данные и информацию о состоянии органических изменений при проведении радиоангиографии, что крайне необходимо для тактики и стратегии ведения больного.

Все больше данных появляется в пользу того, что обострение ИБС, сопровождающееся антигенными приступами стенокардии, связано с фиксацией иммунного комплекса в стенке коронарных артерий с последующими реактивными изменениями в пределах тканей.

На отложение компонентов иммунного комплекса реагируют клеточные элементы. В стенке коронарной артерии выступают фибринозные массы в виде аморфных конгломератов, а также целыми пластиами.

Особо следует отметить состояние интрамиокардиальной сосудистой системы при таких тяжелых состояниях больного, когда предполагается волна фиксации и активного влияния иммунокомплексов.

Констатируется порой тотальное наbuahание стенки сосуда с полным закрытием просвета, сильная гидратация, гомогенизация анатомической структуры и прилегающих элементов; процесс находится на грани некробиоза.

Другие мелкие сосуды заполнены белковыми массами; конгломераты препятствуют току крови. Повреждение интимы образует выступы в просвет. Очень ранима вся основа сосудистой стенки, что приводит к деформации, потере эластичности, повышению проницаемости, изменению физико-химических свойств кардиомиоцитов, своеобразной их флуоресценции.

Процесс эдематизации, изменение трофики субстрата охватывают всю интрамиокардиальную сосудистую микросистему.

Циркулирующие иммунные комплексы могут фиксироваться, по-видимому, на стеках микроциркуляторного русла. Дополнительно оригинальна в таких случаях реакция клеточных элементов, которые густо и равномерно инфильтрируют стенку микрососуда.

Иммунокомплексы, локализуясь в венах узлов коронарных артерий сердца, вызывают всю гамму вышеупомянутых анатомических изменений.

Адекватно степени прогрессирования заболевания артерио-венозный индекс меняется в сторону уменьшения.

Влияние иммунных комплексов на волокнистые структуры стенки коронарных артерий сердца имеет причинно-следственное значение в поддержании аутоагgressии.

В зонах расщепления эластики фрагментации, эластиолиза и повреждения коллагеновых волокон в

силу изменения проницаемости возникают благоприятные условия для инфильтрации липидов, элементов плазменных белков, вывлечения гладкомышечных клеток и моноцитов [2]. Процесс имеет весьма полиморфный характер. Создаются соответствующие условия для образования иммунных комплексов в зонах на обнаженных антигенных детерминантах волокнистых структур. Использование иммунных сывороток против эластина, коллагена и структурных гликокомпонентов выявляет специфическое флуоресцентное свечение в участках атероскллеротического повреждения артериальной стенки.

Следует подчеркнуть, что перенестиющее состояние, сопровождающееся сильным обострением ИБС, интенсивным процессом в коронарных артериях сердца, характеризуется топическими и ярким свечением иммунокомплексов среди пучков волокон. При этом кардиомиоциты отличаются довольно оригинальной мозаичностью, своеобразной флуоресценцией, подчеркивающими их физико-химические сдвиги как ответ на выражение стрессорное повреждение. Кардиомиоциты выявляют в своей структуре липиды, указывающие на далеко зашедший дистрофический процесс. Часто одновременно в сосудах обнаруживаются компоненты иммунокомплексов.

В период ремиссии болезни в участках стенки артерии, где можно предположить регресс процесса, наряду с уже известными явлениями активизации соответствующих энзимных систем артерий [3], которые приводят как бы к резорбции липидных масс — превращению в мельчайшие гранулы, ретроградным явлениям подвергаются и остальные активные факторы системы коагуляции и иммунокомпоненты. Тромбопластины, находясь в сопокупности с продуктами распада волокнистых структур, легче исчезает при активизации лизитических процессов, осуществляемых макрофагами со стороны адвенции. Остатки компонентов иммунокомплексов перенестируют в глубине бляшек, но все же ликвидируются. Пластины фибринина имеют важное значение в коррекции динамики и прогнозе заболевания.

Су, который четкими полями очищает субстрат артериальной стенки. В этот процесс вовлекается так называемая «дренажная система» паравазальных лимфонодулей коронарных артерий и регионарных лимфоузлов [5].

Исследование паравазальных «лимфонодулей» коронарных артерий и регионарных лимфатических узлов выявило ряд сдвигов иммунологического характера: увеличение числа плазматических клеток, появление плазмо- и лимфобластов, уменьшение числа малых и средних лимфоцитов. Описанные явления можно расценить как местную реакцию В-типа, развивающуюся в ответ на проникновение в лимфатический дренаж артериальной стенки элементов структурных компонентов аутоиммунного комплекса.

Аутоиммунные механизмы при коронаросклерозе, непрерывно включаясь в сложную, многокомпонентную цепь механизмов атерогенеза, могут оказывать существенное влияние на становление, развитие, течение заболевания в целом. Участвуя в образовании топических изменений в субстрате артерий, в зависимости от их пластичности, формируются варианты функционально-клинических проявлений.

Волнообразность иммунологических реакций находится в тесной коррелятивной связи с изменениями общего обмена липопротеинов, а также с «регионарным» изменением метаболизма артериальной стенки, связанным с состоянием интрамуральной «транспортной» системы и лимфатического дренажа.

Дальнейшее изучение коронаросклероза с иммуноморфологическими позициями фундаментально раскрывает патогенез и ориентирует в методологии и методах распознавания патоморфоза атеросклероза.

Новые результаты целенаправленных исследований коронаросклероза будут способствовать скринингу оптимальных средстий воздействия на атерогенез. В условиях гемодинамических и морфологических особенностей коронарного кровотока это возымеет важное значение в коррекции динамики и прогнозе заболевания.

ЛИТЕРАТУРА

- Анестиади В. Х. Атеросклероз артерий. Кишинев, 1967.
- Анестиади В. Х., Зота Е. Г. Эластика артерий и атеросклероз. Кишинев, 1970.
- Анестиади В. Х., Руссу С. П. Эзизмы артерий и атеросклероз. Кишинев, 1973.
- Анестиади В. Х., Насореас В. А. //Архив патологии. 1984, № 3. С. 10–17.
- Анестиади В. Х., Савва В. М. //Общие закономерности морфогенеза и регенерации. Тбилиси, 1988. С. 33–36.
- Ципле И. Т. Морфофункциональная характеристика неповрежденных отделов сердца при остром инфаркте миокарда у человека: Автореф. дис. ... канд. мед. наук. М., 1984.
- Чазов Б. И. //Стенка сосудов в атеро- и тромбогенезе. М., 1983. С. 195–204.
- Constantinides P. Ultrastructural pathobiology. Elsevier, 1984.

Резумат

Ыи артикол се ыичарку о синтезэ прелиминар и инвестигациилор реализате ыи де-

курсе де ань ыа Кишинеу ыи доменинул атеросклероз коронариене. Се епиденциязэ синергисмул факторилор имуноложичч ши коагулологиячч. Ачест синергисм с идентификат ыи субстрат вакуулар. Феноменулуй де синергисм дессербр ый ревине ролул дечисив ыи морфо-ши патоженеза болий.

Summary

A distinct synergism of coagulologic and immunologic factors has been stated by summarizing the results of many years studies of the substrate of the coronary arteries from the position of immunomorphology.

By the beginning, progressing and regressing of atherogenesis the synergism of the denoted factors plays a substantial role. Further studies of the coronarosclerosis immunomorphology will be of great importance for a fundamental elucidation of patho- and morphogenesis, and also for selection of optimum correction procedures.

Институт зоологии
и физиологии АН МССР

Поступила 30.03.89

В ИЗДАТЕЛЬСТВЕ «ШТИИНЦА» ГОТОВЯТСЯ К ВЫПУСКУ В 1990 ГОДУ

Попович М. И., Капелько В. И. СТРУКТУРНО-МЕТАБОЛИЧЕСКИЕ ОСНОВЫ КАРДИОМИОПАТИИ (клинические и экспериментальные исследования). 15 л. Рус. яз. 3 р. 30 к.

Освещена одна из наиболее сложных в диагностическом плане и недостаточно изученных проблем — некоронарное поражение миокарда. Отражены результаты многолетних исследований авторов по изучению механизмов поражения сердца при различных токсических воздействиях (лекарственных препаратов, пестицидов и др.). Детально описаны результаты экспериментальных исследований и течение функциональных и обменных процессов при застойной кардиомиопатии.

Для практических врачей, научных работников, занимающихся вопросами кардиологии, и врачей по функциональной диагностике.

Лазарев И. М. ОПУХОЛИ ЛИМФАТИЧЕСКИХ УЗЛОВ (атлас). 10 л. Рус. яз. 1 р. 70 к.

В атласе рассмотрены вопросы диагностики метастазов злокачественных новообразований, а также первичных опухолей лимфатических узлов. Приведены дифференциальная диагностика злокачественных опухолей различного генеза. Для патоморфологов, цитологов,

Оформление заказа см.
на 2-й странице обложки.

БОТАНИКА

Д. В. ДУБЫНА

ГЕОБОТАНИЧЕСКОЕ РАЙОНИРОВАНИЕ УСТЬЕВОЙ ОБЛАСТИ ДНЕСТРА

Выявление основных закономерностей в распределении растительного покрова — важнейшая предпосылка его рационального использования и эффективной охраны [10–12]. Особую актуальность оно, приобретает для территорий с напряженной экологической ситуацией, к которым в настоящее время относятся плавни Днестра на территории МССР и УССР. Эти плавни — цельная в геоботаническом отношении историческая категория, развитие комплекса растительных группировок которой шло параллельно со становлением плавневого ландшафта и системы устьевой области в целом.

Детального геоботанического районирования территории устьевой области Днестра до настоящего времени проведено не было. В схемах районирования молдавских и украинских ботаников эта территория отнесена к геоботаническому округу ковыльных степей и пойменной растительности [4, 5] или типчаково-ковыльных степей и галофильно- песчаной растительности [1]. В детально разработанной схеме эколого-ботанического районирования Смирнова-Гараева [15] относит всю территорию устьевой области Днестра к плавнево-приустьевому эколого-ботаническому району.

На основе схем районирования Причерноморской степной провинции [1, 4, 5, 10–12], а также проведенных нами с 1978 по 1988 гг. исследований разработано детальное геоботаническое районирование территории устьевой области Днестра (схема).

В качестве основной единицы районирования, выделяемой в пределах границ устьевой области реки, принят геоботанический район, внутренняя однородность растительного покрова

которого выше, чем между районами [6]. Районы подразделяются на подрайоны на основании различного соотношения площадей синтаксонов растительности [13].

Днестровский плавнево-литоральный (Затокско-Чобручский) геоботанический район занимает территорию, административно относящуюся к Белгород-Днестровскому, Беляевскому, Раздельнянскому районам Одесской области, Суворовскому и Слободзейскому районам МССР. Его северная граница проходит по верховым устьевой области Днестра, восточная и западная — по пойме Днестра и Кучурганского лимана, южная — примыкает к акватории Черного моря. Рельеф территории равнинный. Повышения (от 0,3 до 3 м высоты) образуют гряды — прирусловые, пойменные и приморские. Среднегодовая температура воздуха — 7–9°, среднегодовое количество осадков — 360–400 мм.

Гидрографическую сеть составляют два крупных водотока — Днестр и Турунчук, их старицы, внутриводные озера, межозерные водотоки, а также Днестровский и Кучурганский лиманы. Развитие и становление последнего тесно связано с формированием устьевой области в целом. Половодье происходит в три этапа: ранней весной, летом и ранней осенью. Исследованная территория неоднократно испытывала исходящие тектонические движения, в результате чего происходило накопление мощной толщи осадочных пород, на которых и формировалась современная плавневая растительность.

Растительный покров Днестровско-го плавнево-литорального геоботанического района отличается большим участием в его составе болотной рас-



Схема геоботанического районирования территории устьевой области Днестра.

Условные обозначения:

1 — Днестровский лиманно-приморский геоботанический подрайон; 2 — Днестровский лиманно-уставной геоботанический подрайон; 3 — Днестровский приуставной геоботанический подрайон; 4 — Кучурганский лиманно-уставной геоботанический подрайон; 5 — границы района; 6 — границы подрайона

тительности [9]. По занимаемой пло-

щади на втором месте находится водная растительность [7, 15], на третьем — лесная, четвертом — галофильная, пятом — луговая [16]. Небольшие площади занимают группировки зарастающих песков [1]. Преобладающая по площади болотная растительность сосредоточена в основном на территориях устьевого и приуставного участков. Она образована

Phragmites australis (Cav.) Trin. ex Steud., *Carex acutiformis* Ehrh., *C. pseudocyperus* L., *C. acuta* L., *Typha angustifolia* L., *T. latifolia* L., *Salix cinerea* L. Водная растительность занимает наибольшие площади на мелководьях Днестровского лимана, во внутриводных водоемах и водотоках устьевого и приуставного участков, а также на приморском предуставном участке устьевой области Днестра. На пресноводных местообитаниях ведущими ценозообразователями водной растительности выступают *Potamogeton perfoliatus* L., *Vallis-*

neria spiralis L., *Nymphaea alba* L., *Stratiotes aloides* L. и др., на слабосолоноватоводных — *Najas marina* L., *Potamogeton pectinatus* L., *Myriophyllum spicatum* L., *Ceratophyllum demersum* L., *C. platycanthum* Cham. и др., на солоноватоводных — *Zannichellia pedunculata* Reichenb., *Ruppia maritima* L., *Zostera marina* L., *Z. noltii* Hornem. и другие менее распространенные виды цветковых растений.

Древесная и кустарниковая растительность приурочена к берегам главных и второстепенных водотоков, а также внутриводных озер Белое, Кривое, Васильки и др. Ее образуют *Salix alba* L., *S. fragilis* L., *S. viminalis* L., *Populus nigra* L., *P. alba* L., *Fraxinus excelsior* L., *Alnus glutinosa* (L.) Gaertn. и *Quercus robur* L. Последний вид формирует массив пойменного леса, связанный с плавневыми геокомплексами.

Галофильная растительность распространена на территориях, прилегающих к Днестровскому лиману, и на притеррасных участках. Преобладают сообщества, образованные *Salicornia europaea* L., *Suaeda prostrata* Pall., *Triglochin maritimum* L., *Puccinellia distans* (Jacq.) Parl., *Scorzonera parviflora* Jacq., *Plantago salsa* Pall. и др.

Луговая растительность приурочена к грядам и притеррасным участкам устьевого и приуставного участков. Ее образуют *Phalaroides arundinacea* (L.) Rausch., *Festuca pratensis* Huds., *Calamagrostis epigeios* (L.) Roth., *Elytrigia repens* (L.) Nevski и др.

Растительность зарастающих песков сосредоточена на пересыпи Днестровского лимана. Она представлена группировками *Leymus sabulosus* (Bieb.) Tzvel., *Centaurea ruthenica* Lam., *C. odessana* Prod., *Polygonum arenarium* Waldst. et Kit., *Glycyrrhiza echinata* L., *Eryngium maritimum* L., *Carex colchica* J. Gay, *Artemisia scoparia* Waldst. et Kit. и др.

Днестровский лиманно-приморский геоботанический подрайон занимает территорию нижней части Днестровского лимана и прилегающие к нему прибрежные участки. Его северной границей является полоса смены солоноватоводной растительности и

пресноводной широкой экологии. Восточная и западная границы проходят по берегам (притеррасные участки) Днестровского лимана, а южная примыкает к акватории Черного моря. В западной и северо-западной частях подрайона вследствие проведенной мелиорации и строительства рыбоводных прудов растительный покров в высокой степени нарушен. На этой территории также сильно выражена пастищная дигрессия в основном луговой и галофильной растительности. Остальная территория отличается сравнительно малонарушенным растительным покровом. В северной части подрайона распространена водная растительность с преобладанием ассоциаций *Potamogeton perfoliatus* (монодом.), *P. perfoliatus+Ceratophyllum demersum*, *P. perfoliatus+C. platycanthum*, *P. perfoliatus+P. pectinatus*, *P. perfoliatus+Myriophyllum spicatum*, *P. pectinatus* (монодом.), *P. pectinatus+C. demersum*, *P. pectinatus++P. berchtoldii*, *P. pectinatus+Myriophyllum spicatum*, *P. pectinatus+Najas marina* и др. В восточной и западной частях наряду с ней на прибрежных участках характерна прибрежно-водная растительность. В ее составе наиболее часты *Phragmites australis* (монодом.), *Ph. australis+Typha angustifolia*, *Ph. australis+T. laxmannii*, *Typha angustifolia+Scirpus littoralis*, *T. angustifolia+S. lacustris*, *Typha laxmannii* (монодом.), *Scirpus lacustris* (монодом.), *S. lacustris+Bolboschoenus maritimus*. На более повышенных, временно затопляемых территориях преобладает луговая растительность, представленная сообществами *Agrostis stolonifera* (монодом.), *Bolboschoenus maritimus* (монодом.), *B. maritimus+Aeluropus littoralis*, *B. maritimus+Tripolium vulgare*, *B. maritimus+A. stolonifera*, *B. maritimus+Triglochin maritimum*, *Aeluropus littoralis* (монодом.), *A. littoralis+A. stolonifera*, *Aeluropus littoralis+T. maritimum*, *Triglochin maritimum* (монодом.), *T. maritimum+Salicornia europaea*, *T. maritimum+Suaeda prostrata* и др. В южной части характерна солоноватоводная растительность, а также пресноводная широкая экология. Большие площади занима-

ют ассоциации *Ruppia maritima* (монодом.), *Zannichellia palustris* (монодом.), *Z. palustris+Potamogeton pectinatus*, *Z. palustris+Ceratophyllum demersum*, *Ceratophyllum demersum* (монодом.), *Potamogeton pectinatus rigum*, *P. pectinatus+C. demersum*, *P. pectinatus+Myriophyllum spicatum* и др.

Для территории Днестровского лиманно-приморского подрайона характерно наличие значительного числа галогидрофитов (*Zostera marina*, *Z. noltii*, *Ruppia maritima*, *R. cirrhosa* (*Petagna*) Grande, *Zannichellia pedunculata*), которые в других подрайонах не встречаются. На территории этого геоботанического подрайона находятся объекты, где ведется непрямая охрана растительного покрова*. Это угодья Белгород-Днестровского охотхозяйства (УССР, пл. 885 га) [8].

Днестровский лиманно-уставной геоботанический подрайон занимает уставный участок Днестра и северную часть Днестровского лимана. Северной границей подрайона являются верховья уставного участка, восточная и западная границы совпадают с границами района, южная примыкает к территории Днестровского лиманно-приморского геоботанического подрайона. Растительный покров сильно нарушен на участках, примыкающих к населенным пунктам. Большие территории (УССР) осушены и распаханы, значительные площади заняты прудовыми хозяйствами (УССР). Растительность прирусовых гряд подвержена пастищной дигрессии, на прилегающих к ним участках ведется сенокошение. Остальная территория характеризуется относительно малонарушенным растительным покровом. В северной части территории подрайона широко распространена травяно-болотная растительность, в составе которой преобладают сообщества *Phragmites australis* — *Carex acutiformis*, *Ph. australis* — *Thelypteris palustris*, *Ph. australis* — *C. pseudocyperus*, *Typha angustifolia* — *C. acutiformis*,

* На этих территориях не ведутся значительные мелиоративные работы, но сенокошение, выпас скота и заготовка *Phragmites australis* на технические цели производятся. Прирусовые участки подвержены рекреации.

T. angustifolia — *C. acuta*, *T. angustifolia* — *C. pseudocyperus*, *Carex acutiformis* (монодом.), *Carex pseudocyperus* (монодом.), *C. pseudocyperus* — *C. acutiformis*, *C. pseudocyperus* — *Th. palustris*, *Carex acuta* (монодом.). В восточной и западной частях подрайона, кроме травяно-болотной, характерна луговая растительность, которую образуют *Agrostis stolonifera* (монодом.), *A. stolonifera* — *Potentilla anserina*, *Glyceria maxima* (монодом.), *G. maxima* — *Agrostis stolonifera*, *G. maxima*+*Acorus calamus*, *Bolboschoenus maritimus* (монодом.), *B. maritimus*+*Aeluropus littoralis*, *B. maritimus*+*Tripolium vulgare*, *B. maritimus* — *A. stolonifera*, *B. maritimus*+*A. gigantea*. Небольшие площади занимают солонцовая и солончаковая растительность, представленная ассоциациями *Salicornia europaea* (монодом.), *S. europaea*+*Suaeda prostrata*, *S. europaea*+*Halimione pedunculata*, *S. europaea*+*Tripolium vulgare*, *S. europaea* — *Spergularia maritima*, *Artemisia santonica* (монодом.), *A. santonica*+*S. prostrata*, *A. santonica* — *Cynanchum acutum*, *A. santonica*+*Carex extensa*, *Halimione pedunculata* (монодом.), *H. pedunculata*+*Puccinellia distans* и др. В южной части преобладают сообщества пресноводной растительности, которую образуют ассоциации *Potamogeton perfoliatus* (монодом.), *P. perfoliatus*+*Vallisneria spiralis*, *P. perfoliatus*+*P. compressus*, *Nymphaea alba* (монодом.), *Nuphar lutea* (монодом.), *Trapa natans* (монодом.), *T. natans*+*Nymphaeoides peltata*, *T. natans*+*Spirodela polyrhiza*, *N. peltata* — *P. berchtoldii*, *Potamogeton nodosus* (монодом.), *P. nodosus* — *P. perfoliatus* и многие другие, занимающие мелководья акватории северной части Днестровского лимана, внутриводных озер, ериков, саг и крупных водотоков. На прибрежных полосах более характерны сообщества *Butomus umbellatus* (монодом.), *B. umbellatus* — *Sagittaria sagittifolia*, *B. umbellatus* — *Eleocharis palustris*, *B. umbellatus* — *Rorippa amphibia*, *Sparganium erectum* (монодом.), *S. erectum*+*B. umbellatus*, *S. erectum* — *Nuphar lutea*, *S. erectum* — *Trapa natans*, *S. erectum* — *Nymphaeoides peltata*, *Acorus*

calamus (монодом.), *A. calamus* — *E. palustris*, *Zizania latifolia* (монодом.), *Z. latifolia* — *S. erectum*, *Z. latifolia*+*Typha angustifolia*, *Z. latifolia*+*Phragmites australis*. Участки с временным обводнением занимают уже названные прибрежно-водные сообщества *Phragmites australis*, *Typha angustifolia*, *Scirpus lacustris* L. Территория подрайона отличается большими площадями редких, исчезающих и реликтовых водных видов — *Nymphaea alba*, *Nuphar lutea* (L.) Smith., *Nymphaeoides peltata* (S. G. Gmel.) O. Kuntze, *Najas marina*, *N. major* L., *Caulinia minor* (All.) Coss. et Germ., *Trapa natans* L. s. l., *Wolffia arrhiza* (L.) Horkel ex Wimm. и др. Непрямая охрана плавневых комплексов ведется на территории Беляевского охотхозяйства (УССР, пл. 26 000 га) [8].

Днестровский приустьевой геоботанический подрайон занимает территорию приустьевого участка Днестра. Его северная часть мелиорирована и освоена под сельскохозяйственные культуры. Природная растительность сохранилась только на прирусловых грядах. Отдельные ее фрагменты со средоточены в локальных понижениях. Руслы мелиоративных каналов занимает водная и прибрежно-водная растительность. Растительный покров прирусловых гряд, а также участков плавней, примыкающих к населенным пунктам, подвержен пастищной дигрессии. Отдельные участки распаханы. Растительный покров остальной территории сравнительно мало нарушен и отличается преобладанием растительности травяно-болотной, кустарниковой болотной (*Salix cinerea* — *Carex acutiformis*, *S. cinerea* — *Thelypteris palustris*, *S. cinerea* — *Phragmites australis*, *S. cinerea* — *Typha latifolia*) и поемно-лесной (*Salix alba* (монодом.), *S. alba* — *Rubus caesius*, *S. alba* — *Phragmites australis*, *S. alba* — *Carex acutiformis*, *S. alba* — *S. triandra*, *Populus nigra* (монодом.), *P. nigra* — *Agrostis stolonifera*, *Alnus glutinosa* — *C. acutiformis*, *A. glutinosa* — *Urtica dioica*, *A. glutinosa* — *Thelypteris palustris*, *Populus alba* (монодом.), *P. alba* — *S. alba*, *P. alba* — *R. caesius*). Значительно меньше распространена водная, луговая и галофильная растительность. В соста-

ве травяно-болотной большее участие, чем в других подрайонах, принимают ассоциации *Phragmites australis* — *Thelypteris palustris*, *Typha angustifolia* — *Th. palustris* и *Carex acutiformis*+*Th. palustris*, редкие в регионе. В составе поемно-лесной растительности наибольшие площади занимают *Salix alba* (монодом.), *Populus nigra* (монодом.), *P. alba* (монодом.), а также *Quercus robur* (монодом.). В составе сообществ, образованных *Quercus robur*, принимают участие типичные травянистые лесные виды, не характерные для поемно-лесной растительности плавней Днестра в целом. Это *Ficaria verna* Huds., *Convallaria majalis* L., *Polygonatum odoratum* (Mill.) Druse и многие другие.

Водную растительность образуют уже названные сообщества с доминированием *Ceratophyllum demersum*, *C. platycanthum*, *Potamogeton berchtoldii* Fieb., *P. lucens* L., *Nymphaea alba*, реже, чем в других подрайонах, встречаются фитоценозы с доминированием *P. perfoliatus*, *P. lucens*, *Trapa natans*. Для замкнутых водоемов подрайона довольно характерны сообщества, образованные свободноплавающими видами — *Salvinia natans* (L.) All. (*Salvinia natans* (монодом.), *S. natans*+*Spirodela polyrhiza*, *S. natans* — *Ceratophyllum demersum*, *S. natans*+*Lemna gibba*), *Stratiotes aloides* (*Stratiotes aloides* (монодом.), *S. aloides*+*Hydrocharis morsus-ranae*, *S. aloides* — *Utricularia vulgaris*, *S. aloides* — *Ceratophyllum demersum*, *Spirodela polyrhiza* (L.) Schleid. (*Spirodela polyrhiza* (монодом.), *S. polyrhiza*+*Lemna minor*), *Utricularia vulgaris* L. (*Utricularia vulgaris* (монодом.), *U. vulgaris*+*Lemna trisulca*, *U. vulgaris* — *Salvinia natans*).

Территория подрайона отличается значительным числом видов типичных болотных и лугово-болотных (*Stachys palustris* L., *Thelypteris palustris* Schott, *Naumburgia thyrsiflora* (L.) Reichenb., *Symplyrum officinale* L., *Carex vesicaria* L., *Nasturtium officinale* R. Br. и многих других), а также водных (*Potamogeton acutifolius* Link., *P. compressus*, *P. obtusifolius*, *Hottonia palustris* L., *Ceratophyllum submersum* L., *Stratiotes aloides* и др.), граница сплошного распространения которых

пролегает в более северных регионах. Непрямая охрана плавневых комплексов ведется на территории Приднестровского охотхозяйства (УССР, пл. 22 000 га) [8].

Кучурганский лиманно-устьевый геоботанический подрайон занимает территорию устьевого участка р. Кучурган и Кучурганского лимана. Его северной границей является затопленный в настоящее время приустьевый участок устьевой области р. Кучурган, восточной и западной — пойма и берега Кучурганского лимана, с юга подрайон примыкает к Днестровскому приустьевому району. Растительный покров в северной части подвержен пастищной дигрессии. Территория подрайона отличается преобладанием прибрежно-водной растительности, сформировавшейся на обширных мелководьях [18], образовавшихся вследствие искусственного поддержания уровня воды в Кучурганском лимане [4, 5, 17]. В ее составе преобладают сообщества с доминированием *Typha angustifolia* (*Typha angustifolia* (монодом.), *T. angustifolia*+*Scirpus lacustris*), *Phragmites australis* (*Ph. australis* (монодом.), *Ph. australis*+*Typha angustifolia*, *Ph. australis*+*Scirpus lacustris*), *Scirpus lacustris* (*Scirpus lacustris* (монодом.), *S. lacustris* — *Bolboschoenus maritimus*). Водная растительность по занимаемой площади находится на втором месте. Ее образуют уже названные сообщества с доминированием видов широкой экологии — *Potamogeton peclinatus*, *Myriophyllum spicatum*, *P. berchtoldii* и др. Значительные площади в составе характеризуемой растительности занимают сообщества, образованные *Vallisneria spiralis* (*Vallisneria spiralis* (монодом.), *V. spiralis*+*Potamogeton crispus*, *V. spiralis*+*P. perfoliatus*, *V. spiralis*+*Myriophyllum spicatum*). Меньшие площади занимает луговая, солонцевая и солончаковая растительность. Лесная, кустарниковая и травяно-болотная не представлены. Для территории Кучурганского лиманно-устьевого геоботанического подрайона характерно преобладание водных видов широкой экологии. Непрямая охрана плавневых комплексов ведется на территории природоохранных объектов «Природ-

ный ландшафт Кучурганский» (пл. 1500 га) и «Природный ландшафт Дикуль» (пл. 93 га, МССР).

Особенности растительности устьевой области Днестра необходимо учитывать при разработке сети охраняемых объектов региона. В результате человеческой деятельности на территории плавни Днестра и происходящих вследствие этого изменений экосистем плавней в настоящее время становится актуальной задача проведения хозяйственно-геоботанического районирования с выделением районов по степени однородности направлений использования растительного покрова и его возможной реконструкции в природоохранных и хозяйственных целях.

ЛИТЕРАТУРА

- Білик Г. І. //Геоботанічне районування Української РСР. Київ, 1977. С. 195—262.
- Борш З. Т. // Съезд гидробиологов Молдавии, апрель 1986 г.: Тез. докл. Кишинев, 1986. С. 7—8.
- Борш З. Т. //Биопродукционные процессы в водохранилищах — охладителях ТЭС. Кишинев, 1988. С. 39—49.
- Гайдман Т. С. //Ізв. АН МССР. 1984. № 3. С. 12—19.
- Гайдман Т. С. Определитель высших растений Молдавской ССР. Кишинев, 1986.
- Голубец М. А. //Материалы международной конференции по геоботаническому районированию СССР, декабрь 1984 г. М., 1987. С. 149—155.
- Гурская С. А. //Материалы по гидробиологии и рыболовству лиманов северо-западного Причерноморья. Вып. 2. Одесса, 1954. С. 29—34.
- Носелев Л. Г., Козлова М. В., Маркузе В. К. и др. Охрана природы Причерноморья. М., 1973.
- Климентов Л. В. //Ізв. Всесоюзного географического общества. 1960. Т. 92. Вып. 3. С. 235—250.

- Лавренко Е. М. //Геоботаническое районирование. М.; Л., 1947а. С. 9—13.
- Лавренко Е. М. //Там же. 1947б. С. 95—107.
- Лавренко Е. М. //Растительность Европейской части СССР. Л., 1980. С. 203—272.
- Нищенко А. А. //Материалы международной конференции по геоботаническому районированию СССР. М., 1967. С. 5—40.
- Самойлов И. В. Устия рек. М., 1952.
- Смирнова-Гараева Н. В. Водная растительность Днестра и ее хозяйственное значение. Кишинев, 1980.
- Ткаченко В. С. //Укр. ботан. журн. 1984, Т. 41, № 2, С. 16—21.
- Шаларь В. М., Капрал И. И. //Проблемы комплексного использования водоемов — охладителей тепловых электростанций. Кишинев, 1970.
- Шиманский Б. А. //Тр. ВГБО. 1963. Т. 14. С. 214—242.

Резумат

Се пропусне характеристика вејетације акватиче, литорал-акватиче, палустре, де луника, силниче, халофите ши жамофите а режиуний де делта о Нијстралуй ши партикуларитетације је де репартизаре територија. Симт евидентиције 4 субрајоне жејеботаниче, се презентује карактеристика лор детаљате ши репрезентативитате унитацијилор територија де рајонаре ши системул објектелор окротите а режионулуј. Се инрежистрија скимберије територијаје але инвенишујуј вејетај, клузате де инфлуенца факторилор антропојажене.

Summary

Characteristics of aquatic, coastal-aquatic, swampy, meadow, silvan vegetation, halophytes and psammophytes of the estuarine area of the Dnester river as well as peculiarities of its spacious distribution are described. The area has been divided into four geobotanical subregions and these subregions are characterized in detail. The vegetation is represented in the set of protected territories. Changes in the vegetation determined by the effect of anthropogenic factors are noted.

Институт ботаники
им. Н. Г. Холодного АН УССР

Поступила 03.02.89

ФИЗИОЛОГИЯ И БИОХИМИЯ РАСТЕНИЙ

К. В. МОРАРУ, З. Г. ТОМА, Т. Г. СТЕПУРИНА

СВОБОДНЫЕ АМИНОКИСЛОТЫ И КАЧЕСТВО ЗЕРНА МЯГКОЙ ОЗИМОЙ ПШЕНИЦЫ

Качество зерна пшеницы является хозяйственным важным, а по природе — очень сложным признаком, зависящим от содержания белка и клейковины, ее растяжимости и упругости, а также от соотношения белковых фракций и всевозможных связей с веществами иной природы, в том числе липидами и углеводами.

Ранее нами установлено, что качество клейковины зависит от белков трудноизвлекаемой прочиносвязанной щелочерастворимой фракции (глютенинов III) [2; 4]. Они более восприимчивы к гидролизу пищеварительными ферментами вредной черепашки, которая, повреждая зерно, значительно ухудшает его качество [1, 2, 4]. Степень и глубина распада этого белкового конгломерата клейковины в деталях неизвестна, однако обнаружено существенное увеличение в пораженном зерне содержания легкоизвлекаемых (альбуминов, глобулинов) и мочевинорастворимых (глютенинов I) белков [2].

Задача настоящих исследований — изучение количества и состава свободных аминокислот зерна у различных по качеству сортов пшеницы и в зерне, пораженном клопом-черепашкой, показало, что ферменты слюны насекомого гидролизуют белки вплоть до высвобождения аминокислот. Это следует из выявленных достоверных различий по сумме свободных аминокислот в здоровом и поврежденном зерне одного и того же сорта. В пораженном зерне содержание свободных аминокислот значительно выше (табл. 1, 2). При этом у пшениц со слабой клейковиной эта сумма в пораженном зерне намного больше, чем в таком же зерне сильных пшениц. Так, содержание аминокислот у слабых сортов составляет 688,5 мг/100 г для Воехода и 690,6 мг/100 г для Siwon;

лот проводили по Рядчикову [3]. Аминокислоты извлекали 60% этанолом и водой, очищали от белков путем их осаждения из экстрактов 2—3 объемами хлороформа. Очищенные экстракти упаривали, осадки свободных аминокислот переводили в лигниновый буфер pH 2,2. Разделение и определение содержания аминокислот и сопутствующих им аминосодержащих низкомолекулярных соединений проводили на аминоанализаторе АЛА-339.

Результаты и их обсуждение

Повышенное количество свободных аминокислот в зрелом здоровом зерне может свидетельствовать об интенсивном их синтезе, значительно опережающем накопление белков, или подавленном их биосинтезе при умеренном синтезе аминокислот, а также как результат ферментативного гидролиза полипептидов в поврежденном зерне.

Изучение состава и количества свободных аминокислот зерна у различных по качеству сортов пшеницы и в зерне, пораженном клопом-черепашкой, показало, что ферменты слюны насекомого гидролизуют белки вплоть до высвобождения аминокислот. Это следует из выявленных достоверных различий по сумме свободных аминокислот в здоровом и поврежденном зерне одного и того же сорта. В пораженном зерне содержание свободных аминокислот значительно выше (табл. 1, 2). При этом у пшениц со слабой клейковиной эта сумма в пораженном зерне намного больше, чем в таком же зерне сильных пшениц. Так, содержание аминокислот у слабых сортов составляет 688,5 мг/100 г для Воехода и 690,6 мг/100 г для Siwon;

Извлечение свободных аминокис-

Таблица 1. Состав свободных аминокислот в здоровом зерне различных по качеству сортов пшеницы, мг/100 г муки

Аминокислоты	Одес-ская 51	Сен-тург	Луч	Безос-тая 1	Вос-ход	Si-won
Цис	3,71	7,24	3,12	3,25	4,04	5,54
Асп	6,90	0,38	3,12	2,20	5,42	3,43
Тре	1,66	1,05	1,28	0,76	1,93	1,39
Сер	3,29	2,30	1,59	2,71	2,82	6,43
Асн	19,77	2,91	21,82	40,34	28,63	44,00
Глю	7,64	2,19	6,98	11,40	12,29	20,53
Гли	6,93	4,21	4,20	4,71	11,50	23,45
Про	2,05	4,87	3,15	1,65	3,08	8,32
Гли	2,23	1,17	3,01	2,27	3,93	5,36
Ала	6,96	4,34	6,23	4,61	8,81	9,71
Вал	3,89	3,09	4,34	3,50	5,84	7,68
Цис	0,72	0,23	1,35	0,70	0,97	1,08
Мет	0,82	0,96	1,09	0,70	1,27	2,30
Илей	1,72	1,08	1,82	1,40	3,03	3,14
Лей	4,33	7,87	4,05	4,07	5,90	8,66
Тир	1,28	2,27	2,17	1,69	2,53	3,50
Фен	3,71	5,87	3,21	2,86	4,92	6,15
γ-ам	3,79	4,84	3,34	4,11	3,90	4,03
Ори	0,49	1,59	0,47	0,41	0,56	0,54
Этам	1,07	0,81	1,12	0,97	1,47	1,64
Амм	8,72	2,88	4,99	2,57	5,25	2,72
Лиз	3,72	2,88	4,25	3,14	5,17	6,20
Гис	0,71	0,58	0,79	0,59	1,07	2,44
Три	1,89	2,77	2,85	0,30	1,77	4,68
Арг	10,91	2,43	16,36	10,44	15,63	17,72
Сумма	108,82	70,80	104,95	114,28	141,81	200,65

у сильных сортов, за исключением сорта Centurc, оно значительно ниже (табл. 2). Результаты дают основание полагать, что белки зерна низкокачественных пшениц сильнее подвержены дезагрегирующему и гидролитическому действию ферментов слюны вредной черепашки. Значительно меньше гидролизуются белки поврежденного зерна мутантной формы Луч. Полученные данные позволяют заключить, что степень деградации и гидролиза запасных белков, в том числе и клейковинных, до уровня свободных аминокислот под действием гидролитических ферментов насекомого-вредителя является генетически детерминированным признаком. Полагаем, что по этому признаку зерно мутантной формы Луч проявляет определенную стабильность качества зерна.

С другой стороны, выявлены существенные различия по суммарному количеству свободных аминокислот в здоровом зерне различных по качеству сортов пшеницы. Их содержание у сильных сортов пшеницы значительно ниже по сравнению со слабы-

Таблица 2. Состав свободных аминокислот в поврежденном клопом-черепашкой зерне различных по качеству сортов пшеницы, мг/100 г муки

Аминокислоты	Одес-ская 51	Сен-тург	Луч	Безос-тая 1	Вос-ход	Si-won
Цис	10,64	22,79	—	14,61	22,43	23,11
Асп	6,04	4,74	6,07	3,51	4,89	11,31
Тре	5,40	4,67	4,36	2,84	3,06	2,47
Сер	9,15	15,53	6,21	15,53	33,48	36,69
Асн	34,54	71,46	31,81	52,65	56,41	57,17
Глю	18,61	38,21	11,08	17,11	33,46	36,50
Гли	60,14	67,99	31,54	119,31	178,96	177,96
Про	31,24	67,55	21,83	30,80	79,11	76,31
Ала	7,89	6,38	4,83	7,66	10,31	11,14
Вал	15,17	18,93	9,72	9,77	15,50	16,37
Цис	16,85	17,92	9,18	13,75	24,53	26,23
Мет	2,69	3,92	1,40	2,44	4,81	4,90
Илей	6,42	6,30	3,88	4,77	8,94	7,80
Лей	19,08	32,42	10,43	18,64	33,44	36,12
Тир	8,88	15,30	5,79	10,02	17,24	15,12
Фен	21,33	35,53	11,63	19,34	39,24	44,99
γ-ам	7,98	13,87	4,07	10,95	14,51	6,40
Ори	0,70	5,89	0,59	1,15	1,28	1,06
Этам	1,76	2,84	1,38	1,46	2,01	1,31
Амм	6,70	8,02	5,98	5,29	5,74	6,16
Лиз	8,67	8,67	6,16	6,65	12,97	10,71
Гис	2,54	3,92	0,95	2,94	6,23	5,90
Три	4,44	7,09	3,70	7,66	26,95	25,24
Арг	18,98	9,47	25,94	30,52	51,83	48,29
Сумма	326,96	489,80	220,98	410,08	688,45	690,56

ми, что дает основание судить о высокой интенсивности синтеза запасных белков в зерне высококачественных пшениц и замедленном — у низкокачественных.

В зерне сильной пшеницы сорта Centurc, вероятно, наиболее интенсивно осуществляется синтез белков, так как суммарное количество свободных аминокислот составляет только 70,8 мг/100 г муки и в большей степени отличается их состав (табл. 1).

Существенные сортовые различия в здоровом зерне проявляются и по содержанию отдельных аминокислот. У всех изученных пшениц, кроме Сен-тург, прослеживается высокое содержание аспарагина и аргинина, роль которых в свободном виде не выяснена. У низкокачественных сортов в большом избытке остаются и глутаминовая кислота, глутамин, аланин, валин, лизин. Повышенное содержание глутаминовой кислоты и глутамина в зерне Восход и Siwon по сравнению с Одесской 51, Луч и Centurc, возможно, свидетельствует о том, что

синтез глиадиноподобных глютенинов на последних этапах созревания зерна подавлен, что подтверждает сортоспецифичность качества клейковины.

У сорта Centurc по сравнению с Одесской 51 содержание аспарагиновой кислоты, аспарагина, глутаминовой кислоты и аргинина намного ниже, но повышенено количество пролина, лейцина, фенилаланина, триптофана. Следует отметить, что зерно Centurc представляет интерес с точки зрения выяснения природы высокого качества клейковины и особенностей биосинтеза белковых веществ. Однако при воздействии протеолитических ферментов вредной черепашки белковый комплекс этого зерна деградирует и гидролизуется значительно интенсивнее. В пораженном зерне, по сравнению со здоровым, увеличивается количество каждой (свободной) аминокислоты (табл. 2). На фоне повышенного содержания большинства аминокислот наиболее существенно увеличение количества глутаминовой кислоты, ее амида и аспарагина. Почти в той же степени увеличивается и содержание свободного пролина, что свидетельствует о гидролизе глютенинов, обогащенных этими аминокислотами, и глиадинов. Кроме того, среди свободных аминокислот в отличие от белковых гидролизатов обнаружена редко встречающаяся в растительной ткани цистеиновая кислота, которая может образовываться в результате окисления цистеина (по сере). Ее содержание в несколько раз увеличивается в пораженном зерне, однако природа этого явления неясна.

Прослежены существенные сортовые различия по содержанию почти всех свободных аминокислот между высококачественными сортами Одесская 51, Луч, Безостая 1 и Centurc и низкокачественными Восход и Siwon по аспарагиновой кислоте, серину, глутаминовой кислоте, лейцину, фенилаланину, γ-аминомасляной кислоте, лизину, аргинину, а также между высоко- и низкокачественными сортами (табл. 2). Следует отметить, что различия между разнокачественными сортами более выражены, что подтверждается различиями по сумме свободных аминокислот и аминосодержащих соединений. Это объясняет-

ся их сортоспецифичностью по интенсивности гидролиза белковых веществ при повреждении зерна вредителем.

Выводы

1. Различия по количественному составу свободных аминокислот особенно выражены между разнокачественными сортами. В зерне сильных сортов их количество меньше, чем у слабых пшениц.

2. При поражении высококачественного зерна пшеницы вредной черепашкой в белковом комплексе клейковины происходят глубокие изменения на всех уровнях от дезагрегации белок-липидного комплекса до гидролиза полипептидных цепей белковых молекул глютенинов, глиадинов и других белков на свободные аминокислоты.

3. Степень гидролиза белков до уровня свободных аминокислот имеет сортоспецифический характер. В пораженном зерне слабых пшениц сумма свободных аминокислот существенно выше, чем в пораженном зерне высококачественных пшениц.

ЛИТЕРАТУРА

- Кретович В. Л. Биохимия зерна. М., 1981. С. 150.
- Морару К. В., Тома З. Г., Степуриня Т. Г. // Изв. АН МССР. Сер. биол. и хим. наук. 1989. № 3. С. 18–22.
- Рядчиков В. Г. Улучшение зерновых белков и их оценка. М., 1978. С. 82–85.
- Тома З. Г. // Физиолог.-биохим. аспекты продуктивности растений и качества урожая. Кишинев, 1981. С. 48.

Резумат

Са черчетат компоненца аминоацилизилер либъи баабеле де грыу сэнтоаес ши атакате де плошица чеаелор ла союриле де калитате супериорэр ши калитате инферноэр. Ши баабеле сэнтоаес а союрилор де калитате супериорэр конциутул аминоацилизилер либъ есте маи редус фацэ де союриле де калитате инферноэр. Нивелул гидролизэр протеинелор баабелор де грыу ла инфлуенца ферментелор плошицей чеаелор депиндеши де парткуларитэце женотипулуй.

Summary

The composition of free amino acids in healthy and damaged by the corn bug grain of high and low quality varieties of soft winter wheat has been studied. It has been shown that changes in the amino acid content during protein biosynthesis as well as protein hydrolysis under the influence of proteolytic enzymes of corn bug depend on the wheat genotype.

Институт физиологии и биохимии растений АН МССР

Поступила 10.03.89

Л. Б. КОРЛЭТЯНУ, А. Г. ЖАКОТЭ

ВЛИЯНИЕ ВНЕКОРНЕВОГО ВНЕСЕНИЯ КОМПЛЕКСА МИКРОЭЛЕМЕНТОВ В ПРОЦЕССЕ ЗАКАЛИВАНИЯ НА ФОТОСИНТЕЗ ПРИВИВОК ВИНОГРАДА

Процесс закаливания прививок винограда проводится для повышения их адаптивного потенциала в неблагоприятных условиях среды. В период закалки очень важно обеспечить активное протекание процесса фотосинтеза как источника ассимилятов для регенерационных процессов и частичного восполнения пластических веществ. Большое влияние на активность процессов фотосинтеза, дыхания, формирования новых тканей оказывают микроэлементы, запас которых в привое ограничен. Известны работы Колесника [2—4], который пришел к выводу, что внесение молибдена, марганца, бора и цинка в субстрат в период стратификации и закалки влияет положительно на срастание прививочных компонентов, каллусообразование, активизирует физиологические процессы в прививках, повышает их выход и качество. Однако позже было показано, что поступление микроэлементов из почвы или опилок в подвой и особенно привой до срастания незначительно; ввиду чего корневое внесение их малоэффективно [5].

Целью наших исследований было изучить влияние внекорневого питания микроэлементами (Zn , Mn , B , Mo , Cu) в период закаливания прививок винограда на некоторые параметры фотосинтеза прививок.

Материал и методы

Исследования проводили на питомниководческом комбинате ОПХ НПО «Внерул» в камерах с регулируемыми условиями среды. В качестве объекта исследования использовали прививки винограда сорта Молдова, привитые на подвой Рипария \times Рупестрис 101-14. Освещение прививок — порядка 10 тыс. лк, субстрат — вода, температура воздуха — на уровне 7—12°C, срок закаливания — 30 дней. Обработку микроэлементами проводили двукратно в концентрациях 0,01; 0,02;

0,03%. Контролем служили прививки, не получавшие питания. После посадки в школку определяли интенсивность фотосинтеза прививок газометрическим методом [6], содержание в листьях хлорофиллов и каротиноидов [8]. Изучали оптические свойства листьев прививок винограда [1] в области 400—750 нм.

Результаты и их обсуждение

При изучении фотосинтеза выяснилось (табл. 1), что наибольшее поглощение углекислоты единицей площади листа прививок было у растений, получивших подкормки микроэлементами в концентрациях 0,01 и 0,02%. Несколько пониженная интенсивность фотосинтеза отмечена у прививок контрольного варианта. В повторном опыте выявлено, что по интенсивности фотосинтеза также выделялись растения, получившие подкормки микроэлементами в концентрациях 0,01 и 0,02%. Это указывает на возможность регулирования активности фотосинтетического аппарата прививок с помощью внекорневого питания микроэлементами.

Данная возможность вытекает из роли, которую играет часть изученных нами микроэлементов в синтезе и функционировании ряда ферментов фотосинтеза, отдельных компонентов электротранспортной цепи хлоропластов и реакций фотосинтеза. Так, в частности, выявлена роль Zn в активации карбоангидразы [10], рибулозобисфосфаткарбоксилазы (РБФК/О) [11], Cu — в функционировании пластицина — белка хлоропластов и активации при небольших концентрациях — РБФК/О [11], Mn — в реакциях выделения O_2 при фотосинтезе [9]. Бор через фенольный метаболизм и Mo через азотный метаболизм существенно влияют на ростовые процессы и опосредованно — также на активность фотосинтетического аппарата [1].

Таблица 1. Влияние внекорневого питания микроэлементами в период закаливания на интенсивность фотосинтеза привитых растений винограда, мг $CO_2/dm^2/\text{ч}$

Концентрация микроэлементов, %	1981 г.				1982 г.			
	VII	VIII	IX	среднее за вегета- цию	VII	VIII	IX	среднее за вегета- цию
0,01	32,31	3,36	9,42	15,03	11,87	1,82	20,02	11,27
0,02	16,19	2,26	26,23	14,89	6,50	8,24	8,92	7,89
0,03	10,70	8,94	12,03	10,56	6,56	8,15	7,34	7,35
Контроль (без питания)	10,54	—6,54	8,17	4,06	2,56	2,96	4,59	3,37

Содержание зеленых и желтых пигментов в листьях прививок в течение вегетации претерпевает не столь сильные изменения, как у многолетних плодоносящих растений винограда, что связано главным образом с различными внешними факторами. По результатам (табл. 2, 3) видно, что прививки всех вариантов мало отличались по содержанию хлорофиллов и каротиноидов. Заметные различия между растениями рассматриваемых вариантов стали проявляться в августе, когда в листьях прививок, получивших подкормки микроэлементами в концентрациях 0,01 и 0,02%, было найдено большое содержание зеленых пигментов. Эта особенность сохранилась до конца вегетации. Анализируя содержание пигментов в динамике, можно отметить, что содержание хлорофилла постепенно увеличивается до сентября, а затем наблюдается спад, что, вероятно, связано с процессами старения листьев. По содержанию каротиноидов существенных различий между растениями рассматриваемых вариантов не обнаружено. Таким образом, наиболее благоприятные условия для накопления хлорофиллов создавались при применении внекорневых подкормок микроэлементами в концентрациях 0,01 и 0,02%.

Определение оптических параметров листьев привитых растений винограда в области фотосинтетически активной радиации показало, что коэффициенты пропускания, отражения и поглощения наиболее значительно изменились в зеленой части спектра. В синей и красной областях изменения оптических свойств были небольшими. При анализе полученных результатов выявлено, что способность листьев поглощать лучистую энергию на протяжении вегетации возрастает, несколько

снижаясь к осени. Коэффициенты поглощения лучистой энергии в зеленой области спектра различаются незначительно у растений разных вариантов (табл. 4). Увеличение коэффициентов поглощения в зеленой и красной областях спектра происходит интенсивнее в начале и середине вегетации, а в последующий период, ближе к осени, они изменяются мало.

Сравнительное изучение поглощения лучистой энергии листьями привитых растений, получивших при закалке различные дозы микроэлементов, свидетельствует о том, что в синей и красной областях спектра не наблюдается различий между указанными вариантами. Наибольшими коэффициентами в зеленой области спектра обладали растения, получившие внекорневую подкормку в концентрациях 0,02 и 0,03%.

Таким образом, проведенные исследования показали, что внекорневая обработка прививок в период закаливания комплексом микроэлементов (Zn , Mn , B , Mo , Cu) оказывает существенное влияние на фотосинтез саженцев винограда в школке. Выявлено, что двукратная обработка прививок винограда микроэлементами в концентрациях 0,01 и 0,02% в сочетании с освещенностью порядка 10 тыс. лк и температурой 10—12°C повышает активность фотосинтетического аппарата, ускоряет срастание привоя с подвоям и повышает выход стандартных саженцев из школки на 10—15%.

ЛИТЕРАТУРА

- Брандт А. Б., Тагеева С. В. Оптические параметры растительных организмов. М., 1967.
- Колесник Л. В. //Садоводство, виноградарство и виноделие Молдавии. 1954, № 6.

Таблица 2. Содержание пигментов в листьях привитых растений винограда при различном вскорневом питании, мг/дм², 1981 г.

Концентрация микроэлементов, %	9.VII				26.VII				22.IX			
	a	b	a+b	κ	a	b	a+b	κ	a	b	a+b	κ
0,01	1,45	0,70	2,15±0,02	0,67±0,03	2,05	1,12	3,17±0,07	1,08±0,01	1,59	0,89	2,48±0,02	1,02±0,01
0,02	1,46	0,73	2,19±0,03	0,70±0,05	2,03	1,26	3,29±0,05	1,01±0,01	1,55	0,85	2,40±0,02	0,85±0,04
0,03	1,35	0,67	2,02±0,03	0,61±0,03	1,82	1,12	2,94±0,03	0,94±0,04	1,49	0,90	2,39±0,07	0,89±0,03
Контроль (без питания)	1,29	0,63	1,92±0,02	0,63±0,02	1,66	1,08	2,74±0,03	0,84±0,06	1,30	0,79	2,09±0,04	0,78±0,02

Таблица 3. Содержание пигментов в листьях привитых растений винограда при различном вскорневом питании, мг/дм², 1982 г.

Концентрация микроэлементов, %	24.VI				20.VII				30.VIII				30.IX			
	a	b	a+b	κ	a	b	a+b	κ	a	b	a+b	κ	a	b	a+b	κ
0,01	1,35	0,38	1,73± ±0,03	0,69± ±0,01	1,19	0,28	1,47± ±0,03	0,62± ±0,1	1,94	0,46	2,40± ±0,07	0,94± ±0,01	1,65	0,30	1,95± ±0,04	0,74± ±0,01
0,02	1,42	0,34	1,74± ±0,02	0,72± ±0,01	1,13	0,27	1,40± ±0,03	0,66± ±0,1	1,81	0,46	2,27± ±0,05	0,92± ±0,06	1,60	0,32	1,92± ±0,05	0,87± ±0,01
0,03	1,40	0,32	1,72± ±0,02	0,72± ±0,01	1,10	0,29	1,39± ±0,05	0,63± ±0,1	1,89	0,37	2,06± ±0,03	0,80± ±0,02	1,62	0,29	1,91± ±0,05	0,79± ±0,03
Контроль (без питания)	1,37	0,31	1,68± ±0,01	0,72± ±0,03	1,09	0,26	1,35± ±0,03	0,59± ±0,02	1,58	0,35	1,93± ±0,04	0,75± ±0,02	1,49	0,31	1,80± ±0,02	0,71± ±0,01

Таблица 4. Спектральные коэффициенты (%) поглощения лучистой энергии (nm) листьями привитых растений винограда, 1982 г.

Концентрация микроэлементов, %	1.VII				4.VIII				7.IX			
	440	540—560	660—680	440	540—560	660—680	440	540—560	660—680	440	540—560	660—680
0,01	91,5±3,2	63,5±1,8	88,9±3,4	94,1±1,9	75,6±2,9	90,9±5,0	92,5±3,3	71,6±2,0	89,1±3,3	92,0±4,9	76,9±3,2	90,4±2,4
0,02	98,4±2,8	66,4±1,6	88,8±2,5	94,2±2,1	78,5±2,6	92,0±4,9	92,0±4,7	79,4±2,1	79,9±3,6	89,8±2,0	88,6±2,8	89,4±2,3
0,03	92,0±2,0	68,1±1,6	89,0±2,4	94,0±2,1	76,3±2,6	91,5±4,8	92,4±2,1	73,9±2,0	91,5±2,0	91,0±3,2	69,4±2,3	88,6±2,8
Контроль (без питания)	92,1±3,1	65,0±2,1	88,8±2,8	93,0±2,2	71,4±3,0	—	—	—	—	—	—	—

Сведения по изучению влияния сроков съема на лежкоспособность плодов груши в литературе немногочисленны. В связи с этим нами были изучены изменения биохимического состава плодов груши разных сроков

- Колесник Л. В. // Там же. 1955. № 3.
- Колесник Л. В. Виноградарство. Кишинев, 1968.
- Семин В. С., Филип А. П. // Бюллетень научно-технической информации МНИИСвиВ, № 1 (10). Кишинев, 1961.
- Починок Х. Н. Методы биохимического анализа растений. Киев, 1976.
- Школьник М. Я. Микроэлементы в жизни растений. Л., 1974.
- Шлык А. А. // Биохимические методы в физиологии растений. М., 1971. С. 154—169.

- Dismukes G. S. // Photochem. and Photobiol. 1986. N 1. P. 99—115.
- Seethambaram Y., Rao A. N., Das V. S. R. // Biochem. und Physiol. Pilanz. 1985. Vol. 180. N 2. P. 107—118.
- Sliborová M., Doubravová M., Leblouová S. // Ibid. 1986. Vol. 181. N 6. P. 373—379.

Институт экологической генетики АН МССР

Поступила 05.10.88

Н. С. БАЖУРЯНУ,
Л. Т. ГАЙКОВСКАЯ, Л. М. ПРОХОРОВА

ЗАВИСИМОСТЬ ХИМИЧЕСКОГО СОСТАВА ПЛОДОВ ГРУШИ ПРИ ДЛИТЕЛЬНОМ ХРАНЕНИИ ОТ СРОКОВ СЪЕМА И УСЛОВИЙ ПРОИЗРАСТАНИЯ

съема и зон выращивания в период их длительного хранения (1981—1984 гг.).

Материал и методы

Объектом исследований служили плоды груши зимних сортов — Кюре, Бере Арданпон и Пасс-Крассан, выращенные в совхозе «Прут» Унгенского района (Кодровая зона) и МППП «Памяти Ильича» Слободзейского района (зона Южного Приднестровья). В МППП «Памяти Ильича» плоды убирали в 1981 г. в 3 срока: I — 18.IX, II — 28.IX и III — 8.X, в пальметтном саду совхоза «Прут»: I — 24.IX, II — 4.X, III — 14.X. В 1982 и 1984 гг. плоды убраны в те же календарные сроки, а в 1983 г. в связи с ранней весной — раньше: в МППП «Памяти Ильича» на 2, а в совхозе «Прут» — на 3 недели. Плоды закладывали на хранение в холодильники Института физиологии и биохимии растений АН МССР, МППП «Памяти Ильича» и совхоза «Прут». Храстили при температуре 0°C и относительной влажности воздуха 85—90%.

При закладке плодов на хранение и при завершении его определяли сухие вещества, сумму сахаров, моносахариды, сахарозу и титруемую кислотность по методикам, описанным Ермаковым и соавт. [4]. После длительного хранения и дозаривания плодов проводили их дегустацию по методам ВАСХНИЛ [7].

Результаты и их обсуждение

Анализ данных табл. 1—3 показал, что у плодов груши, заложенных на длительное хранение, произошли значительные изменения химического состава. На накопление органических веществ в плодах груши на дереве и их изменения в период хранения существенно влияли сроки съема (степень зрелости) и зона выращивания. Так, у плодов, убранных в разные сроки съема, отмечается тенденция к возрастанию процента сухих веществ от первого к третьему сроку съема (табл. 1). Аналогичные данные по плодам яблони приведены [1]. Однако такое явление отмечается не у всех сортов груши: у одних больше сухих веществ при первом сроке, у других — при втором или третьем сроках съема. Данные за 1981—1983 гг. свидетельствуют, что наиболее сильное влияние оказывали условия погоды вегетационного периода, и особенно в последние 2—3 недели перед уборкой урожая.

В плодах груши одного и того же сорта, выращенных в условиях Кодровой зоны и Южного Приднестровья, накопилось разное количество сухих веществ. Например, плоды сорта Кюре из МППП «Памяти Ильича» в зависимости от срока съема содержали от 18,03 до 18,70% сухих веществ, тогда как плоды этого же сорта из совхоза «Прут» — 14,90—15,30%. Такие же данные приведены [10] в отношении сортов груши Бере Арданпон и

Бере Арданпон, в плодах которых в Кодровой зоне сухих веществ, сахаров и пектиновых веществ больше, чем в Северной зоне Молдавии. Кроме указанных факторов на накопление сухих веществ в плодах большое влияние оказывали биологические особенности сорта. Так, из исследуемых сортов наибольшим содержанием сухих веществ, достигающим в отдельные годы 23,30%, характеризуются плоды сорта Пасс-Крассан, тогда как в плодах сортов Кюре и Бере Арданпон их содержалось на 4—5% меньше (табл. 1).

Отмечено также в плодах неодинаковое количество сахара в период вегетации и их расход при длительном хранении. Значительное влияние оказывали сроки съема плодов, зона выращивания и биологические особенности сорта. Во время уборки более четко, чем для сухих веществ, прослеживалась тенденция к увеличению содержания сахарозы и суммы сахаров от первого к третьему сроку съема (табл. 2). За период хранения общее содержание сахаров у плодов груши всех сроков съема и зон выращивания увеличивалось. Повышение общего содержания сахаров в первые 1,5—2 месяца хранения явилось следствием гидролиза крахмала. Во второй половине срока хранения содержание сахаров несколько снижалось, не достигая предела первоначального их количества, а в конце — повышалось, превосходя первоначальное содержание сахаров у плодов всех сроков

Таблица 1. Изменение содержания сухих веществ в плодах груши разных сроков съема в период длительного хранения, % на сырую массу

Сорт, срок съема	Совхоз «Прут» (Кодровая зона)				МППП «Памяти Ильича» (зона Южного Приднестровья)								
	1981 г.		1982 г.		1983 г.		1981 г.		1982 г.		1983 г.		
	начало	конец	начало	конец	начало	конец	начало	конец	начало	конец	начало	конец	
Кюре	I	14,90	15,08	15,92*	—	15,45*	15,17*	18,70*	16,51*	14,82	14,81	18,30*	17,16*
Бере Арданпон	II	15,04*	15,33*	15,95	16,27	15,35	14,89	18,03	18,56	17,23*	15,77*	16,30	15,57
	III	15,30	16,01	15,85	16,64	15,57	15,08	18,41	16,15	19,80	19,15	17,26	—
Пас-Крассан	I	17,00	16,13	17,62	18,21	17,35	15,70	16,30	16,86	17,70	15,18	17,40	15,70
	II	17,80	15,36	17,76*	17,25*	17,75*	16,55*	18,18*	19,28*	16,08	14,15	17,50*	16,00*
	III	18,01*	16,68*	18,35	16,55	17,55	15,96	17,38	15,69	17,13*	14,27*	18,25	16,15
									19,80	17,90	19,42	20,39	19,20
									17,63*	19,93*	19,03	17,35	23,30*
									20,43	18,67	17,55*	19,74*	21,37*
													19,85

* Здесь и в табл. 2—4 оптимальный срок съема.

Таблица 2. Динамика содержания сахаров в плодах груши разных сроков съема и зон выращивания в период длительного хранения, % на сырую массу

Сорт, срок съема	Совхоз «Прут» (Кодровая зона)				МППП «Памяти Ильича» (зона Южного Приднестровья)			
	1982 г.		1983 г.		1982 г.		1983 г.	
	начало	конец	начало	конец	начало	конец	начало	конец
Кюре	I	0,67*	7,17*	0,97*	8,92*	1,06*	7,45*	0,45*
	II	1,88	8,00	0,28	8,16	1,56	7,51	0,16
	III	1,23	8,67	0,72	8,39	1,83	8,28	0,23
Бере Арданпон	I	1,30	7,80	0,21	8,70	1,61	8,06	0,17
	II	0,45*	7,12*	0,81*	8,95*	0,89*	6,62*	1,39*
	III	1,72	9,28	0,70	8,20	3,06	8,73	1,66
Пас-Крассан	I	—	—	—	—	—	—	—
	II	—	—	—	—	—	—	—
	III	—	—	—	—	—	—	—

Таблица 3. Изменение содержания титруемых кислот в плодах груши разных сроков съема и зон выращивания в период длительного хранения, % на сырую массу

Сорт, срок съема	Совхоз «Прут» (Кодровая зона)				МППП «Памяти Ильича» (зона Южного Приднестровья)			
	1981 г.		1982 г.		1981 г.		1982 г.	
	начало	конец	начало	конец	начало	конец	начало	конец
Кюре	I	0,30	0,18	0,72*	0,50*	0,33*	0,23*	0,32*
	II	0,31*	0,21*	0,60	0,47	0,33	0,23	0,29
	III	0,22	0,21	0,56	0,39	0,34	0,22	0,28
Бере Арданпон	I	0,33	0,14	0,47	0,29	0,19	0,16	0,15
	II	0,21	0,14	0,38*	0,30*	0,16*	0,15*	0,19*
	III	0,15*	0,13*	0,24	0,22	0,18	0,10	0,14
Пас-Крассан	I	—	—	—	—	—	—	—
	II	—	—	—	—	—	—	—
	III	—	—	—	—	—	—	—

съема и зон выращивания. Возрастание суммы сахаров в плодах яблони и груши к концу хранения Арасимович и соавт. [2] объясняют гидролизом не только крахмала, но и других полисахаридов.

В период хранения наибольшим качественным изменениям подверглась сахароза. Однако они были неодинаковыми и самые небольшие снижения содержания сахарозы при хранении отмечались у плодов, убранных в оптимальный срок (табл. 2). На расход сахарозы во время длительного хранения существенно влияли условия выращивания (зона произрастания). Несмотря на одинаковые условия хранения, плоды груши, выращенные в совхозе «Пррут», были лучше (табл. 4) по сравнению с плодами из МППП «Памяти Ильича».

В большинстве случаев если содержание сухих веществ и сахаров в плодах груши увеличивалось от первого к третьему сроку съема (табл. 1, 2), то содержание титруемых кислот, наоборот, снижалось (табл. 3). На накопление титруемых кислот и убывание их в период длительного хранения кроме сроков съема плодов большое влияние оказывали зона выращивания и биологические особенности сорта. Например, в плодах груши сорта Кюре из МППП «Памяти Ильича» в зависимости от года и сроков съема к моменту уборки накопилось следующее содержание титруемых кислот: в 1981 г. 0,28—0,32%, в 1982 г.—0,45—0,76, в 1983 г.—0,46—0,50% (табл. 3). То же наблюдалось у плодов этого же сорта из совхоза «Пррут», но они содержали меньше титруемых кислот. Аналогичные данные для углеводов приводят Рубин, Метлицкий [8], которые отмечают, что с варьированием климатических условий изменяется качественный состав продуцируемых растениями веществ и соотношение между растворимыми и нерастворимыми углеводами.

Из исследуемых сортов (в зависимости от сроков съема) самый высокий процент титруемых кислот (среднее за 3 года) был в плодах груши сорта Пасс-Крассан — 0,51—0,61%, затем у Кюре — 0,40—0,58, самый низкий — у Бере Арданпон — 0,36—0,44%. Подобные результаты получе-

ны Стаджевым и Ильевым [9] по плодам груши этих же сортов.

За период хранения содержание титруемых кислот, независимо от сроков съема, уменьшилось. Однако их снижение происходило неодинаково. Менее выражен этот процесс у плодов груши оптимального срока съема. К концу хранения в них содержалось на 0,02—0,24% больше титруемых кислот, чем в плодах остальных сроков съема.

Сроки съема существенно повлияли на пищевые качества плодов груши после хранения. Проведение дегустационной оценки после дозаривания груши показало, что плоды, убранные в оптимальный срок (независимо от сорта и зоны выращивания), получили наибольший балл. После дозаривания они становились желтыми, а мякоть приобретала нежную, сочную консистенцию, с выраженным ароматом, характерным для данного сорта. Плоды груши остальных сроков съема оставались зелеными с мучнистой мякотью и терпким привкусом, а также с большим количеством каменистых клеток, что имело существенное значение при общей оценке при их дегустации (табл. 4).

Таблица 4. Влияние сроков съема на пищевые показатели плодов груши после длительного хранения. Урожай 1983 г.

Сорт, образец	Общая оценка, баллы	Примечание
---------------	---------------------	------------

Совхоз «Пррут»

Кюре	I*	4,2	Очень вкусная
	II	3,7	
	III	3,5	
Бере Арданпон	I	4,3	
	II*	4,4	Сочная, приятная на вкус
	III	4,2	

МППП «Памяти Ильича»

Кюре	I*	4,1	Вкусная, сочная
	II	3,5	
	III	—	
Бере Арданпон	I	4,1	
	II*	4,4	Приятная на вкус
	III	3,6	
Пасс-Крассан	I	3,7	
	II*	4,0	Сладко-кислая, вкусная
	III	3,2	

В результате проведенных исследований можно сделать следующие выводы:

1. Сроки съема значительно влияют на накопление и расход органических веществ в плодах груши во время хранения. Наименьшее снижение содержания титруемых кислот (на 0,02—0,24%) и сахарозы (на 0,22—1,40%) при хранении отмечено у плодов, убранных в оптимальный срок съема.

2. На ход биохимических процессов в период длительного хранения плодов груши большое влияние оказывали условия выращивания (зона произрастания) и биологические особенности сорта. Независимо от сроков съема, наименьший расход органических веществ и наилучшая лежкость выявлены у груш, выращенных в условиях совхоза «Пррут» (Кодровая зона). Плоды из этого хозяйства отличались и лучшими пищевыми качествами по сравнению с плодами тех же сортов из МППП «Памяти Ильича» (зона Южного Приднестровья).

ЛИТЕРАТУРА

- Арасимович В. В., Фрайман А. И. Хранение плодов в Молдавии. Кишинев, 1956.
- Арасимович В. В., Пономарева Н. П., Огарева М. И.//Полисахариды плодов и овощей и их изменчивость при созревании и переработке. Кишинев, 1965. С. 47—57.
- Блашкина А. А. Качество и лежкость плодов груши в зависимости от сроков съема и условий хранения: Автореф. дис. ... канд. с.-х. наук. Киев, 1976.
- Ермаков А. И., Арасимович В. В. и др. Методы биохим. исследования растений. Л., 1972.

5. Кулієв А. А. и др. Растворимые сухие вещества и их зависимость от дыхания в процессе хранения плодов//Биология. Баку, 1971. № 1.

6. Логачева О. В. Влияние сроков съема, температуры и состава газовой среды на сохраняемость яблок: Автореф. дис. ... канд. биол. наук. М., 1982.

7. Рекомендации по длительному хранению плодов во фруктохранилищах в местах производства. М., 1983.

8. Рубин Б. А., Метлицкий Л. В. Биохимия и качество растительного сырья. М., 1961.

9. Странджев А., Ильев И.//Градинарска и лозарска наука. 1974. № 1.

10. Фрайман И. А.//Семечковые культуры. Кишинев, 1975. С. 98—103.

11. Вишанска Ю., Дончев Д., Велков Л.//Градинарска и лозарска наука. 1977. № 7.

12. Popescu C. V.//Revista de Horticultura și viticultură. 1973. N 9. P. 49—54.

Резумат

А фост черчетатэ депенденца скимбэрилор композицией биокимиче ла фрукtele де пере, култивате ын доуз зоне агриколе ын тимпул кулесулуй. Са констатат, кэ ла фрукtele кулесе ын периода оптимиз консумара захарурилор ши ачизилор органич а фост май мицэ, яр фрукtele ла сфиштул пэстрэйр с'ау свиденцият прин калитате май бунэ. О калитате споритэ а фруктелор с'а обсерват ла челе култивате ын зона Кодрилор.

Summary

The authors concentrate on the influence of the yield time and biological peculiarities of the variety on the changes in chemical composition of the pears of later yield taken from two different regions during prolonged storage. The results show that the fruits collected in due time spent less sugar and organic acids, and by the end of the storage period were more tasty. The fruits collected in the Kodru area were of higher quality and good for long storage.

Институт физиологии и биохимии растений АН МССР

Поступила 03.02.89

В. Г. БАНТАШ, В. В. АРАСИМОВИЧ

ОСОБЕННОСТИ ПЕКТИНОВОГО КОМПЛЕКСА ПЛОДОВ ЯБЛОНИ, ОБРАБОТАННЫХ ХЛОРИСТИМ КАЛЬЦИЕМ

Пектиновые вещества — высокомолекулярные соединения углеводной природы — в отличие от других полисахаридов распространены в растениях в нескольких формах: протопектин, водно-растворимый пектин, свободная галактуроновая кислота и ее кальциевые и магниевые соли. В растительных тканях они откладываются по внешней стороне клеточной стенки и между клетками, входя в состав срединной пластинки [7]. Протопектин и водно-растворимый пектин, находясь в подвижном равновесии, оказывают

влияние на физико-химическое состояние клетки.

При созревании плодов яблони происходят изменения в составе пектиновых веществ срединной пластинки паренхимных клеток околоплодника, снижается содержание низкометоксилированного протопектина, повышается количество высокоестерифицированного водно-растворимого пектина. Высвобождается Ca^{2+} из клеточных стенок сочных плодов, что обуславливает изменения в структуре тканей — размягчение их вследствие ослабления связей между компонентами — составляющими клеточной стенки: полисахаридами, белками, лигнином [4].

Как нами было показано ранее, обработка плодов яблони раствором CaCl_2 замедляет процесс послеуборочного дозревания плодов [2]. В этой связи представляло интерес изучение изменений, происходящих в пектиновом комплексе, выделенном из плодов яблони, обработанных хлористым кальцием, в период их послеуборочного дозревания.

Материал и методы

Исследовали плоды яблони сортов Рихард делишес и Джонатан, после уборки обработанные 4% водным раствором CaCl_2 . Препараты пектинов выделяли из плодов, снятых при производственной уборке и дозревавших в течение 12 дней при температуре $+18-20^\circ\text{C}$ (моделирование созревания в лабораторных условиях).

Препараты пектинов выделяли из плодов яблони и химическим [6], и ферментным [1] методами. Уронидную часть определяли по [5], содержание Ca^{2+} — методом атомно-абсорбционной спектрофотометрии. Пектиновые вещества идентифицировали по их инфракрасным спектрам [6].

Результаты и их обсуждение

Пектин выделяли химическим способом путем последовательной экстракции водой (водно-растворимый), соляной кислотой pH 2 и 0,25 M ацетатом натрия (протопектин) по 4 ч

каждым экстрагентом при $+45^\circ\text{C}$ и 2 ч при $+20^\circ\text{C}$ раствором 0,1 N NaOH .

Характер количественной изменчивости пектинов, экстрагируемых водой, соляной кислотой и ацетатом натрия, был одинаковым у обоих сортов: к концу хранения значительно возросла каждая из этих фракций. Увеличилась и доля пектинов, извлекаемых 0,1 N раствором NaOH , но у сорта Джонатан плоды, обработанные раствором CaCl_2 , в фазе потребительской зрелости содержали больше пектиновых веществ (0,92%), чем контрольные (0,59%). У сорта Рихард делишес различий между опытными и контрольными плодами не обнаружено (табл. 1).

По современным представлениям в состав растительной клеточной стенки входят различные комплексы: углеводные, белково-углеводные, лигнин-белково-углеводные. Срединная пластинка, соединяющая смежные клетки, в основном состоит из кальциевых солей пектиновых кислот и гемицеллюлоз. Пектин и другие соединения, входящие в состав клеточной стенки, содержат большое число иммобилизованных карбоксильных групп, от которых отщепляются ионы водорода, что сообщает ей суммарный отрицательный заряд и позволяет связывать катионы, в частности Ca^{2+} , участвующие в объединении различных полимеров в единую целую [3]. Кроме того, ионы Ca^{2+} фиксируются в клеточной стенке также координационными связями с гидроксильными группами различных полисахаридов [7].

Несмотря на общую основу строения пектиновых веществ, выделенных из разных растительных объектов, многие исследователи отмечают и широкое их варьирование по физико-химическим свойствам, обнаруживаемое даже в пределах одного растения. По нашим данным, пектин, выделенные из плодов яблони в фазе технической зрелости, значительно различаются по содержанию в них уронидной части (табл. 2). В процессе послеуборочного дозревания происходят изменения в молекуле пектина: изменяется соотношение нейтральной и кислой фракций, нарушается прочность связей пектиновых веществ с другими компонентами клеточных стенок. У сорта Ри-

Таблица 1. Распределение пектиновых веществ плодов яблони, обработанных хлористым кальцием, по фракциям (в расчете на спиртона-растворимый остаток)

Вариант, дата отбора	Экстрагент	% уронидов, перешедших в раствор
Джонатан		
Контроль I 15.IX	H_2O $\text{HCl pH } 2$ 0,25 M CH_3COONa 0,1 N NaOH	3,79 1,02 0,25 0,36
Контроль II 28.IX	H_2O $\text{HCl pH } 2$ 0,25 M CH_3COONa 0,1 N NaOH	4,61 3,81 1,46 0,59
Опыт II 28.IX	H_2O $\text{HCl pH } 2$ 0,25 M CH_3COONa 0,1 N NaOH	4,80 3,08 4,03 0,92
Рихард делишес		
Контроль I 15.IX	H_2O $\text{HCl pH } 2$ 0,25 M CH_3COONa 0,1 N NaOH	4,40 2,07 0,74 0,73
Контроль II 28.IX	H_2O $\text{HCl pH } 2$ 0,25 M CH_3COONa 0,1 N NaOH	5,64 3,79 1,70 2,06
Опыт II 28.IX	H_2O $\text{HCl pH } 2$ 0,25 M CH_3COONa 0,1 N NaOH	5,64 3,19 3,16 2,05

* Примечание: I — техническая зрелость, II — потребительская зрелость — здесь и в табл. 2.

тан). У обоих сортов содержание Ca^{2+} в протопектине из обработанных плодов значительно выше, чем из контрольных (табл. 2). По-видимому, отмеченное нами распределение Ca^{2+} в пектиновом комплексе из яблок, погруженных после съема в раствор CaCl_2 и содержащих кроме эндогенного некоторое количество «дополнительного» экзогенного кальция, является одним из факторов, обуславливающим соотношение протопектина и водно-растворимого пектина в сторону увеличения первого.

Клеточные стенки незрелых плодов содержат относительно высокую долю низкометоксилированных пектиновых веществ — протопектина; по мере созревания степень эстерификации увеличивается и возрастает количество водно-растворимого пектина.

Известно, что в состав клеточных стенок входят не только структурные, но и ферментные белки, в частности пектинэстераза (ПЭ). Ионы кальция оказывают стимулирующее действие на ПЭ [8]. Возможно, экзогенный Ca^{2+} (из раствора CaCl_2), взаимодействуя с полисахаридами и ферментными белками, активирует ПЭ, встроенную в клеточную оболочку. ПЭ катализирует расщепление сложноэфирных связей в молекуле пектина срединных пластинок; тем самым уменьшая его растворимость в воде и, следовательно, увеличивая долю протопектина, способствуя цементированию клеток. В итоге замедляется процесс размягчения тканей, характерный для созревания плодов.

Выделенные химическим методом препараты пектинов идентифицировали по их ИК-спектрам. Очень четкие ИК-спектры, идентичные спектрам стандартного яблочного пектина [5], получены для препаратов пектинов из плодов яблони сорта Джонатан технической и потребительской зрелости как обработанных CaCl_2 , так и контрольных. ИК-спектры, снятые с пектинов, экстрагируемых водой и соляной кислотой из плодов сорта Рихард делишес в фазе технической зрелости и из обработанных плодов в фазе потребительской (водно-растворимый пектин), обнаружили существенные отклонения в области колебаний пиранозного кольца от поглощения

Таблица 2. Содержание уронидов и кальция в препаратах пектинов, выделенных из обработанных CaCl_2 яблок

Вариант, дата отбора	Экстрагент	Уро-ниды, %	Ca^{2+} , мг%
Джонатан			
Контроль I 15.IX	H_2O	32,87	0,025
	HCl pH 2	57,45	0,252
	0,25 M CH_3COONa	38,06	—
Контроль II 28.IX	H_2O	32,06	0,625
	HCl pH 2	52,41	0,187
	0,25 M CH_3COONa	8,59	0,200
Опыт II 28.IX	H_2O	36,56	0,550
	HCl pH 2	54,20	0,305
	0,25 M CH_3COONa	12,65	0,270
Рихард делишес			
Контроль I 15.IX	H_2O	13,88	0,082
	HCl pH 2	32,17	0,379
	0,25 M CH_3COONa	40,50	—
Контроль II 28.IX	H_2O	37,71	0,515
	HCl pH 2	55,70	0,172
	0,25 M CH_3COONa	47,25	0,283
Опыт II 28.IX	H_2O	28,56	0,692
	HCl pH 2	57,69	0,390
	0,25 M CH_3COONa	48,32	0,360
Контроль Опыта 28.IX	Ферментный комплекс	52,30	0,505
		65,10	0,887

стандартного пектина. Сравнивая значения максимумов поглощения спектров в области 800—1200 cm^{-1} со стандартными спектрами полисахаридов — пектина, крахмала, ксилана и целлюлозы [5], мы отметили сходство их со спектрами, характерными для смеси полисахаридов (пектин+крахмал). По-видимому, при экстракции пектинов водой в раствор переходит и крахмал, который затем осаждается вместе с пектиновыми веществами.

Ферментный препарат для выделения пектинов из плодов яблони сорта Рихард делишес представляет комплекс ферментов из *Geotrichum candidum* целлюлолитического и гемицеллюлолитического действия (в соотношении 12:1) без пектиназы. В результате действия ферментного препарата происходит расщепление связей пектиновых веществ с целлюлозой, гемицеллюлозами и белками и высвобождаются пектиновые вещества, близкие к нативным.

В препаратах пектина, выделенных ферментным способом из плодов яблони потребительской зрелости, обработанных CaCl_2 (табл. 2), содержание уронидов и кальция значительно выше по сравнению с необработанными.

ИК-спектры препаратов пектина, выделенных ферментным методом, идентичны со спектрами стандартного яблочного пектина.

Обобщая полученные результаты, можно заключить, что экзогенный кальций, включаясь в молекулу протопектина срединной пластинки, замедляет его гидролиз при послеуборочном дозревании, тормозит процесс размягчения плодов и тем самым удлиняет срок хранения плодов яблони, обработанных хлористым кальцием.

ЛИТЕРАТУРА

1. А. с. 664967 СССР. Способ получения пектина/Шелухина Н. П., Цель Ш. В., Аймухамедова М.Б., Родионова Н. А., Мартинович Л. И., Тиунова Н. А. Опубл. 30.05.79. Бюл. № 20.
2. Банташ В. Г., Арасимович В. В./Садоводство, виноградарство и виноделие Молдавии. 1984. № 5. С. 46—48.
3. Нобел П. Физиология растительной клетки (физико-химический подход). М., 1973. С. 25—87.
4. Робертис Э., Новинский В.; Саэс Ф. Биология клетки. М., 1967. С. 197.
5. Филиппов М. П., Власьева Т. В./Прикладная биохимия и микробиология. 1973. Т. IX. Вып. 1. С. 134—136.
6. Филиппов М. П. Инфракрасные спектры пектиновых веществ. Кишинев, 1978.
7. Demarty M., Morvan C., Thellier M./Plant, Cell and Environment. 1984. N 7. P. 103—110.
8. Wills R.B.H., Rigney C.J. Food Biochem. 1980. Vol. 3. N 2, 3. P. 105—109.

Резумат

Артикул кончине дате-деспре скимбери-ле че ау лок ын комплексул де пектине, об-чинут пе кале ензимолойникэ ши кимикэ дине фрукtele де мере тратате ку клорурэ де кал-чиу ын периода де матуризаре дупэ рекол-таре.

Институт физиологии и биохимии растений АН МССР

Поступила 09.12.88

МИКРОБИОЛОГИЯ

Г. В. МЕРЕНЮК,
К. Л. ЗАГОРЧА, Н. И. ФРУНЗЕ, В. И. ПЛАМАДЯЛА

ДИНАМИКА МИКРОБИОЛОГИЧЕСКИХ ПРОЦЕССОВ В ПОЧВЕ ПОД ВЛИЯНИЕМ УДОБРЕНИЙ

Материалы и методы

Краткосрочные опыты проводили в камерах искусственного климата КТ1К-1250, в вегетационных сосудах без растений. Почва — чернозем обыкновенный. Длительность опыта — 28 дней. Минеральные удобрения вносили в дозах $N_{150-200}$, P_{90-120} , K_{90} .

Эффект длительного применения минеральных и органических удобрений изучали в восьмипольном севообороте зернопропашных культур, заложенном в 1950 г. До начала наших работ проведено 3 ротации, а в 1983—1985 гг. исследованы почвенные микробиологические процессы под двумя культурами — озимой пшеницей и кукурузой на зерно.

Почва опытных участков — чернозем карбонатный, мощный слабогумусированный, среднесуглинистый, иловато-пылеватый на лёссовидном суглинике. В слое 0—20 см содержание гумуса составляет 2,4—2,8%, на глубине 1 м — не более 1%, pH солевого почвенного раствора — 7,2—7,8.

Для изучения отобраны 15 вариантов почвы, в которую вносили минеральные удобрения в разных количествах и соотношениях: от $N_{68}P_{45}K_{45}$ до $N_{180-200}P_{120}K_{90}$; навоза 15—40 т/га и навоза 15—20 т/га + $N_{68-75}P_{45}K_{45}$. Контроль — почва без удобрений. Второй контроль — залежь того же возраста.

Для характеристики биологической активности почвы использован комплекс показателей: численность аммонийфикаторов, в том числе спорообразующих, нитрификаторов, денитрификаторов, целлюлозоразрушающих микроорганизмов, использующих минеральные формы азота, а также проведен видовой анализ аммонийфи-

цирующих бактерий в кратковременных и длительных опытах влияния минеральных и органических удобрений на состав и активность почвенных сообществ микроорганизмов, выявление направленности биологических процессов, осуществляющих мобилизацию и воспроизведение почвенного плодородия.

рующих бактерий; дегидрогеназная, каталазная, фосфатазная, инвертазная, уреазная активности; интенсивность выделения CO_2 ; аммонификация, нитрификация и разложение целлюлозы; качественный и качественный состав свободных аминокислот [3, 5]. Эти исследования сопровождались физико-химическими и агротехническими анализами почвы, учетом величины урожая.

Результаты и их обсуждение

Результаты краткосрочных опытов показали, что, несмотря на внесение высоких доз минеральных удобрений, численность основных трофических групп почвенных микроорганизмов не претерпела существенных изменений. Характер воздействия на биологическую и энзиматическую активность в основном стимулирующий, хотя при некоторых гидротермических условиях регистрируется и угнетение дегидрогеназой и уреазной активности, а также выделение CO_2 (табл. 1).

NPK оказывает как стимулирующий, так и ингибирующий эффект, который зависит от дозы (с увеличением дозы эффект возрастает), гидротермического режима (при одних режимах регистрируется увеличение активности, при других — снижение), конкретных показателей биологической активности почвы (при одном и том же режиме величины одних показателей возрастают, других — снижаются). В целом же стимуляция биологических процессов почвы превалирует над их угнетением.

Таблица 1. Влияние NPK на биологическую активность обыкновенного чернозема при разных гидротермических режимах

Микробиологический показатель	Влажность, % ПВ; $^{\circ}\text{C}$			
	$\text{N}_{150}\text{P}_{90}\text{K}_{90}$		$\text{N}_{200}\text{P}_{120}\text{K}_{90}$	
	стимуляция	угнетение	стимуляция	угнетение
Целлюлозоразрушающие микроорганизмы				
Инвертазная активность	—	—	60; 10—20	40—60; 10
Уреазная активность	60—80; 10—20	—	80; 10—30	60; 20—30
Дегидрогеназная активность	40; 10 40; 30 60; 30 80; 10—30	—	40; 30 80; 10—30	60; 20—30
Выделение CO_2				

Таблица 2. Суммарная биологическая активность почвы под кукурузой опытных вариантов, баллы (средние данные за 3 года)

Вариант	По сравнению с контролем		По сравнению с залежью	
	X	%	X	%
$\text{N}_{68}\text{P}_{45}\text{K}_{45}$	24	150	19	112
$\text{N}_{135}\text{P}_{90}\text{K}_{90}$	46	287	32	200
$\text{N}_{135}\text{P}_{90} \text{п. д. } \text{P}_{180}$	30	187	24	150
$\text{N}_{180}\text{P}_{90}\text{K}_{90}$	31	194	28	175
$\text{N}_{180}\text{P}_{120}\text{K}_{90}$	35	217	26	155
Навоз 20 т/га	63	393	43	263
Навоз 40 т/га	74	466	49	305
Навоз 20 т/га + + $\text{N}_{68}\text{P}_{45}\text{K}_{45}$	84	525	48	300

Трехлетние полевые наблюдения показали, что закономерности степени воздействия удобрений практически идентичны, поэтому нами была сделана попытка анализировать всю совокупность полученных данных путем расчета суммарной биологической активности по всем 16 показателям опытных участков по сравнению с контролем и отдельно по сравнению с перелогом. По сравнению с контролем все испытанные дозы удобрений (табл. 2) увеличивают суммарную биологическую активность в 2—5 раз, причем даже самая низкая доза минеральных удобрений ($\text{N}_{68}\text{P}_{45}\text{K}_{45}$) — на 170%, средняя ($\text{N}_{135}\text{P}_{90}\text{K}_{90}$) — в 3, а более высокие дозы — в 2 раза. Органические удобрения показали наиболее выраженный эффект — биологическая активность возросла в 4—5 раз.

Проведенный анализ по сравнению с залежью выявил повышение суммарной биологической активности

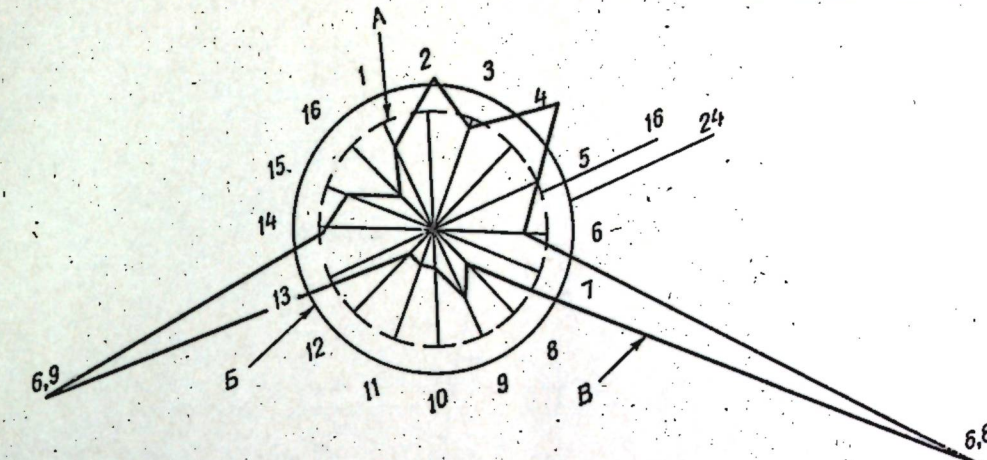


Рис. 1. Структурная характеристика биогенности почвы опытного участка ($\text{N}_{180}\text{P}_{120}\text{K}_{90}$) по сравнению с перелогом

Условные обозначения:

A — биогенность почвы участка перелога; B — расчетная биогенность сравниваемого участка с перелогом; B — фактическая структурная характеристика биогенности почвы сравниваемого участка; 1 — бактерии на МПА; 2 — спорообразующие бактерии; 3 — бактерии на КАА; 4 — актиномицеты; 5 — грибы; 6 — нитрификаторы; 7 — денитрификаторы; 8 — целлюлозоразрушающие бактерии; 9 — выделение CO_2 ; 10 — дегидрогеназа; 11 — каталаза; 12 — фосфатаза; 13 — инвертаза; 14 — уреаза; 15 — нитрифицирующая способность; 16 — целлюлозоразрушающая способность

только в 1,5—3 раза, однако при этом эффект каждой дозы сохранился.

Дальнейшее изучение состояния почвенных микробных сообществ проведено также по сравнению с контролем и перелогом.

Было выявлено, что минимальная доза $\text{N}_{68}\text{P}_{45}\text{K}_{45}$ повысила биологическую активность почвы за счет возрастания ферментативной активности (дегидрогеназа, уреаза), численности нитрификаторов, нитрифицирующей и целлюлозоразрушающей способностей. Практически аналогичный качественный, но более выраженный эффект зарегистрирован и при дозе $\text{N}_{135}\text{P}_{90}\text{K}_{90}$. Максимальная доза минеральных удобрений ($\text{N}_{180}\text{P}_{120}\text{K}_{90}$) привела к более существенным качественным и количественным изменениям (рис. 1). Во-первых, кроме стимуляции указанных происходит возрастание значений и других показателей — численность грибов и денитрификаторов, инвертазная и уреазная активности; во-вторых, при этой дозе регистрируется подавление интенсивности выделения CO_2 , каталазной и фосфатазной активности. При этом суммарная биологическая активность значительно ниже, чем при дозе $\text{N}_{135}\text{P}_{90}\text{K}_{90}$. Внесение навоза оказалось наиболее четко выраженный стимулирующий эффект (рост 13 из 16 показателей) без ингибции (рис. 2).

Такой традиционный подход как к постановке опытов, так и к интерпретации данных позволил бы сделать вывод об определенных положительных и отрицательных эффектах действия удобрений. Однако возникает вопрос, правомочно ли проводить такую оценку по сравнению с контролем, в почву которого в течение длительного периода не вносились питательные элементы, а наоборот, ежегодно отчуждались с урожаем. Поэтому мы провели сравнение структуры биологической активности и с перелогом. Предпосылка такого анализа состояла в том, что только в почве этого участка должны были сложиться сбалансированные микробные сообщества, свойственные данному типу почв, осуществляющие рост потенциального плодородия. Такой анализ показал, что под влиянием удобрений произошел резкий рост инвертазной активности, численности нитрификаторов, денитрификаторов и подавление ферментативной активности. Биологическая активность почвы контроля находится почти на одном уровне с перелогом: 13 баллов против 16. Однако это происходит только за счет высокой инвертазной активности, тогда как большинство показателей значительно ниже (рис. 3).

Анализ видового состава аммонификаторов позволил установить, что в

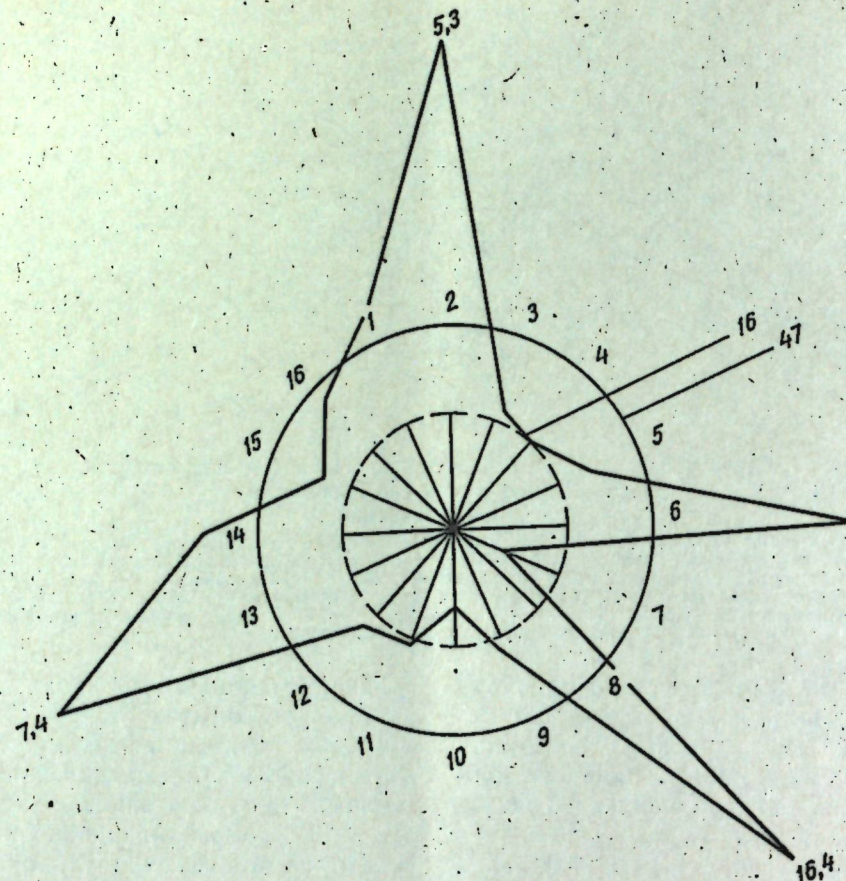


Рис. 2. Структурная характеристика биогенности почвы опытного участка (навоз 40 т/га) по сравнению с перелогом. Условные обозначения — см. рис. 1.

качественном составе этой группы микроорганизмов происходят незначительные изменения при низких дозах удобрений, которые можно характеризовать как реакцию в пределах гомеостаза [1]. При средних дозах ($N_{135}P_{90}K_{90}$) происходит перераспределение доминантных видов, что, по-видимому, обуславливается изменением динамического равновесия между конкурирующими микроорганизмами. Это приводит к нарушению сложившегося баланса, определяющего структуру сообщества, и может служить показателем нарушения микробной системы. Такие изменения соответствуют реакции стресса микробного ценоза. При внесении повышенных доз минеральных удобрений реакция микробоценоза характеризуется резистентностью. Отрицательное действие удобрений на микрофлору проявляется в том, что обычно активные микроорганизмы переходят в разряд

неактивных или совсем исчезают, а преимущественное развитие получают нетипичные для данной почвы, резистентные к высокому содержанию минеральных веществ микроорганизмы; кроме того, снижается спектр видового разнообразия аммонифицирующих микроорганизмов.

Биологические свойства доминирующих видов отличаются по вариантам: с возрастанием дозы NPK снижается способность разложения желатины, ферментации крахмала и пептонизации молока и увеличивается активность восстановления нитратов. NPK в средних и особенно в повышенных дозах активизируют почвенные ферменты азотного и углеродного обмена — уреазы и инвертазы. Нитрифицирующая способность почвы выше в вариантах со средними и повышенными дозами, а целлюлозоразрушающая активность — наоборот. Одновременно в вариантах с повы-

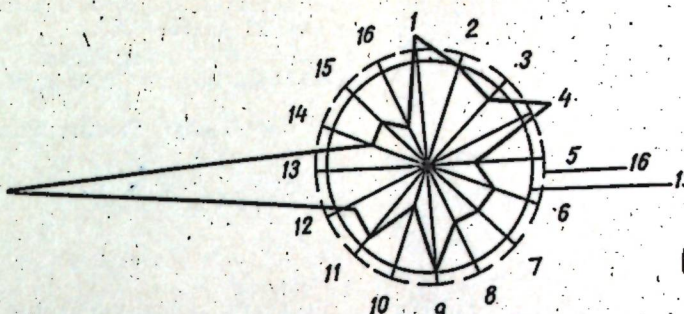


Рис. 3. Структурная характеристика биогенности почвы контрольного участка по сравнению с перелогом. Условные обозначения — см. рис. 1

шенными дозами минеральных удобрений отмечается подавление процесса накопления свободных аминокислот на 35—57%, значительно сужается их видовое разнообразие.

В дальнейшем выявленный уровень биологической активности сопоставлялся с содержанием гумуса и урожаем сельскохозяйственных культур. Первоначальное содержание гумуса в почве составило 2,7%. За период наблюдения зарегистрированы следующие изменения его количества: в почве контроля снизился до 2,08% (потеря — 0,62%); в почве с разными дозами NPK — 2,3—2,4% (потеря — 0,3—0,4%); совместное применение NPK и навоза — 2,74% (+0,04%); навоз 40 т/га/год — 2,82% (+0,12%); залежь — 3,11% (+0,41%).

Между биологической активностью и урожаем кукурузы и озимой пшеницы установлена положительная коррелятивная связь на уровне 0,62—0,87 (табл. 3). Наиболее высокие урожаи кукурузы получены в вариантах с органическими удобрениями и при совместном применении навоза и низких

количествах NPK. Лучший вариант чистого минерального питания ($N_{135}P_{90}K_{90}$) существенно уступал вариантам с навозом. Урожай в вариантах с более высокими дозами NPK существенно ниже, чем в варианте со средними дозами, хотя при этом биологическая активность почвы была примерно на одном уровне.

Выводы

1. Минеральные удобрения при их длительном применении в дозах $N_{135}P_{90}K_{90}$ и выше изменяют структуру почвенных микробных сообществ, что приводит к нарушению баланса биологических процессов и питательных веществ в почве за счет усиления процессов деструкции органического вещества и газообразных потерь азота — энзиматическая, нитрифицирующая, денитрифицирующая, целлюлозоразрушающая активности.

2. Органические удобрения (навоз), навоз совместно с низкими дозами минеральных удобрений вызывают сба-

Таблица 3. Урожайность кукурузы и ее зависимость от уровня биологической активности почвы

Вариант	Биологическая активность почвы, баллы			Урожай зерна кукурузы, ц/га		
	1983 г.	1984 г.	1985 г.	1983 г.	1984 г.	1985 г.
Контроль	16	16	16	52,9	47,0	46,6
$N_{68}P_{45}K_{45}$	23	33	26	58,0	64,6	58,8
$N_{135}P_{90}K_{90}$	53	44	46	51,7	67,8	62,2
$N_{135}K_{90}$ п. д. Р ₃₆₀	23	36	30	56,8	67,7	44,7
$N_{180}P_{90}K_{90}$	26	43	43	55,9	60,0	57,9
Навоз 20 т/га	39	102	48	66,5	82,5	74,5
Навоз 40 т/га	53	118	68	62,5	92,6	75,9
$N_{68}P_{45}K_{45}$	40	146	65	58,8	79,1	74,3
Коэффициент корреляции				+0,625	+0,664	+0,874

лансирующую активизацию почвенных микробиологических процессов, обеспечивающую высокие урожаи сельскохозяйственных культур и положительный баланс гумуса.

3. Принятый до настоящего времени контроль (без удобрений) в длительных стационарных опытах не позволил выявить отрицательные изменения почвенных микробоценозов под влиянием антропогенных факторов. В качестве контроля необходимы эталонные участки агроценозов конкретных типов и подтипов, обладающие положительным балансом гумуса и высоким эффективным плодородием, для которых устанавливаются характеристики величины микробиологических показателей и динамика биологических процессов.

ЛИТЕРАТУРА

1. Гузев В. С., Левин С. В., Звягинцев Д. Г. // Микробиология. 1985. Т. 54. Вып. 3. С. 89—96.
2. Звягинцев Д. Г. Почва и микроорганизмы. М., 1987.
3. Звягинцев Д. Г. Методы почвенной микробиологии и биохимии. М., 1980.
4. Кожевин П. А. Люминесцентно-микроскопическое изучение комплекса микроорганизмов и отдельных микробных популяций в почве: Автореф. дис. ... канд. биол. наук. М., 1976.
5. Кожевин П. А., Звягинцев Д. Г. // ДАН СССР. 1980. Т. 250. № 2. С. 461—463.
6. Паников И. С., Звягинцев Д. Г. // ДАН СССР. 1983. Т. 268. № 5. С. 1241—1244.

7. Flanagan P. W., Van Cleve K. // Ecol. Bull. 1977. N 25. P. 261—273.
8. Lippold H., Förster J. // Arch. Acker- und Pflanzenbau und Bodenkd. 1980. B. 24. N 2. S. 22—28.
9. Nyborg M. // Agr. Forestry Bull. 1983. Vol. 6. n. 1. P. 17—29.
10. Ryden J. G. // J. Soil. Sci. 1983. Vol. 34. n. 2. P. 5—9.

Резумат

Се аратэ, кэ апликария ындёунгатэ а ынгрэшэмнителор минерале ($N_{135}P_{90}K_{90}$) ши ындоze май марь скимбэ структура комунитэцилор микробиологиче але солулуй. Бэлигарул (40 т/га) ши ынгрэшэмнителор минерале ындоze мичи ын ымбинаре ку челе органиче скэзерчтэ о инфлюенцэ позитивэ асуура биланцуулуй. Процессор микробиологиче ши а хумусулуй. Центру контрол сэ фие алес ун сектор эталон, че ар авя биланц позитив де хумус ши фертилитате ефичинтэ а солулуй.

Summary

It has been shown that prolonged application of mineral fertilizers ($N_{135}P_{90}K_{90}$ and at higher rates) changed the structure of soil microbiological societies. Manure (40 t per hectare) and little doses of mineral fertilizers together with organic ones act positively on the balance of soil microbiological processes and humus. To control this an area with a positive balance of humus and high effective fertility must be taken as a standard.

Отдел микробиологии АН МССР,
Кишиневский сельскохозяйственный институт
им. М. В. Фрунзе

Поступила 03.02.89

В ИЗДАТЕЛЬСТВЕ «ШТИИНЦА» ГОТОВИТСЯ К ВЫПУСКУ В 1990 ГОДУ

Софроний В. Е., Молдован А. И., Стоев В. Г. АГРОЭКОЛОГИЧЕСКИЕ АСПЕКТЫ СКЛОНОВОГО ЗЕМЛЕДЕЛИЯ. 15 л. Рус. яз. 3 р. 20 к.

В книге рассматриваются варирирование природных факторов на территории Молдавии и их влияние на продуктивность основных полевых культур (горох, озимая пшеница, кукуруза, подсолнечник, сахарная свекла). Представлены результаты изучения реакции сортов и гибридов разных видов растений на факторы внешней среды на склоновых землях. Показаны особенности агроэкологической обстановки на склонах различной ориентации. Даны экологические параметры продуктивности видов и сортов (гибридов) для агроэкологической паспортизации типа земель и размещения растений в наиболее благоприятных экологических условиях на территории республики. Рассчитана на биологов, географов, экологов.

Оформление заказа см.
на 2-й странице обложки.

ЗООЛОГИЯ

И. М. ГАНЯ,
Н. И. ЗУБКОВ, Г. З. ГУСАН, Н. А. СКЛЯРОВ

ЗНАЧЕНИЕ ПТИЦ В ИНТЕГРИРОВАННОЙ ЗАЩИТЕ САДА

Материал и методы

Одно из перспективных направлений в защите садов от вредителей — экологическое, в основу которого положено сохранение естественных врагов вредителей, создание необходимых условий для их существования и активизации полезной деятельности, проведение контролируемых целенаправленных мер по охране энтомофагов.

Птицы относятся к активным истребителям вредных беспозвоночных. Изучение их роли в природе имеет многолетнюю практику. Известно, что в различных биоценозах наибольшее значение имеют виды с высокой численностью и составляющие основу населения птиц по числу особей [1, 3, 5].

В древесных насаждениях агробиоценозов, в том числе в промышленных садах, важную роль играют насекомоядные птицы, а также виды с развитой энтомофагией, главным образом из отряда воробьиных, которые быстрее приспособляются к новым местам гнездования и условиям питания. Промышленные сады современного типа — совершенно особый вид биотопа для птиц, где интенсивные агротехнические мероприятия и химизация на протяжении всего вегетационного периода значительно ограничивают численность и видовое разнообразие гнездящихся птиц. Большой объем этих работ приходится на весенний период, когда птицы приступают к гнездованию, что отрицательно сказывается на населении птиц. Все эти факторы, а также отсутствие задернения междуурядий определяют бедность видового состава и низкую плотность птиц в таких садах.

Результаты и их обсуждение

Во время учетов птиц в саду до проведения мероприятий по привлечению на гнездование обнаружены только зяблик, щегол, сорока, зеленушка и полевой жаворонок с общей плотностью 45 пар/км² (табл. 1). Плотность птиц в конце гнездового периода после вылета молодых возрастала иногда до 270 ос/км².

Таблица 1. Плотность населения птиц, гнездящихся в саду

Вид	Плотность, пар/га	Доля участия, %
Зяблик	0,15	33,3
Щегол	0,08	17,8
Зеленушка	0,04	8,9
Сорока	0,06	13,3
Жаворонок полевой	0,12	26,7

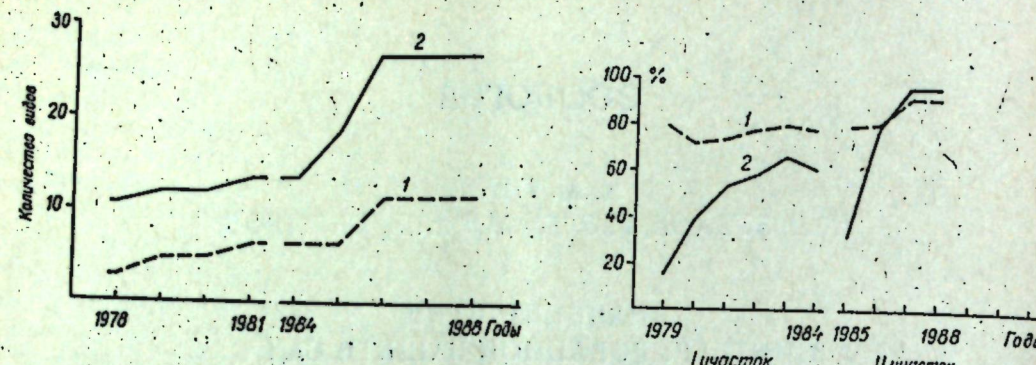


Рис. 1. Изменения численности видов гнездящихся (1) и кормящихся (2) птиц на опытных участках сада при их привлечении

Рис. 2. Заселаемость ИГ (1) и эффективность размножения в них птиц (2) на опытных участках сада (первая кладка)

После развески ИГ и подкормки, а также частичного ограничения пестицидной нагрузки за счет оптимизации норм расхода ядохимикатов и уточнения порогов вредоносности основных видов насекомых-фитофагов видовое разнообразие и плотность птиц стали возрастать (рис. 1). При этом увеличились как группа гнездящихся видов, так и прилетающих на кормежку птиц. Видовое разнообразие птиц в саду увеличивается постепенно, но особенно быстро после снижения пестицидной нагрузки. Число видов, гнездящихся на участках, увеличилось до 10 (табл. 2), а прилетающих на кормежку — до 26.

Увеличение видового разнообразия птиц, гнездящихся на опытных участках сада, произошло не только за счет развески ИГ и снижения пестицидной нагрузки, но и из-за «эффекта

группы», значение которого возрастает по мере увеличения числа видов: внутривидовые и межвидовые территориальные взаимоотношения привлекают другие виды птиц, которые затем вливаются в общую группу.

Опыты показали, что с помощью ИГ и подкормки можно значительно увеличить плотность гнездящихся птиц и довести ее до 5—7 пар/га. Процент заселаемости ИГ колеблется по годам. В первый год после развески ИГ они заселяются птицами на 20—50%. В последующие 2—4 года полевой воробей образует оседлые группировки и занимает 75—100% ИГ (рис. 2). В период размножения этот вид имеет 3 кладки, причем во второй и третьей заселаемость ИГ всегда ниже, особенно в третьей (в 2—3 раза), а во второй в некоторые годы заселаемость ИГ приближается к первой кладке и доходит до 75%. Размножение птиц в ИГ отличается высокой эффективностью. Средняя величина кладки в первом цикле размножения в 1986 г. составила 5 яиц на гнездо, в 1987 г. — 4,8.

На необрабатываемом участке сада в 1986 г. средняя величина кладки была выше, чем на других участках, — 5,5 против 4,8 яйца на 1 гнездо. При средней эффективности размножения птиц в 1986 г. (82,1%) она была выше на необрабатываемом участке (83,3%). Средняя заселаемость ИГ в 1986 г. составила 62,1%: на необрабатываемом участке — 73,3, на обрабатываемом — 53,3%. В 1987 г. при 100% заселаемости ИГ в первой кладке среднее число яиц на 1 гнездо

Таблица 2. Видовой состав и плотность гнездящихся птиц на опытных участках сада (1986—1988 гг.)

Вид	Плотность, пар/га	Доля участия, %
Воробей полевой	4,72	72,8
Зяблик	0,46	7,1
Щегол	0,23	3,5
Синица большая	0,27	4,2
Лазоревка	0,08	1,3
Иволга	0,08	1,3
Коноплянка	0,15	2,3
Зеленушка	0,15	2,3
Дятел большой	0,04	0,6
пестрый	0,30	4,6
Сорока		
Всего	6,48	

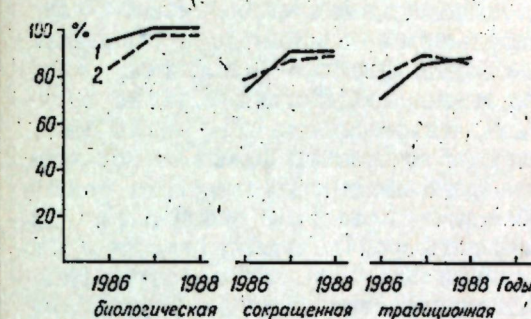


Рис. 3. Заселаемость (1) и эффективность размножения (2) птиц в ИГ (%) на участках с различной формой защиты растений (первая кладка)

Рис. 4. Сезонная динамика численности птиц в промышленных садах

составило 5,0 на необрабатываемом участке и 4,7 — на обрабатываемом, а количество слетков — 4,5 и 4,1 соответственно. Эффективность размножения также была выше на необрабатываемом участке — 90 против 86,3% на остальной территории.

В саду птицы приступают к размножению в III декаде апреля — начале мая. Вторая кладка начинается во II—III декаде июня и третья кладка — во II—III декаде июля. Таким образом, период размножения птиц в саду охватывает время с III декады апреля до половины августа. Максимальный размер кладки у полевого воробья составил 8 яиц, минимальный — 3 яйца, что имеет место чаще всего во время III кладки. Вариабельность величины кладки от цикла к циклу возрастает при незначительном уменьшении средней величины. Например, в 1987 г. в I кладке в среднем было $4,8 \pm 0,11$ яйца, при $Cv = 22,5\%$, во II — $4,4 \pm 0,15$ яйца при $Cv = 23,0\%$ и в III кладке — $4,5 \pm 0,25$ яйца при $Cv = 28,3\%$. Среднее число яиц в III кладке иногда бывает выше, чем в первой. Например, в 1986 г. в I и II кладках среднее число яиц составляло 4,9, в III кладке — 5,5, а заселаемость ИГ — 100, 80 и 51,1% соответственно.

В 1985 г. ИГ были развесаны на новом участке, на котором защитные мероприятия против вредителей проводились с преимущественным использованием биологических средств. Таким образом, ИГ были на 3 участках: с использованием обычной схемы за-

щиты (как и на всей территории сада), с сокращенной программой защиты и только с биологической. При этом проявились различия в заселаемости ИГ и эффективности размножения в них птиц (рис. 3). Заселаемость ИГ и эффективность размножения при биологической защите резко повышается, на участке с сокращенной программой защиты эти показатели чуть ниже, а на участке с традиционной защитой обнаруживается низкая заселаемость ИГ и примерно одинаковая эффективность размножения. Это говорит о том, что снижение пестицидной нагрузки создает условия для повышения плотности гнездования птиц и эффективности их размножения. Интенсивная пестицидная нагрузка и фактор беспокойства ранней весной значительно угнетают гнездящуюся популяцию птиц и снижают их продуктивность.

В биоценозе промышленного сада птицы играют существенную роль не только в период гнездования, но и в другие сезоны года, причем полезная их деятельность даже превышает таковую в летнее время. В периоды весенней и осенней миграций плотность и видовое разнообразие птиц возрастают во много раз (рис. 4). При этом мероприятия по привлечению птиц способствуют этому процессу в значительной мере. Так, подкормка в зимний период позволяет задерживать на участках синиц, дятлов, овсянок и воробьев, суммарная плотность которых достигает 3—5 ос/га.

Таблица 3. Соотношение различных групп насекомых в корме птенцов в МППП «Память Ильича» в 1979—1984 гг.

Группа насекомых	Период размножения			n среднег
	I	II	III	
Odonata	—	1,7	—	0,2
Orthoptera	—	1,7	—	0,2
Homoptera	2,6	3,4	6,3	2,9
Hemiptera	—	—	6,3	0,4
Coleoptera	23,9	20,3	40,6	24,6
Neuroptera	0,2	10,2	—	1,4
Diptera	1,9	3,4	—	1,9
Hymenoptera	0,2	—	—	0,2
Lepidoptera	70,1	55,9	46,9	67,1
Tortricidae	70,9	24,2	6,7	63,7
Geometridae	8,8	6,1	66,7	11,0
Noctuidae	7,1	57,6	6,7	11,7
Leptoptera sp.	13,2	12,1	26,6	13,6
Araneae	0,9	3,4	—	1,2

Особого внимания заслуживает изучение трофических связей птиц в условиях промышленного сада. По характеру питания в саду встречаются насекомоядные, насекомоядо-зерноядные, зерноядные и всеядные птицы. Значительная часть трансформируемой птицами энергии приходится на группу насекомоядных.

Основу питания в саду (взрослых и птенцов) составляют преимущественно насекомые-фитофаги и другие беспозвоночные животные. В осенне-зимний период кочующие стаи насекомоядных птиц истребляют большое количество зимующих видов почвы вредных насекомых разных стадий и способны снизить их численность более чем наполовину [1]. В период гнездования в корме птиц отмечаются те же группы насекомых, которые распространены в саду. Доминирующее положение в корме занимают массовые виды вредителей: гусеницы и куколки листоверток, пяденицы, совок, имаго долгоносиков, листвоедов и др. (табл. 3). Чешуекрылые в питании птиц преобладают и составляют 60—90%, жесткокрылые — 10—30%. В процессе кормодобычи птицы чаще посещают те участки, где плотность насекомых выше, следовательно, они воздействуют в первую очередь на очаги их повышенной плотности. При снижении их численности в саду границы кормового участка у птиц расширяются и они собирают корм в прилегающих биотопах. Поэтому для

поддержания оптимальной плотности птиц необходимо, чтобы сады были небольшими по площади и граничили с биоценотическими оазисами.

Степень воздействия птиц на вредных насекомых в садах разного типа зависит от многих факторов: от численности птиц и их видового разнообразия, плотности вредителей, их экологической доступности для птиц, наличия других энтомофагов. Наибольший интерес, с точки зрения снижения численности вредных насекомых, в интенсивных садах имеют прежде всего насекомоядные виды дуплогнездников и открытогнездящихся птиц. В старых бессистемных садах степень воздействия птиц на беспозвоночных в местах привлечения птиц составляла 50%, из них на вредителей (долгоносиков, листоверток, совок, пядениц) — 70—80%. В условиях искусственной изоляции плодовых деревьев беспозвоночных больше в 7 раз (4 млн экз/га на изолированных деревьях и 0,6 млн экз/га — на доступных для птиц деревьях) [2]. Эффективность воздействия птиц изменяется в зависимости от сезона. Особенно интенсивно птицы снижают численность беспозвоночных во время осенней миграции, при привлечении — во время гнездования и в зимний период.

В промышленном саду интенсивного типа определение эффективности воздействия птиц на вредных насекомых проводилось на основе учетов плотности гнездования птиц, потребляемого ими корма, плотности основных видов вредных насекомых и биоэнергетики птиц. Определение эффективности влияния некоторых биологических агентов на энтомофагов, включая птиц, на отдельные виды фитофагов в 1986—1988 гг. показали, что они способны контролировать численность основных вредных насекомых. На участке со сниженной пестицидной нагрузкой в период вегетации энтомофаги, в том числе и птицы, снижали численность листоверток на 84,3%, в то время как на остальной территории сада численность листоверток снижалась на 98,6% за счет химических средств.

Плотность гнездования только полевого воробья в I кладке в 1986—1988 гг. составила около 5 пар/га.

Чтобы представить себе темпы изъятия беспозвоночных птицами с участка, проводили несложные расчеты. Во время насаждивания I кладки потребляемая птицами энергия составляет 383,3 кДж/га/сутки. Если принять калорийность беспозвоночных 1,1 кДж/г сырой массы, то потребность птиц составит 421,6 г сырой массы беспозвоночных в сутки на 1 га, или в среднем 4600 экз (рис. 5). Поскольку листовертки в питании птиц составляли в среднем 38%, то изъятие листоверток будет 1748 экз/га/сутки. На участке 833 дерева яблони, следовательно, если допустить, что птицы кормятся равномерно на всех деревьях, они с каждого дерева снимают по 2 экз листоверток ежедневно в период с III декады апреля по I декаду мая. После вылупления птенцов (в II—III декаде мая) потребление энергии птицами возрастает, достигая постепенно величины 1150 кДж/га/сутки, или 1120 г/га/сутки, что составило 13 784 экз/га/сутки беспозвоночных или 5238 экз/га/сутки листоверток (6 экз с каждого дерева в день).

В период II кладки (III декада мая — I декада июня) плотность гнездования составила около 4 пар/га. В то же время на участке содержались около 60% слетков. Энергия их потребления составляла 766 кДж/га/сутки, или 748 г (9189 экз/га/сутки беспозвоночных или 3492 экз/га/сутки листоверток; в среднем 4 экз с каждого дерева в день). После вылупления птенцов II кладки (II—III декада июня) энергия потребления птицами остается примерно на одном уровне, так как увеличение потребности в энергии на рост птенцов идет параллельно с откочевкой молодых птиц первого цикла. Примерно такая же ситуация сохраняется и во время III цикла размножения (III декада июня — III декада июля).

Темпы изъятия птицами беспозвоночных в период гнездования непостоянны: максимума они достигают во время II цикла размножения и составляют около 10 тыс. экз/га/сутки, затем до конца июля они поддерживаются примерно на одном уровне и могут снижаться в августе в связи с откочевкой птиц в другие биотопы.

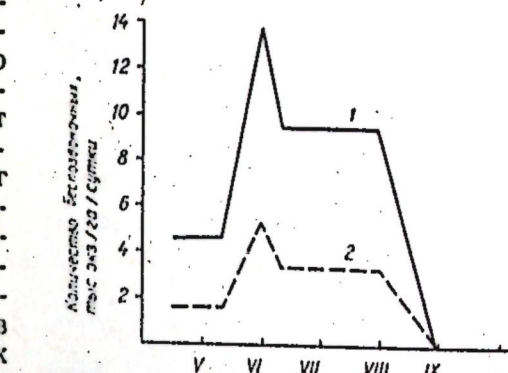


Рис. 5. Темпы изъятия беспозвоночных полевым воробьем в саду (в 1986 г.)

Птицы начинают кормиться на тех деревьях, где плотность гусениц листоверток приближается к пороговой (5—6 экз на 100 розеток листьев или 140—170 экз на дерево), и тогда воздействие их на вредителя данного дерева возрастает. Порог кормовой активности, т. е. та низкая плотность гусениц, при которой птицы перелетают на другое дерево, определяется степенью птилистости распределения вредителя на участке. Высокая степень адаптации птиц к нахождению корма позволяет им быстро отыскивать эти участки и воздействовать в первую очередь на очажки повышенной плотности вредителя. Эта очень важная черта кормового поведения птиц имеет большое практическое значение. В целом за весь период гнездования (100 дней) только полевого воробья уничтожает около 1 млн. экз беспозвоночных с каждого гектара, в том числе около 350 тыс. экз листоверток. Следует отметить, что плотность гнездования полевого воробья повышается и за счет дополнительной развески ИГ, ее можно увеличить до 10 пар/га. Вследствие этого темпы изъятия беспозвоночных птицами удваиваются и увеличивается пресс на вредных насекомых.

В заключение надо отметить, что исследования различных методов обогащения орнитофауны искусственных древесных насаждений будет способствовать дальнейшему снижению использования ядохимикатов и улучшению экологической обстановки в регионе.

ЛИТЕРАТУРА

- Ганя И. М., Литвак М. Д. Птицы — истребители вредных насекомых. Кишинев, 1976.
- Ганя И. М., Литвак М. Д., Бучучану Л. С. // Мат. XI Прибалт. орнитол. конференции. Вильнюс, 1976. С. 21—23.
- Иноземцев А. А. Роль насекомоядных птиц в лесных биоценозах. Л., 1978.
- Рыжановский В. Н. // Оптимальная плотность и оптимальная структура популяций животных. Свердловск, 1970. Вып. 2. С. 48—65.
- Шварц С. С. Популяционная структура биоценоза // Изв. АН СССР. Серия биол. наук. 1971, № 4. С. 485—493.
- Щеголев В. И. // Методики исследования продуктивности и структуры видов птиц в пределах их ареалов. Вильнюс, 1977. Ч. I. С. 95—102.

Резумат

Ви лукрая де фацэ се комунікэ учене дате ку привире ла компоненца спечнилор ши нумэрул пэсэрилор дин ливезиле индустріале пынэ ши дупэ ефектуаря диферителор процедес де атражере а збуртоарелор ши мішораря пестичиделор ын агроченозеле по- міколе. Се дескрип. карактерул фолосирий

В. В. ДЕРЖАНСКИЙ

РЕЗЕРВАЦИИ РЕДКИХ ВИДОВ ПОЛУЖЕСТКОКРЫЛЫХ НА КАМЕНІСТЫХ СКЛОНАХ ИЗВЕСТНЯКОВЫХ ГРЯД МОЛДАВІИ

В связи с возрастающим влиянием антропогенного фактора на энтомофауну вопрос сохранения видов насекомых, в частности из отряда полужестокрылых, приобретает особое значение. Причины сокращения численности и исчезновения ряда видов самые разные, среди них — деградация и уничтожение естественных биоценозов.

Каменистые склоны известняковых гряд, простирающихся на территории Молдавии отдельными участками вдоль рек Днестр, Прут, Реут, Икель и других, в наименьшей степени подверглись хозяйственной деятельности человека и сохранили свой естественный облик. Так, по данным Гейдеман [1], флора известняковых гряд (толтр) является относительно богатой, и насчитывает 310 видов цветковых растений и папоротников. Из них 34 вида характерны для толтр и не встречаются в других биотопах. Кроме того,

кэсуцелор артифичиале, биология репродукций ачестора, дателе фенологиче ши ефіценца ынмулцир пе сектоаре ку диферит град де апликаре а субстанцелор токсиче. Са стабилит компоненца трофикэ а пэсэрилор инсективоаре дин ливезиле ши ролул ачестора ын комбатера комплекса дэнэторилор фітофажъ.

Summary

The data on species composition and number of birds in the production-scale orchards are being presented accounting for pre- and post-activities taken to attract them and to decrease pesticides load on arboreous agroecosystem. The description is given to AN usage by birds, to their nesting biology, to phenophases and the efficiency of their reproduction on the areas with various degrees of pesticides application. The nutrient composition for insectivorous birds in orchards has been revealed. Special attention is given to the role of birds in the complex orchards protection against pests-phytophages.

Институт зоологии и физиологии АН МССР,
ВНИИ биологических методов
защиты растений

Поступила 09.02.89

Распределение полужестокрылых в биотопах каменистых склонов

Семейство, вид	Биотоп			Тип ареала
	I	II	III	
	2	3	4	5
Сем. Nabidae				
<i>Prostemma aeneicolle</i> Stein	—	—	о	E
<i>Alloeorhynchus flavipes</i> Fieb.	—	о	р	C
<i>Himacerus apterus</i> F.	—	о	о	P
<i>Aptus mirmicoides</i> Costa	—	о	о	P
<i>Nabis ferus</i> L.	о	о	о	P
<i>N. punctatus</i> Costa.	о	о	о	P
<i>N. pseudoferus</i> Rem.	о	о	о	Ec
<i>N. rugosus</i> L.	р	м	о	Ec
Сем. Anthocoridae				
<i>Anthocoris nemoralis</i> F.	—	о	—	C
<i>Orius niger</i> Wolff	—	о	—	P
<i>O. minutus</i> L.	о	м	—	P
Сем. Miridae				
<i>Macrolophus nubilus</i> H.-S.	—	—	—	P
<i>Deraeocoris punctulatus</i> Fall.	—	о	о	G
<i>D. serenus</i> Dgl. Sc.	—	о	о	P
<i>D. ruber</i> L.	—	о	—	G
<i>Capsus ater</i> L.	—	о	—	P
<i>Charagochitlus gyllenhalii</i> Fall.	—	о	—	G
<i>Polymerus holosericeus</i> Hahn	—	—	—	P
<i>P. brevicornis</i> Reut.	—	—	—	G
<i>P. asperulae</i> Fieb.	—	—	—	P
<i>P. unifasciatus</i> F.	—	—	—	G
<i>P. cognatus</i> Fieb.	—	—	—	P
<i>P. vulneratus</i> Wolff	—	—	—	G
<i>Lygocoris pabulinus</i> L.	—	—	—	P
<i>L. viridis</i> Fall.	—	—	—	G
<i>L. lucorum</i> M.-D.	—	—	—	P
<i>Lygus rugulipennis</i> Popp.	—	—	—	G
<i>L. pratensis</i> L.	—	—	—	P
<i>L. gemellatus</i> H.-S.	—	—	—	G
<i>Orthops campestris</i> L.	—	—	—	P
<i>O. basalis</i> Costa	—	—	—	G
<i>P. kalmi</i> L.	—	—	—	P
<i>Liocoris tripustulatus</i> F.	—	—	—	G
<i>Calocoris fulvomaculatus</i> De G.	—	—	—	P
<i>Adelphocoris seticornis</i> F.	—	—	—	P
<i>A. lineolatus</i> Gz.	—	—	—	G
<i>A. vandalicus</i> Rossi	—	—	—	P
<i>A. quadripunctatus</i> F.	—	—	—	G
<i>Phytocoris varipes</i> Boh.	—	—	—	P
<i>Ph. insignis</i> Reut.	—	—	—	G
<i>Stenodema calcaratum</i> Fall.	—	—	—	P
<i>S. laevigatum</i> L.	—	—	—	G
<i>Notostira erratica</i> L.	—	—	—	P
<i>Megaloceraea recticornis</i> Geoffr.	—	—	—	G
<i>Trigonotylus ruficornis</i> Geoffr.	—	—	—	P
<i>T. coelestium</i> Kirk.	—	—	—	G
<i>Leptopterna albescens</i> Reut.	—	—	—	P
<i>L. dolabrata</i> L.	—	—	—	G
<i>Orthocephalus saltator</i> Hahn	—	—	—	P
<i>O. vittipennis</i> H.-S.	—	—	—	G
<i>Strongylocoris leucocephalus</i> L.	—	—	—	P
<i>Halticus luteicollis</i> Pz.	—	—	—	G
<i>H. apterus</i> L.	—	—	—	P
<i>Globiceps fulvicollis</i> Jak.	—	—	—	G
<i>Heterocordylus tumidicornis</i> H.-S.	—	—	—	P
<i>Orthotylus flavosparsus</i> C. Sahlb.	—	—	—	G
<i>Hallodapus montandoni</i> Reut.	—	—	—	P
<i>Omphalonotus quadriguttatus</i> Kbm.	—	—	—	G
<i>Systellonotus triguttatus</i> L.	—	—	—	P
<i>Oncotylus setulosus</i> H.-S.	—	—	—	G
* <i>Eurycolpus flaveolus</i> Stal.	—	—	—	P
<i>Macrotylus herrichi</i> Reut.	—	—	—	G

Продолжение табл.

1	2	3	4	5
<i>Macrotylus horvathi</i> Reut.	—	—	P	E
<i>Compsidolon absinthii</i> Scott	P	—	—	S
<i>Amblytylus nassutus</i> Kbm.	—	P	—	G
<i>Phylus melanocephalus</i> L.	—	O	—	E
<i>Psallus perrisi</i> M. R.	—	O	—	P
<i>P. diminutus</i> Kbm.	—	O	—	C
<i>Atractotomus mali</i> M.-D.	—	O	—	S
* <i>Criocoris crassicornis</i> Hahn	—	O	—	P
<i>Plagiognathus alpinus</i> Reut.	—	O	—	E
<i>P. chrysanthemi</i> Wolff	—	O	—	C
<i>P. fulvipennis</i> Kbm.	—	O	—	S
<i>P. arbustorum</i> F.	—	O	—	P
<i>P. albipennis</i> Fall.	M	M	M	G
<i>Chlamydatus pulicarius</i> Fall.	M	M	M	K
<i>Ch. pullus</i> Reut.	—	M	M	C
<i>Campylomma verbasci</i> M.-D.	O	O	O	S
Сем. Tingidae	—	—	—	P
* <i>Kalama strichnocera</i> Fieb.	e	—	—	P
* <i>Elasmotropis testacea</i> H.-S.	P	—	—	P
<i>Lasiacantha capucina</i> Germ.	M	—	—	P
<i>Tingis reticulata</i> H.-S.	—	O	—	P
<i>T. cardui</i> L.	—	O	—	P
<i>T. maculata</i> H.-S.	—	O	—	P
* <i>Catoplatus carthusianus</i> Gz.	—	O	—	P
* <i>C. horvathi</i> Put.	—	O	—	P
<i>Copium clavicone</i> L.	—	O	—	P
<i>C. teucrii</i> Host	—	O	—	P
<i>Oncochila simplex</i> H.-S.	—	O	—	P
<i>O. scapularis</i> Fieb.	—	O	—	P
<i>Dictyla platyoma</i> Fieb.	—	O	—	P
<i>D. echii</i> Schrk.	—	O	—	P
<i>D. rotundata</i> H.-S.	—	O	—	P
Сем. Reduviidae	—	—	—	P
<i>Rhynocoris annulatus</i> L.	—	—	—	P
<i>Phymata crassipes</i> F.	—	—	—	P
Сем. Piesmatidae	—	—	—	P
<i>Piesma capitatum</i> Wolff	—	—	—	P
<i>P. maculatum</i> Lap.	—	—	—	P
Сем. Berytidae	—	—	—	P
<i>Berytinus minor</i> H.-S.	—	—	—	P
Сем. Lygaeidae	—	—	—	P
<i>Tropidothorax leucopterus</i> Gz.	o	o	o	E
<i>Lygaeus equestris</i> L.	—	—	—	P
<i>Nysius ericae</i> Schill.	—	—	—	P
<i>N. thymi</i> Wolff	—	—	—	P
<i>N. senecionis</i> Schill.	—	—	—	P
<i>Ortholomus punctipennis</i> H.-S.	—	—	—	P
* <i>Geocoris gryloides</i> L.	—	—	—	P
<i>G. erythrocephalus</i> Lep.	—	—	—	P
<i>Heterogaster artemisiae</i> Schill.	—	—	—	P
<i>Platyplax salviae</i> Schill.	—	—	—	P
* <i>Camptotelus lineolatus</i> Schill.	—	—	—	P
<i>Metopoplax origani</i> Kol.	—	—	—	P
* <i>Macroplax preussleri</i> Fieb.	—	—	—	P
<i>Oxycarenus pallens</i> H.-S.	—	—	—	P
<i>Tropistethus holosericeus</i> Scholtz	—	—	—	P
<i>Ischnocoris hemipterus</i> Schill.	—	—	—	P
<i>Scolopostethus decoratus</i> Hahn	P	—	—	E
<i>Beous quadripunctatus</i> Müll.	—	—	—	S
<i>Raglius alboacuminatus</i> Gz.	—	—	—	P
<i>Rhyparochromus pini</i> L.	—	—	—	P
* <i>Rh. phoeniceus</i> Rossi	—	—	—	P
<i>Peritrechus geniculatus</i> Hahn	—	—	—	P
<i>P. gracilicornis</i> Put.	—	—	—	P
<i>Megalonotus chiragra</i> F.	—	—	—	P
<i>Pterotmetus staphyliniformis</i> Schill.	—	—	—	P
<i>Trapezonotus arenarius</i> L.	—	—	—	P
<i>Emblethis verbasci</i> F.	P	—	—	P

Продолжение табл.

1	2	3	4	5
<i>Emblethis griseus</i> Wolff	—	o	—	G
Сем. Pyrrhocoridae	—	m	m	G
<i>Pyrrhocoris apterus</i> L.	—	—	—	C
<i>P. marginatus</i> Kol.	—	—	—	S
Сем. Coreidae	—	o	—	P
<i>Gonocerus acuteangulatus</i> Gz.	—	—	—	E
<i>Syromastus rhombeus</i> L.	—	—	—	C
<i>Coreus marginatus</i> L.	M	—	—	P
<i>Enoplops scapha</i> F.	—	—	—	E
<i>Coriomeris denticulatus</i> Scop.	—	—	—	C
Сем. Alydidae	—	o	—	P
<i>Alydus calcaratus</i> L.	—	o	—	G
Сем. Rhopalidae	—	o	—	P
<i>Corizus hyoscyami</i> L.	—	o	—	P
<i>Brachycarenus tigrinus</i> Schill.	—	o	—	K
<i>Rhopalus subrufus</i> Gmel.	—	o	—	C
<i>Rh. conspersus</i> Fieb.	—	—	—	P
* <i>Rh. distinctus</i> Sign.	—	—	—	P
<i>Rh. parumpunctatus</i> Schill.	—	—	—	P
<i>Stictopleurus punctatonervosus</i> Gz.	—	—	—	P
<i>S. crassicornis</i> L.	—	—	—	P
<i>S. abutilon</i> Rossi	—	—	—	P
<i>Myrmus miriformis</i> Fall.	—	—	—	P
Сем. Plataspidae	—	—	—	P
<i>Coptosoma scutellatum</i> Geofir.	—	—	—	P
Сем. Cydnidae	—	—	—	P
<i>Thyreocoris scaraboides</i> L.	—	—	—	E
<i>Canthophorus melanopterus</i> H.-S.	—	—	—	C
<i>Tritomegas sexmaculatus</i> Ramb.	—	—	—	S
Сем. Scutelleridae	—	—	—	P
* <i>Odontoscelis hispidula</i> Jak.	—	—	—	P
<i>Odontotarsus purpureolineatus</i> Rossi	—	—	—	P
<i>Psacasta exanthematica</i> Scop.	—	—	—	P
<i>Eurygaster integriceps</i> Put.	—	—	—	P
Сем. Pentatomidae	—	—	—	P
* <i>Vilpianus galii</i> Wolff	—	—	—	P
<i>Graphosoma lineatum</i> L.	—	—	—	C
<i>Sciocoris cursitans</i> F.	—	—	—	E
<i>Aelia acuminata</i> L.	—	—	—	C
* <i>Neottiglossa leporina</i> H.-S.	—	—	—	S
* <i>N. pusilla</i> Gmel.	—	—	—	C
* <i>Stagonomus pusillus</i> H.-S.	—	—	—	E
<i>S. bipunctatus</i> L.	—	—	—	C
<i>Rubiconia intermedia</i> Wolff	—	—	—	S
* <i>Starta lunata</i> Hahn	—	—	—	C
<i>Dolycoris baccarum</i> L.	—	—	—	E
<i>Carpocoris purpureipennis</i> De G.	—	—	—	C
<i>C. fuscipennis</i> Boh.	—	—	—	S
<i>C. pidicus</i> Poda	—	—	—	C
<i>Holcostethus vernalis</i> Wolff	—	—	—	S
<i>Palomena prasina</i> L.	—	—	—	C
<i>Eurydema ornata</i> L.	—	—	—	S
<i>E. oleracea</i> L.	—	—	—	C
* <i>Jalla dumosa</i> L.	—	—	—	S
* <i>Pinthaeus sanguinipes</i> F.	—	—	—	E
<i>Zicrona caerulea</i> L.	—	—	—	G

Условные обозначения: м — массовый вид; о — обычный (отмечен в большей части проб); р — вид встречается редко; е — отмечены единичные особи (за все годы исследований); прочерком (—) обозначено отсутствие сведений. Типы ареалов полужесткокрылых: К — космополитный, Г — голарктический, П — палеарктический, Ес — европейско-сибирский, Е — европейский, С — средиземноморский, Ск — скандийский.

тых каменистых склонах с господством в древесном ярусе видов дуба (*Quercus*), клена (*Acer*), вяза (*Ulmus*), на лесных полянах и опушках обычны ксеромезофиты (*Euphorbia*, *Artemisia*,

Geranium и др.); III — каменистые склоны с зарослями кустарников (*Cotinus*, *Crataegus*, *Rosa*, *Prunus*). Приуроченность полужесткокрылых к этим биотопам показана в табл.

Проведенные исследования позволили выявить в энтомофауне толтр 173 вида полужестокрылых. Наиболее богат в видовом отношении гемиптерокомплекс лесных биотопов (112), меньше видов среди кустарниковых (93) и на безлесных каменистых склонах (84). Видов, характерных для каменистых склонов, не отмеченных нами в других условиях обитания региона (в табл. обозначены звездочкой), всего 19. Это в основном ксеротермофилы (*Criocoris crassicornis* Hahn, *Macropalax preyssleri* Fieb., *Jalla dumosa* L. и др.) или моно- и олигофаги, трофически связанные со своими кормовыми растениями (*Eurycolpus flaveolus* Stål, *Caloplatus carthusinus* Gz., *Vilpianus gallii* Wolff и др.). Из них *Eurycolpus flaveolus* Stål ранее был известен в СССР только на Кавказе [4]. Некоторые виды (*Copium clavicornis* L., *C. teucrui* Host, *Pyrrhocoris marginatus* Kol., *Sciocoris cursitans* F. и др.), встречающиеся в южной части Молдавии на остепненных участках, в центре и на севере, тяготеют к толтрам.

Зоogeографический анализ отмеченных видов показал, что соотношение по типам ареалов такое же, как и гемиптерофауны региона в целом. Так, около половины (54,3%) составляют широко распространенные палеарктические виды, велика доля средиземноморских (27,2%) и европейских (16,2%) видов. Степных (скифский тип ареала) и космополитных видов соответственно 1,7 и 0,6%. Общий облик фауны клопов каменистых склонов более близок к средиземноморскому типу, о чем свидетельствуют результаты сравнения видового состава толтров и барадже — ксеротермных биотопов Северной Италии. Из 156 видов клопов, собранных в природном парке Валлет Тичино [5], 65 являются общими и для толтров Молдавии.

Таким образом, фауна клопов толтров очень своеобразна, среди них много редких и исчезающих видов, составляющих важную часть генофонда региона. Охрану этих видов целесообразно осуществлять посредством мер, направленных на сохранение биотопов каменистых склонов.

ЛИТЕРАТУРА

- Гайдман Т. С. // Флористические и геоботанические исследования в Молдавии. Кишинев, 1980. С. 28—36.
- Держанский В. В. Настоящие полужестокрылые (Heteroptera) Молдавии: Автореф. дис. ... канд. биол. наук. Кишинев, 1985.
- Держанский В. В. // Изв. АН МССР. Сер. биол. и хим. наук. 1987. № 3. С. 46—49.
- Держанский В. В. Грамма В. Н. // Вестн. зоол. 1986. № 3. С. 86.
- Mauro V. // Bol. Soc. entomol. Ital. 1985. Vol. 117. N 8—10. P. 141—154.

Резумат

Биоценозеле ланцурилор де калкар (толтрапор) де пе територул Молдовей ау фост супусе активитец умане ынтр' мэсурэ май мицэ, чея че а кондиционат скимбара май slabэ а спектулуй лор примар. Ын энтомофауна толтрапор ау фост ынрејистрате 173 спечий де плошнице. Анич се ынтылниск мулте спечий раре, каре репрезинтэ о парте ынсемнатэ ал фондулуй женетик рејионал. Окторица ачестор спечий е рационал де реализат прин мэсурите ындрептат спре менцинеря биотопуратор пантелор петроасе.

Summary

Bioocoenosis of the limestone ridges on the territory of Moldavia were in the least degree subjected to human activity, that promoted the preservation of their original aspect. 173 species of bugs were found in the entomofauna of stony slopes. There are many rare species among them, which consist the substantial part of the regional genofund. Protection of these species must be realized by measures directed to the preservation of biotopes of stony slopes.

Институт зоологии
и физиологии АН МССР

Поступила 21.12.88

ФИЗИОЛОГИЯ И БИОХИМИЯ ЧЕЛОВЕКА И ЖИВОТНЫХ

Н. С. МАРЗАНОВ, П. И. ЛЮЦКАНОВ

ГРУППОСПЕЦИФИЧЕСКИЕ ФАКТОРЫ КРОВИ ОВЕЦ И ИХ ИСПОЛЬЗОВАНИЕ В СЕЛЕКЦИОННО-ПЛЕМЕННОЙ РАБОТЕ

Выяснение внутренней дифференциации, предшествующих породообразовательных процессов, генеалогического родства и взаимовлияния, оценка методов внутрипородного совершенствования возможны лишь при использовании иммуногенетических методов исследования. Однако применение этих методов в практике овцеводства осуществимо при наличии моноспецифических сывороток-реагентов, получение которых представляет сложный процесс. Одним из важнейших условий, обеспечивающих успех производства тест-сывороток, является подбор овец-продуцентов, так как животные далеко неравноценны и по антигенному составу, и по иммунореактивности. У многих животных вообще не образуются антитела при введении антигенов, отсутствующих в их собственных эритроцитах. Это приводит к непроизводительной затрате рабочего времени и труда при иммунизации и анализе ее результатов [2, 4, 6].

Для получения сывороток с определенными антителами желательно иметь донорское стадо, у которого известен антигенный состав. Это позволяет проводить направленную внутримышечную иммунизацию. В нашем опыте такая иммунизация проводилась на овцах двух пород — остфризской и цигайской, а также их помесей, аттестованных по 6 системам групп крови (A, B, C, D, M, R). Донорское стадо условно поделили на две группы: доноров (взрослые бараны цигайской и остфризской породы) и реципиентов (чистопородные остфризские и помесные животные). Исходя из того, что овцы-реципиенты вырабатывают антитела именно к тем антигенным факторам эритроцитов донора, которых нет в его собственных эритроцитах, был проведен

подбор пар доноров-реципиентов для проведения направленной внутримышечной иммунизации. Ожидалась выработка антител против антигенов: Aa, Ab, Bb, Bd, Bg, Be, Ca, Cb, Ma, Da, имевшихся у всех доноров, закрепленных за выделенными группами реципиентов. Реципиентам внутримышечно с интервалом 7 дней вводили по 20 мл цельной крови. В качестве консерванта для крови использовали следующий состав: натрий лимоннокислый трехзамещенный — 30,0 г; глюкоза — 10,0 г; альбуцид — 5,0 г; риванол — 5,0 мг на 1000 мл дистиллированной воды. После стабилизации раствор доводили аскорбиновой кислотой до pH=7,0. Одновременно нами исследовано влияние возраста, породы и пола на иммунореактивность животных. Внутрипородные иммунизации проводили на чистопородных остфризах, межпородные — на цигайских и остфризских овцах. Всего было иммунизировано 344 головы овец различных пород и помесей.

При изучении влияния возраста и породы на иммунореактивность животных установлено, что при внутрипородной иммунизации (остфриз—остфриз) реактивными оказались 46,2%, межпородной: цигай—остфриз и цигай—помеси—цигай×остфриз; остьфриз—помеси—цигай × остьфриз — 63,2% животных. У животных 12-месячного возраста количество высокореактивных составило 74,2% от всех иммунизированных животных, что на 27,6% больше по сравнению с животными 4-месячного возраста. Следует отметить, что у реципиентов 4-месячного возраста максимальный титр достигал 1:64, а у 12-месячных — 1:256. Не выявляется четкой закономерности антителообразования в зависимости от дозы антигена.

В результате исследования зависи-

ности степени реактивности от пола животных нами установлено, что иммунологически наиболее активными оказались женские особи (94,4 против 87,5% у мужских особей), донорами в обеих половозрастных группах являлись бараны. Иммунологическая реактивность при внутрипородной иммунизации у продуцентов была значительно ниже (на 17,4%), чем при межпородной. Данные реиммунизации подтвердили ее эффективность [1]. Реиммунные сыворотки имели более высокий титр и из них абсорбцией получено больше моноспецифических сывороток.

В настоящее время методом внутрипородной и межпородной изоиммунизации нами накоплен банк овечьих реагентов, состоящий из 15 моноспецифических сывороток и 2 экспериментальных 6 систем групп крови. Данные сыворотки неоднократно проверялись с помощью донорского стада Молдавского НИИ животноводства и ветеринарии, а также семейным анализом при определении достоверности происхождения. В процессе изучения групп крови у овец выявлено, что антигены по их иммуногенности можно разделить на четыре группы: I — сильные антигены, Aa и Ab (A-система), Bb (B-система), Ca (C-система); II — антигены со средней иммуногенностью — Bd, Be₂, Bi (B-система), Cb (C-система); III — слабые антигены — Bg, Be₁ (B-система), Ma (M-система), Da (D-система); IV — антигены R и O (R-система), выявленные с помощью естественных антител.

Результаты по иммуногенности антигенов получены экспериментальным путем на основе направленной иммунизации животных. Так, если для получения антисывороток к антигенам I группы достаточно 3—4 инъекций, то для получения сывороток против антигенов II и III групп — 5—8, а иногда и 10 инъекций.

Совместными исследованиями с Институтом цитологии и генетики СО АН СССР и Сибирским научно-исследовательским проектно-технологическим институтом животноводства обнаружено, что сыворотки для изучения R-системы (анти-R-антитела) трудно получить в условиях Молда-

вии и Северного Кавказа, тогда как в Сибири и средней полосе России (Ивановский с.-х. ин-т) не представляет особой трудности. Из 52 сывороток крови цигайских овец установлен анти-R агглютинин лишь у одной, из 125 местных каракульских овец анти-R гемолизин найден тоже у одной особи. 31 сыворотка содержала анти-R агглютинин с низким титром, а анти-O антитело получено из козьих сывороток: из 11 коз местной популяции искомое антитело обнаружено у 4 с титрами 1:2 и 1:4.

Наиболее широкое применение группы крови нашли при определении достоверности происхождения ягнят. Так, на племзаводе «Победа» Булканештского района и в совхозе «Заря» Новоаненского района с 1987 г. проводятся исследования, в основе которых лежит принцип наличия триад: отец — мать — потомок.

Мы исходим из того, что потомок должен содержать по одному из двух аллелей отца и матери. Отцовство можно исключить (при условии, если материнство не вызывает сомнений) в следующих случаях: потомок имеет групповой антиген крови (или другой генетический маркер), не представленный ни у одного из родителей; у потомка отсутствует антиген, который представлен у предполагаемого гомозиготного отца; потомок гомозиготен по антигену, отирующему у предполагаемого отца. Этот тип исключения родства распространяется на все системы. Однако тут имеет место и некоторое отклонение. Оно касается R-системы, которая не применяется для определения достоверности происхождения или применяется очень осторожно из-за сложного генотипа и эпистазирования R-системы I системой групп крови.

В целом цами установлены пределы недостоверности — 13,6—27,3%, а всего исследовано 538 триад, или 998 голов, из них 28 триад двоен. Путем исследования этих животных тестом на мозаичность по группам крови не оказалось ни в одном случае частичного гемолиза, что говорит об отсутствии в изученных триадах монозиготных особей. Следует отметить, что у овец встречаемость монозиготности двоен очень низка, даже у многоплод-

ных овец финский ландрас она встречается у 1 на 100, а у других пород овец и того меньше — 1 на 1000 [5].

На базе триад одновременно выявлялись генотипы по группам крови, подсчитаны частоты встречаемости феногрупп и аллелей у овец цигайской породы. Наиболее высокая частота встречаемости генотипов по A-системе отмечалась по гомозиготам A^{a/a} и A^{-/-} — 0,407 и 0,235, и наименьшая по A^{a/b} и A^{a/b/-} — 0,012 и 0,012. Что касается встречаемости аллелей, то чаще всех отмечались частоты A^a и A⁻ — соответственно 0,549 и 0,340.

По B-системе наиболее часто встречаемым оказался генотип B^{b/b} — 0,543, а по частоте аллелей — B^b (0,667) и B⁻ (0,204). По C-системе — соответственно C^b (0,667) и C⁻ (0,179), из генотипов C^{b/b}. По D-системе — генотип D^{a/a} и D^{a/-} — соответственно 0,640 и 0,320, чаще всего встречается аллель D^a (0,632). В R-системе, наряду с высокой встречаемостью генотипа Rr (0,467) и rr (0,395), распределение аллелей было таким: R (0,371) и r (0,629). В I системе частоты встречаемости генотипов составляли: Ii — 0,465, II — 0,399 и ii — 0,136, а частота встречаемости соответственно I — 0,631 и i — 0,369.

Общая гомозиготность, вычисляемая по методике Матоушека [2] на основе полученных частот аллелей, составила 54,13%. Число феногрупп по всем 6 системам составило 18.

Одновременно исследовалась встречаемость антигенов групп крови по 7 известным системам для выяснения филогенетической связи между породами, помесями изученных пород овец. Анализ данных, полученных по методу Серебровского [3], показал, что наиболее близкими друг другу оказались помеси первого поколения остифриз × цигай и цигайская порода, затем помеси цигай × остифриз, остифризская и кавказская породы. Вместе они составили один кластер.

В другом кластере находилась каракульская порода овец, разводимая в Узбекистане. К сожалению, мы не располагаем пока данными по молдавскому каракулю и местной овце, известной в народе под названием цушка.

В наших исследованиях получена интересная закономерность по Ma-ан-

тигену. Известно, что он вместе с Mb-антителом участвует в регуляции калиево-натриевого насоса в эритроцитах овец. Установлено: там, где высокий уровень калия (HK), всегда присутствует Ma-, а там где низкий уровень (LK) — Mb-антитело. Так, у овец кавказской породы с тонкорунной шерстью уровень Ma-антитела составил всего 17,2%, у полутонкорунных (цигайская) — 65,2, а у остифризской и узбекского каракуля — 66,2 и 96,4% соответственно. Исходя из этого нами сделан вывод о том, что чем грубее шерсть у овец, тем выше встречаемость антигена Ma. Аналогичная закономерность ранее была установлена по уровню калия у овец [7].

Таким образом, впервые по 7 системам групп крови на примере цигайской породы проведена генетическая характеристика овец. Подсчитаны частоты антигенов, аллелей генотипов в пределах каждой системы. На основе частот аллелей выявлена степень гомозиготности по породе, число феногрупп, определена недостоверность происхождения ягнят.

ЛИТЕРАТУРА

- Марзанов Н. С. Группы крови овец кавказской породы и методы изоиммунизации для получения моноспецифич. сывороток: Автореф. дис. ... канд. биол. наук. Ставрополь, 1982.
- Матоушек И. Группы крови у крупного рогатого скота. Киев, 1964. С. 148.
- Серебровский А. С. Генетический анализ. М., 1970. С. 342.
- Тихонов В. Н. Использование групп крови при селекции животных. М., 1967. С. 392.
- Hojny J., Stratil A.//Anim. Blood Groups Biochem. Genet. 1978. Vol. 9. N 4. P. 245—251.
- Schmid D. O.//Zbl. Vet. Med. 1971. Bd. 18. S. 430—440.
- Rasmussen B. A.//Animal Genetics. 2 ed. J. Wiley and Sons/Hutt F. B., Rasmussen B. A. 1982. Chapter 21. P. 488—507.

Резумат

Артикул дат кончине результателе студиерий групелор де сунже ла овиеши методеле фолосирий лор ла селекционаря ани-малелор де преисле ын кондициине Молдовей.

Summary

The article provides the results of investigation of blood groups of sheep and their application in selection in Moldavia.

Молдавский НИИ животноводства и ветеринарии

Поступила 27.02.89

МЕДИЦИНА

В. В. РЕМИШ, В. В. ВАЛИКА

ФАРМАКОКИНЕТИКА ИЗОНИАЗИДА В РАСТВОРАХ ПОЛИВИНИЛПИРРОЛИДОНА

Изониазид — гидразид изоникотиновой кислоты — основной представитель производных изоникотиновой кислоты, нашедших применение в качестве противотуберкулезных средств. В последнее время возрос интерес к изониазиду как средству, обладающему свойствами образовывать хелатные комплексы с ионами биогенных металлов, рассматривается возможность его эффективного применения в хелатотерапии [1, 2, 5, 6].

Настоящая работа посвящена экспериментальному фармакокинетическому исследованию изониазида спектрофотометрическим методом после его внутрибрюшинного введения в форме раствора с высокомолекулярным соединением — поливинилпирролидоном (ПВП).

Водорастворимый синтетический полимер — ПВП получают в результате осуществления процесса полимеризации N-винилпирролидона. Изменяя условия синтеза и фракционируя готовый препарат, можно выделить ПВП с различным фармакодинамическим действием. Для медицинского применения используются три препарата ПВП: низкомолекулярный (м. в. до 28000), среднемолекулярный (м. в. 28000—60000), высокомолекулярный (м. в. 75000—100000). ПВП низкомолекулярный обладает более высокими адсорбционными свойствами, даже в сравнении с белками крови. Он соединяется с токсическими веществами, красками и т. п. Эти вещества плохо проходят через почечный барьер, а в комплексе с ПВП легко выводятся из организма [3].

Целью исследования является определение возможности применения изониазида и ПВП с различным молекулярным весом совместно в одном раст-

воре. Для этого были исследованы 1% изотонированные растворы изониазида в воде и в 6% растворах ПВП с молекулярными весами 12600 ± 2700 и 8000 (ПВП-н).

Материалы и методы

30 кроликам породы Щиншилла со средней массой $2,0 \pm 0,1$ кг вводили внутрибрюшинно растворы изониазида из расчета по 25 мг на килограмм массы животного. Отбор крови производили из краевой ушной вены через определенные интервалы времени после введения препаратов. Концентрацию активного изониазида в сыворотке крови определяли по методике, предложенной Шендеровой [4], в нашей модификации. При изучении спектра поглощения комплекса изониазида с ванадатом аммония (рис. 1) наибольшая область поглощения отмечалась при $424 \pm 2,0$ нм, в связи с чем в качестве аналитической длины волн был избран максимум при 424 нм.

Для определения изониазида в сыворотке крови пробы помещали в термостат при температуре 37°C на 30 мин и после свертывания центрифугировали со скоростью 3000 об/мин. Из каждой пробы отбирали по 2 мл сыворотки и помещали в мерные пробирки, добавляли по 1 мл воды, 1 мл 30% раствора трихлоруксусной кислоты, взбалтывали и центрифугировали. По 2 мл центрифугата переносили в мерные пробирки, подщелачивали по фенолфталеину 10% раствором едкого натра, затем подкисляли 1 N раствором серной кислоты до исчезновения окрашивания. Объем пробы снова доводили водой до 4 мл, добавляли по 2 мл 0,1% раствора ванадата аммония и измеряли оптическую плотность.

Целью исследования является определение возможности применения изониазида и ПВП с различным молекулярным весом совместно в одном раст-

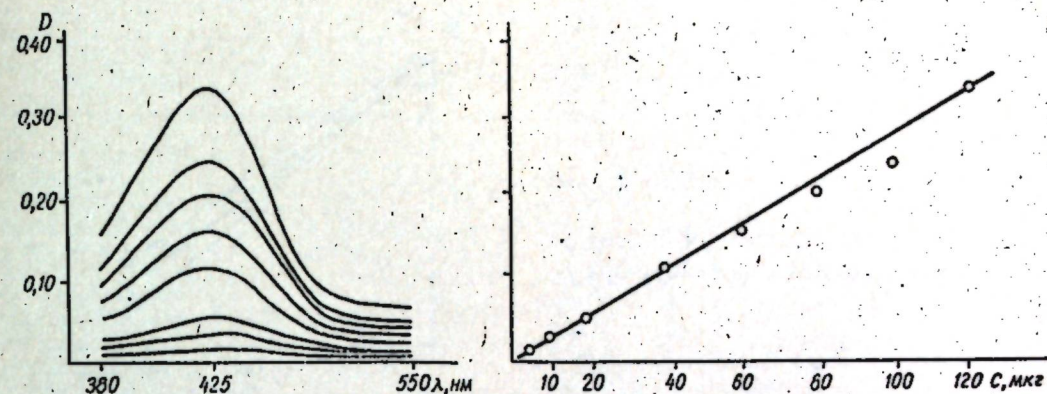


Рис. 1. Спектры поглощения комплекса ванадия (V) со стандартными концентрациями изониазида в сыворотке крови.

Рис. 2. Калибровочный график определения изониазида в крови

через одну минуту измеряли оптическую плотность окрашенного раствора на спектрофотометре в кювете с толщиной слоя 10 мм при длине волны 424 нм. Для сравнения проводили контрольный опыт. Концентрацию активного изониазида рассчитывали по уравнению калибровочной кривой (4).

Приготовление рабочих стандартов и построение калибровочной кривой. Точную навеску (0,020 г) изониазида помещали в мерную колбу на 500 мл, растворяли водой и доводили до метки. Учитывая возможную концентрацию препарата в исследуемых растворах, приготовили серию растворов известной концентрации. Для этого в ряд пробирок вносили 0,125; 0,25; 0,5; 1,0; 1,5; 2,0; 3,0 мл стандартного раствора, объем каждой пробы доводили до 3 мл, добавляли по 1 мл раствора трихлоруксусной кислоты и взбалтывали. В другой ряд пробирок переносили по 2 мл полученных растворов, подщелачивали по фенолфталеину 10% раствором едкого натра, затем подкисляли 1 N раствором серной кислоты до исчезновения окрашивания. Объем пробы снова доводили водой до 4 мл, добавляли по 2 мл 0,1% раствора ванадата аммония и измеряли оптическую плотность.

Расчет калибровочной кривой проводили методом наименьших квадратов, предполагая линейную зависимость оптической плотности в данном интервале от концентрации изониазида (табл. 1).

Полученная кривая описывалась уравнением:

$$y = ax + b, \quad (1)$$

где a и b — неизвестные величины, определение которых проводили по формулам (2) и (3):

$$a = \frac{m \cdot \sum_{i=1}^m x_i y_i - \sum_{i=1}^m x_i \cdot \sum_{i=1}^m y_i}{m \cdot \sum_{i=1}^m x_i^2 - \left(\sum_{i=1}^m x_i \right)^2}, \quad (2)$$

Таблица 1. Данные для построения калибровочной кривой определения изониазида в сыворотке крови

Стандарт изониазида, мкг/2 мл	Показания спектрофотометра		
		x_i	y_i
5	0,014	0,07	25
10	0,032	0,32	100
20	0,054	1,08	400
40	0,119	4,76	1600
60	0,170	10,20	3600
80	0,230	18,40	6400
100	0,287	28,70	10000
120	0,347	41,64	14400

$$\sum_{i=1}^m x_i = 435 \quad \sum_{i=1}^m y_i = 1,253 \quad \sum_{i=1}^m x_i y_i = 105,17$$

$$\sum_{i=1}^m x_i^2 = 36525$$

$$b = \frac{\sum_{i=1}^m y_i \cdot \sum_{i=1}^m x_i^2 - \sum_{i=1}^m x_i y_i \cdot \sum_{i=1}^m x_i}{m \cdot \sum_{i=1}^m x_i^2 - \left(\sum_{i=1}^m x_i \right)^2}. \quad (3)$$

Таким образом, $a = 0,0029$ и $b = -0,0002$.

Абсолютные концентрации активного изониазида определяли по формуле:

$$X = \frac{y - 0,0002}{0,0029}. \quad (4)$$

Калибровочный график количественного определения изониазида в сыворотке крови представлен на рис. 2.

Результаты и их обсуждение

Отбор крови производили до начала эксперимента, затем через 20, 40, 60, 90 мин, а также через 3, 6, 9 и 12 ч после введения изониазида в состав исследуемых лекарственных форм. Для каждой временной точки было использовано по пять кроликов, анализ проводили для каждой пробы, результаты усредняли. Динамика

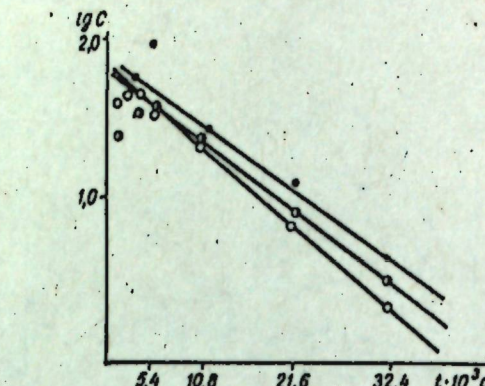


Рис. 4. Динамика концентрации изониазида в полулогарифмической системе координат

концентрации наглядно представлена на рис. 3 и 4.

Уровень изониазида в сыворотке крови сначала незначительно нарастает, достигает максимума в районе 1 ч в изотоническом растворе и 1,5 ч — в ПВП, затем быстро снижается в соответствии с экспоненциальной зависимостью. Для раствора с ПВП-и максимум достигается через 1 ч и 18 мин, при этом отмечается резкое возрастание уровня изониазида в крови. Такой характер динамики изониазида позволил применить для ее описания одночастовую кинетическую модель с учетом всасывания препарата. В рамках этой модели динамика уровней изониазида в крови кроликов удовлетворительно описывалась биэкспоненциальным уравнением.

Параметры фармакокинетики изониазида в составе исследуемых лекарственных форм сведены в табл. 2. Найденные величины параметров свидетельствуют о следующих особенностях кинетики лекарственного вещества в организме после введения во внутривенную полость.

Всасывание изониазида из раствора с ПВП происходит быстро, в среднем за $2,20 \cdot 10^3$ с (36 мин) для ПВП и за $1,45 \cdot 10^3$ с (24 мин) — для ПВП-и всасывается 50%. Максимальная концентрация в крови достигается через $5,4 \cdot 10^3$ с (1,5 ч) — для ПВП и через $4,65 \cdot 10^3$ с (1 ч 18 мин) — ПВП-и.

Элиминация изониазида, вводимого совместно с ПВП и ПВП-и, также характеризуется высокой скоростью, период полувыведения равняется соот-

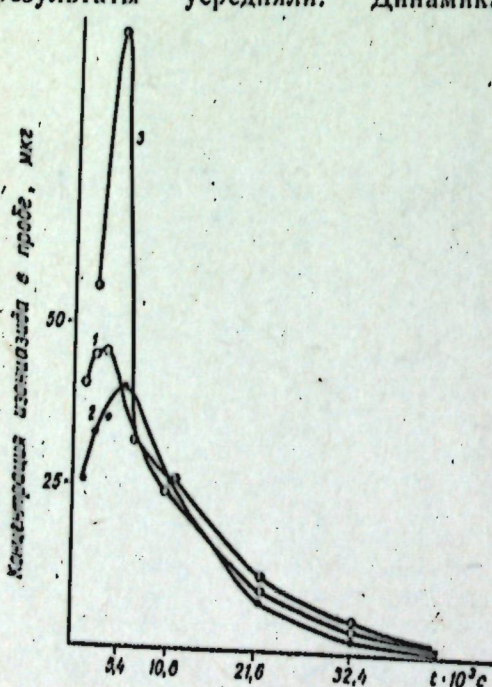


Рис. 3. Динамика концентрации изониазида в сыворотке крови после внутривенного введения в составе:
1 — изотонического раствора; 2 — раствора ПВП;
3 — раствора ПВП-и

Таблица 2. Параметры фармакокинетики изониазида при внутрибрюшинном введении в составе лекарственных форм

Параметр	Обозначение	Размерность	Величина		
			изотонич. р-р	р-р ПВП	р-р ПВП-и
Кажущаяся начальная концентрация	C_0	мкг/мл	70,11	69,40	67,71
Константа скорости всасывания	K_{el}	с^{-1}	$0,58 \cdot 10^{-3}$	$0,32 \cdot 10^{-3}$	$0,4771 \cdot 10^{-3}$
Константа скорости элиминации	K_{el}	с^{-1}	$0,104 \cdot 10^{-3}$	$0,096 \cdot 10^{-3}$	$0,072 \cdot 10^{-3}$
Общий клиренс	$C_{l,r}$	$\text{мл}/\text{с}$	$73,97 \cdot 10^{-3}$	$68,80 \cdot 10^{-3}$	$51,86 \cdot 10^{-3}$
Кажущийся объем распределения	V	мл	713,27	720,46	717,25
Период полувыведения	$t_{1/2}$	с	$6,68 \cdot 10^3$	$7,25 \cdot 10^3$	$9,59 \cdot 10^3$
Период полуборбации	$t_{1/2\alpha}$	с	$1,19 \cdot 10^3$	$2,20 \cdot 10^3$	$1,45 \cdot 10^3$
Площадь под кривой «концентрация — время»	AUC_{∞}	$\text{мкг} \cdot \text{с} \cdot \text{мл}^{-1}$	0,976	0,726	0,964
Время достижения максим. концентрации	t_{max}	с	$3,61 \cdot 10^3$	$5,43 \cdot 10^3$	$5,65 \cdot 10^3$

вественно $7,25 \cdot 10^3$ с (2 ч) и $9,57 \cdot 10^3$ с (2,3 ч).

Относительная биологическая доступность ($f, \%$) при всасывании из брюшной полости в кровь, рассчитанная из соотношения площадей под фармакокинетическими кривыми, выведенными с учетом использованных доз по формуле (5), равняется 74,8% для раствора ПВП и 98,8% для раствора ПВП-и.

$$f = \frac{AUC_{\infty}^e \cdot D_c \cdot 100}{D_u \cdot AUC_{\infty}^e}, \quad (5)$$

где AUC_{∞}^e и D_u — площади под кривой «концентрация — время» и дозы изониазида в исследуемых лекарственных формах; AUC_{∞}^e и D_e — площади под кривой «концентрация — время» и дозы изониазида в составе стандартной лекарственной формы (в изотоническом водном растворе).

Известно, что для препаратов, применяемых местно, повышенная всасываемость нежелательна, в отличие от других препаратов, для которых поступление вещества из места введения в кровь является необходимым условием системного лекарственного действия.

Следовательно, при создании препаратов с местным действием или с prolongedированным высвобождением действующего вещества — изониазида — предпочтение следует отдать ПВП с м. в. 12600 ± 2700 . Сочетание изменений таких функций, как уменьшение

общего клиренса, увеличение периода полувыведения изониазида, на фоне повышенного диуреза в ряду водный изотонический раствор — раствор ПВП — раствор ПВП-и характеризует действие поливинилпирролидона с м. в. 8000 следующим образом:

а) ПВП-и за счет повышения проницаемости сильно увеличивает поступление изониазида из места введения в кровь;

б) ПВП-и в кровяном русле избирательно взаимодействует с элементами крови и быстро выделяется почками, высвобождая активный изониазид, период полувыведения которого с учетом метаболизма более длителен.

Таким образом, поливинилпирролидон с м. в. 8000 следует использовать в растворах в качестве транспортного средства для основного действующего вещества. Учитывая высокое дезинтоксикационное действие ПВП-и, следует признать перспективность его как вспомогательного вещества в медицине и ветеринарии. Растворы, содержащие ПВП с более высоким молекулярным весом, более эффективны в случае создания препаратов для местного действия.

ЛИТЕРАТУРА

- Подымов В. К. Красная волчанка. Ереван, 1981.
- Подымов В. К., Гладких С. П., Пирязян Л. А. //ДАН СССР. 1979. Т. 246. № 5. С. 1243—1245.
- Сидельковская Ф. П. Химия N-винилпирролидона и его полимеров. М., 1970.

4. Шендерова Р. И. //Лабораторное дело. 1975. № 2. С. 114.
5. Carrington M. J., Bird T. A., Levene C. I. // Biochem. J. 1984. Vol. 221. N. 3. P. 837—843.
6. Yamada R., Wakabayashi Y., Iwashima A. // Acta vitaminol. Enzymol. 1984. Vol. 6. N. 1. P. 29—39.

Резумат

Сънт презентате резултатите на инфлуенци фармакочинетиче а субстанцией макромолекуларе — поливинилпирролидон (ПВП) асурира нивелул ши витезей де тречере а изониазидей дин кавитата интраперитоцелън сънже. Концентрация изониазидей ѝн линкудул биологик есте апречиятэ дупэ метода дуй Волленберг, перфекционате де авторъ. Денситета оптикъ а комплексулай колорат ал изониазидей ку ванадатул де амониу се мезсоарз за лунжима ундъ де 424 нм. Интервалул де детерминаре а концентрацией изониазидей есте де 10—120 мкг/мл. Се индикъ утилитата фолосирий фракцией ПВП ку диферите греутэцъ молекуларе ѝн калитате де субстанци аукционарэ пентру изониазидъ. Щи

аchest. каз се манифестэ диферите партикулатрэцъ фармакодинамиче а ПВП.

Summary

This article presents the results of the pharmacokinetic influence of the high-molecular substance polyvinylpyrrolidone (PVP), on the level and speed of passage of isoniazid from the intraperitoneal cavity to blood. The spectrophotometric methods of isoniazid detection in biological liquids (according to Wollenberg) have been modified by the authors and used in their work. The optimal density of isoniazid — amonii vanadate complex is determined at 424 nm. The interval of isoniazid concentration is between 10 and 120 mkg/ml.

Rationality of application of PVP fractions with different molecular weights as an auxiliary substance for isoniazid with different pharmacodynamical properties has been revealed.

Институт зоологии и физиологии АН МССР,
Кишиневский государственный медицинский институт.

Поступила 30.03.89

В ИЗДАТЕЛЬСТВЕ «ШТИИНЦА» ГОТОВЯТСЯ К ВЫПУСКУ В 1990 ГОДУ

Пену А. Ю. ПРАКТИЧЕСКАЯ ЭХОГРАФИЯ. 15 л. Рус. яз.
1 р. 30 к.

В атласе рассмотрен один из самых современных и перспективных методов исследования внутренних органов — ультразвуковой. Данна эхографическая анатомия внутренних органов, классификация патологии почек и других органов. Приведен богатый наглядный материал по аномалии развития и патологии внутренних органов. Впервые сообщается об использовании эхографии для диагностики острой патологии аппендикулярного отростка. Описано применение эхографии в гинекологической практике, по выявлению патологии плода. В книге приведены ультразвуковые нормативы для врачей и среднего медицинского персонала, медицинская документация. Для специалистов по ультразвуковой диагностике и всех желающих овладеть этой методикой.

Сауля А. И., Meerzon Ф. З. ПОСТСТРЕССОРНЫЕ НАРУШЕНИЯ ФУНКЦИЙ МИОКАРДА. 7 л. Рус. яз. 1 р. 50 к.

Рассмотрены современные представления о механизме сопряжения возбуждения с сокращением и расслаблением сердечной мышцы, а также механизмы гомеостаза кардиомиоцитов в онтогенезе и при адаптации к различным факторам среды. Подробно описан патогенез стрессорных нарушений биоэлектрической активности и сократительной функции миокарда. Приведены современные данные по первичной профилактике стрессорных и ишемических повреждений сердца. Отдельные главы посвящены толерантности сердца к стрессорным воздействиям в онтогенезе, при длительно сохраняющейся ситуации и при наиболее распространенных патологиях сердечно-сосудистой системы. Показана роль адаптации организма к факторам среды в профилактике стрессорных и ишемических повреждений сердца. Для врачей, аспирантов, студентов медицинских вузов.

Оформление заказа см.
на 2-й странице обложки.

ПАЛЕОНТОЛОГИЯ

К. Н. НЕГАДАЕВ-НИКОНОВ

РАЗВИТИЕ ЛИМНОЦИТЕР (CRUSTACEA) В АНТРОПОГЕНЕ ЕВРОПЕЙСКОЙ ЧАСТИ СССР

Среди ракушковых ракообразных в континентальном антропогене европейской части СССР существенное место занимают лимноцитеры.

Время наибольшего видообразования этой группы пресноводных ракушковых ракообразных соответствует периоду отступления морей, широкому распространению континентальных условий и пресноводных экосистем на европейском континенте, особенно на огромной площади европейской части СССР.

Рассматриваемые нами виды относились к подсемейству Limnocytherinae (рис. 1), содержащему 2 рода: *Limnocythere* и *Leucocythere*.

Род *Limnocythere* выделен Г. Бреди в 1867 г., а в 1868 г. описан с измененным названием. Тип рода *Cythere inopinata* Baird, 1850. Близкий к нему род *Leucocythere* установлен А. Кауффманном в 1896 г., известен лишь recentный вид *Leucocythere mirabilis* Kauffmann.

Само семейство Limnocytherinae определилось лишь в 1925 г. в работах Г. О. Сарса. Но с тех пор, в связи с исследованием ископаемых остракод, число видов стало увеличиваться, появилась необходимость в уточнении и перестройке систематики этой группы ракушковых ракообразных.

В 1967—1968 гг. нами уже выделялись подродовые таксоны рода *Limnocythere*, которые могли стать основой для выделения родовых таксонов [7—9].

В 1970 г. Кармишиной был выделен новый род *Prolimnocythere* [2] для тех видов, которые встречались в плиоцене, т. е. в позднем неогене, и меньше — в антропогене. Однако в этой группе имеются виды, относящиеся к различным, значительно разли-

чающимся между собой родам: *Paralimnocythere* Carbonnel, 1965 [3, 13] и *Denticulocythere* Carbonnel, Ritzkovski, 1969 [9, 14]. Для рода *Denticulocythere* характерным признаком является насеченность валика и желобка, наличие боковых зубов в замке раковины [9, 14], а для рода *Paralimnocythere* — наоборот, отсутствие зубов и наличие гладкого валика и желобка [3, 14]. Таким образом, *Prolimnocythere* может рассматриваться не как родовой, а как надродовой таксон, т. е. подсемейство.

Весьма положительным является понимание группы *Prolimnocythere* как относительно более древней или имеющей более древние корни в своем развитии, поэтому мы предлагаем называть это подсемейство *Prolimnocytherinae*, охватывающее 2 рода: *Denticulocythere* и *Paralimnocythere*.

В подсемействе *Limnocytherinae* остаются пока 2 известных рода: *Limnocythere* и *Leucocythere*, как это было до сих пор. В первом (*Limnocythere*) выделяются подродовые, ветви как зарождающиеся линии новых родов, во втором (*Leucocythere*) ископаемые виды неизвестны [1].

В результате многолетних исследований ракушковых ракообразных и анализа большого материала нами выяснено, что филогенетическое развитие лимноцитер в антропогене проходило главным образом по трем основным линиям, соответствующим родам: *Limnocythere*, *Denticulocythere*, *Paralimnocythere*.

Наиболее древнему роду *Denticulocythere* присущи вариабельность и возникновение многих видов в позднем плиоцене и эоплейстоцене. Здесь уже в акчагыльское время в опресненных и пресных водоемах юга СССР

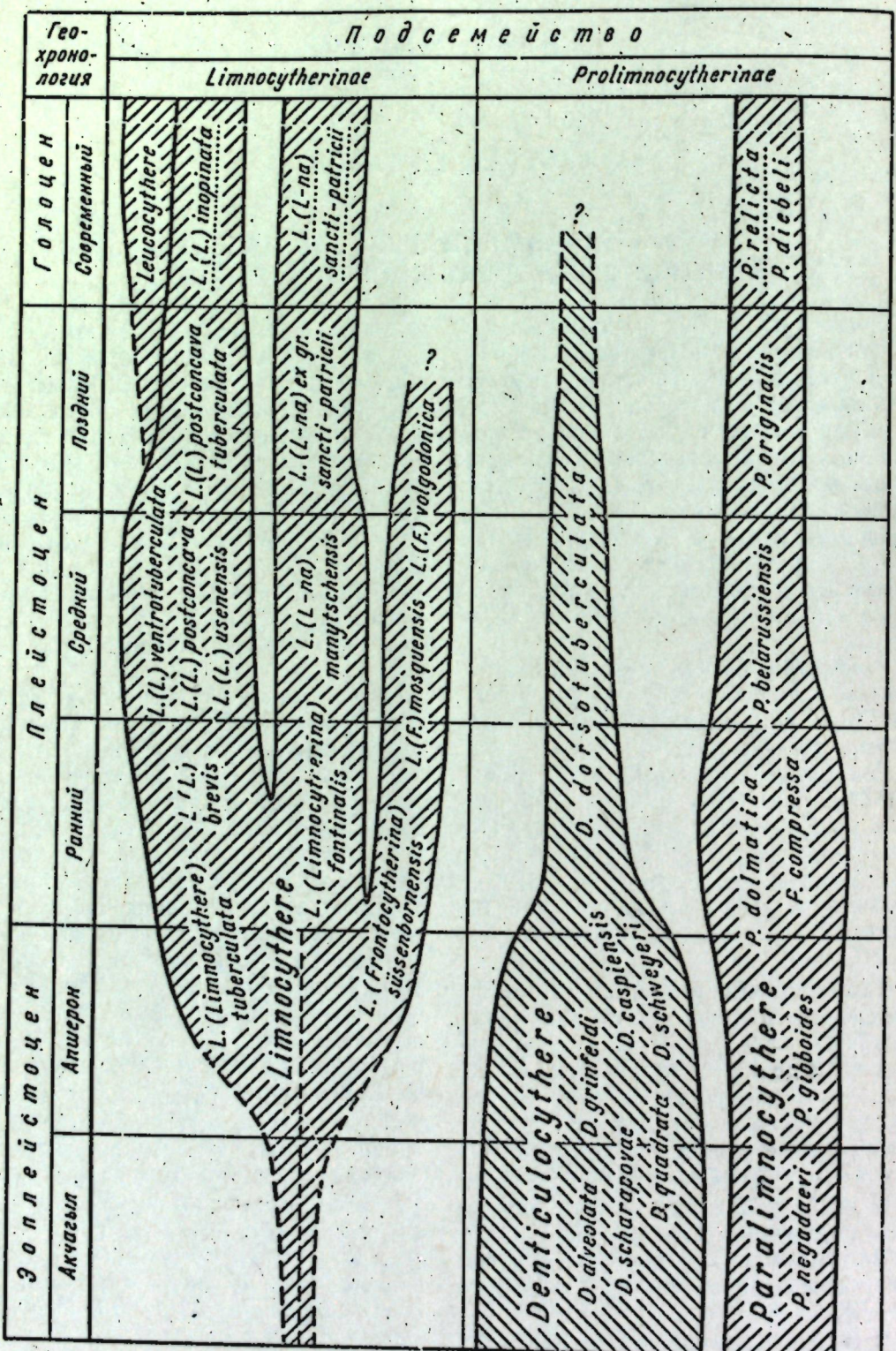


Рис. 1. Филогенетические линии развития лимноцитер в антропогене европейской части СССР

наблюдается развитие таких видов, как *Denticulocythere alveolata* (Suzin), *D. scharapovae* (Schweyer), *D. quadrata* (Mandelstam) [11, 12]. Ближе к апшеронскому, или таманскому, времени к ним добавляется еще один характерный вид *Denticulocythere grinfeldii* (Liepin), а в апшероно-таманское время — *Denticulocythere schweyeri* (Karmischina). Позже, начиная с эоплейстоцена, появляется и переходит в ранний плейстоцен вид *Denticulocythere caspiensis* (Negadaev), а в плейстоцене — находит широкое распространение характерный вид с гребнеобразным удлиненным бугром у спинного края раковины *Denticulocythere dorsofibulosa* (Negadaev). Этот вид известен как на юге европейской части СССР, так и на востоке, даже на Урале, где раковины его в большом количестве встречаются в аллювии четвертичных террас долины р. Урал. Число видов этого рода в конце плейстоцена уменьшается. В голоцене лишь недавно (1981) Н. И. Кочубей обнаружены в лиманах северо-восточного Причерноморья раковины лимноцитер с характерным зазубренным валиком и желобком замочного края. Их можно пока условно отнести к роду *Denticulocythere*. Это последнее, что нам известно о распространении представителей рода *Denticulocythere* в голоцене.

Таким образом, в антропогене после эоплейстоцена наблюдается некоторое затухание в развитии этой филогенетической линии. Необходимо отметить, что на протяжении всего антропогена все виды этой линии сохраняют главные признаки рода — зазубренность валика, наличие боковых зубов в замке и квадратно-ovalную форму их раковины. Указанные выше виды отличаются морфологически, отражая эволюцию этого рода в антропогене. Они описаны Швейером [12], Сузиным [11], Кармишиной [4], Негадаевым-Никоновым [5, 9]. Род *Denticulocythere* описан на основе подрода *Denticulocythere*, выделенного в 1969 г. Карбониелом [14]. В систематике лимноцитер он должен занимать определенное место по приоритету.

Другая филогенетическая линия — это развитие рода *Paralimnocythere*.

Он выделен и описан Г. Карбониелом по ископаемым материалам из миоцена (ТОРТОНА) Франции в 1965 г. [13]. В 1965 г. нами установлен новый вид *Limnocythere originalis* Negadaev в пресноводных (аллювиальных, пойменных) отложениях позднего плейстоцена на левобережье р. Прут у с. Болотино [6]. Этот вид так же, как и близкий к нему рецентный *Limnocythere relicta* Lilljeborg, былнесен нами к подроду *Relictocythere* [8]. Главные признаки этой группы — аdontный замок с гладкими валиком и желобком, а также весьма широкая порово-канальная зона — основные морфологические отличия рода *Paralimnocythere*, поэтому эти виды рассматриваются нами входящими в род *Paralimnocythere*. В том же 1965 г. М. Г. Попова-Львова в пресноводных отложениях позднего плиоцена в Предуралье выделила и описала новый вид *Limnocythere negadaevi* M. Popova [10], который по всем признакам можно теперь отнести к роду *Paralimnocythere*. В 1989 г. мы выделили новый вид этого рода, морфологически близкий к описанному Поповой. Он продолжает филогенетическую линию паралимноцитер от плиоцена к плейстоцену (описание этого вида приводится в конце статьи).

В раннем плейстоцене в пресноводных отложениях юга европейской части СССР распространен характерный вид *Paralimnocythere compressa* (Koch). В нем не так резко выделяются козырек порово-канальной зоны и выпуклость средней части раковины. Известен также вид этого рода *Paralimnocythere dalmatica* Sokac [16]. К среднему плейстоцену относится *Paralimnocythere belorussiensis* Zubowicz, а в пресноводных отложениях позднего плейстоцена на юго-западе Русской платформы в Молдавии и на востоке в Поволжье установлен своеобразный вид *Paralimnocythere originalis* (Negadaev) [3]. В нем выделяется необычайно широкая порово-канальная зона и килеобразный выступ у брюшного края. В голоцене и современных речных и пресноводных озерных водоемах распространен близкий к последнему вид *Paralimnocythere relicta* (Lilljeborg), а также *Paralimnocythe-*

re diebeli, описанный югославским зоологом Пятковским [14].

В этой линии также необходимо отметить общность и устойчивость основных признаков рода *Paralimnocythere* — адонтный замок с гладкими валиком и желобком, весьма выпуклой средней частью и очень уплощенной, широкой порово-канальной зоной.

Виды, указанные в этой линии в антропогене, свидетельствуют о некотором усилении вариабельности этой линии в плейстоцене, а также об эволюции рода к концу антропогена, где определяются его молодые дереваты. Рекентный вид *Paralimnocythere relicta* (Lilljeborg) и моценовый вид *Paralimnocythere bouleigensis* Carbonnel становятся моделями для ископаемых и рекентных видов всей линии филогенетического развития рода. Возможно, в современных водоемах, кроме указанных, будут встречены еще новые виды этого рода.

Весьма интересна филогенетическая линия основного рода *Limnocythere*. В плиоцене и вообще в неогене известно мало видов этого рода. Затем в антропогене и особенно в плейстоцене в этой линии наблюдается разветвление и отделение ветвей, которые мы называем подродами. Такое разветвление (дереватость) начинается в конце эоплейстоцена при переходе в плейстоцен и продолжается позже. Число видов увеличивается, они становятся стратиграфическими и экологическими показателями времени и среды обитания.

Мы выделяем следующие ветви или подроды: основной подрод основного рода *Limnocythere* (*Limnocythere*), например *L. (L.) tuberculata* (Negadaev) в плиоцене или современный вид наших рек, пресных озер *L. (L.) inopinata* (Baird). Конечно, на пути к этому современному виду было много эволюционных изменений, отраженных в морфологии, в частности в раннем плейстоцене *L. (L.) brevis* Stepanaytys с существенно увеличенной передней третью раковины, свисающей книзу. В среднем плейстоцене *L. (L.) ventrotuberculata* Negadaev с характерным продолговатым бугром в брюшной части раковины и наконец *L. (L.) postconcava* Negadaev с ха-

рактерной вдавленностью в задней трети раковины. От этого вида формируется позже современный вид *L. (L.) inopinata* (Baird) [9]. К средней части этой ветви можно отнести вид *L. (L.) usenensis*, описанный Кармишиной. Сюда относятся также и подвид *L. (L.) postconcava tuberculata* Negadaev и др. Современной моделью этой ветви может служить *L. (L.) inopinata* (Baird), который остается типом рода.

Другим характерным ответвлением, возникшим, по-видимому, значительно ранее антропогена, является подрод *Limnocytherina*. Моделью его служит современный вид *L. (L-na) sancti-patricii* (Lilljeborg). Его предшественниками в раннем плейстоцене являются *L. (L-na) fontinalis* Schneider, в среднем — *L. (L-na) manylschensis* Negadaev, а в позднем — его подвиды. Для этого подрода характерными признаками остаются удлиненность раковины (мужских и женских особей), узкая порово-канальная зона, поперечная депрессия разделяет раковину на 2 неравные части: короткую переднюю и удлиненную заднюю. Морфологические изменения в эволюции приводят к современному виду — модели *L. (L-na) sancti-patricii* (Lilljeborg).

Третий подрод *Frontocytherina* пока известен лишь в ископаемом состоянии. Он отличается высокой передней третью и весьма пониженной задней. Это *L. (F.) süssenbornensis* Diebel (эоплейстоцен и ранний плейстоцен), *L. (F.) mosquensis* Negadaev — средний плейстоцен, *L. (F.) volgodonica* Negadaev — средний и поздний плейстоцен. Логически должно быть продолжение этой филогенетической ветви, но пока в позднем плейстоцене и голоцене представителей этого подрода не найдено.

Итак, лимноцитеры антропогена европейской части СССР группируются в два подсемейства: *Limnocytherinae* и *Prolimnocytherinae*. Последнее основано на повышении родового таксона *Prolimnocythere* в ранг подсемейства:

Семейство CYTHERIDAE
W. BAIRD, 1850.

Подсемейство *Prolimnocytherinae*

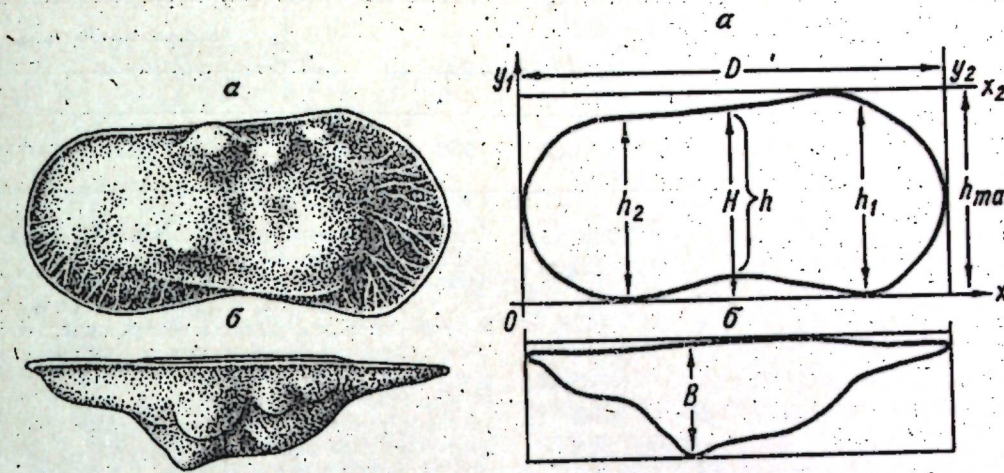


Рис. 2. Раковина *Paralimnocythere gibboidea* Negadaev sp. nov.:

а — правая створка; б — вид сверху. X85. Эоплейстоцен среднего Приднестровья, с. Кузьмин МССР

Рис. 3. Основные параметры раковины в координатной сетке:

а — контур раковины сбоку; б — поперечный контур.

Negadaev — Karmischina, subfam. nov. 1989.

Род *Paralimnocythere* Carbonnel, 1965.

Paralimnocythere gibboidea Negadaev sp. nov. (рис. 2).

Голотип хранится в отделе палеозоологии ИЗиФ АН МССР № С-Кузьмин-1. Поздний эоплейстоцен, VIII терраса р. Днестр у с. Кузьмин. Среднее Приднестровье, Молдавия.

Диагноз. Раковина удлиненная, продолговато-ovalная, с характерными буграми у спинного края (одним большим округленным бугром и тремя малыми, ближе к передней части), с характерным острым бугром в заднебрюшной части, полого снижающимся к передней трети.

Вместо поперечной депрессии — центральная, слегка удлиненная ямка.

Описание. В структуре раковины выделяются 3 части: средняя — сильно выпуклая, передняя и задняя — сильно уплощенные, особенно в передней части. В замочном крае характерные для рода гладкий валик и гладкий желобок. Боковых зубов нет. В спинной части, посередине, выделяется большой округлый бугор и от него в сторону передней части 3 малых бугорка. В заднебрюшной части — заостренный, резко выступающий большой бугор, снижающийся

вдоль брюшного края к передней трети.

Посередине выпуклой части раковины выделяется небольшая удлиненная ямка, как бы заменяющая здесь не выраженную поперечную депрессию. Параллельно ей — вторая, едва заметная ямка. Общая выпуклость усиливается к брюшному краю.

В передней части выделяется широкая, сильно уплощенная, угловато-округлая порово-канальная зона с пучкообразными, ветвящимися, слегка изогнутыми каналами. В задней трети раковины уплощенная порово-канальная зона резко выделяется в заднебрюшной части и меньше — у заднего конца и заднеспинной части раковины.

Результаты замеров по координатной сетке выражают следующие элементы морфологии раковины (мм): длина раковин (D) — 0,73; максимальная высота (h_{max}) — 0,34; высота передней трети (h_1) — 0,34; высота задней трети (h_2) — 0,30; координатная высота (H) — 0,33; высота раковины в месте вогнутости брюшного края (B) — 0,18. По этим абсолютным параметрам выражаются числовые соотношения, весьма важные для диагностики и сопоставления видов (рис. 3).

D	Абсолютные параметры (размеры)				Числовые соотношения				
	h_{max}	h_1	h_2	H	h	B	L	C	U
0,73	0,34	0,34	0,30	0,33	0,29	0,18	2,1	0,24	0,14

Степень удлиненности — отношение длины к максимальной высоте створки:

$$L = \frac{D}{h_{max}} = 2,1.$$

Степень вогнутости брюшного края:

$$U = \frac{H - h}{h} = 0,14.$$

Степень выпуклости створки:

$$C = \frac{B}{D} = 0,24.$$

Сравнение. Наш вид *Paralimnocythere gibbooides* близок к виду *Paralimnocythere negadaevi* (M. Popova), описанному Поповой-Львовой из верхнеплиоценовых (кинельских) отложений Предуралья в 1965 г. как *Limnocythere negadaevi*, но отличается наличием 2 бугров по краям поперечной депрессии в спинной части. У *Paralimnocythere gibbooides* нет резко выделяющейся поперечной депрессии. Вместо нее — небольшая, слегка удлиненная центральная ямка, а в спинной части, ближе к передней трети, выделяются 3 малых бугорка.

Возраст и распространение. Найден в супесях и глинах пресноводных (аллювиальных, пойменных) отложений древнего Днестра. Разрез аллювия VIII террасы у с. Кузьмин. Поздний эоплейстоцен Молдавии.

ЛИТЕРАТУРА

- Бронштейн З. С. Фауна СССР. Ракообразные. Новая серия № 31. Т. II. Вып. I. Остракода пресных вод. М.: Л., 1947.
- Кармишина Г. И./Вопросы геологии Южного Урала и Поволжья. Вып. 6. Саратов, 1970. С. 110—126.
- Кармишина Г. И./Палеонтол. журн. № 2. М., 1971. С. 125—126.
- Кармишина Г. И. Остракоды плиоцена юга европейской части СССР. Саратов, 1975.
- Негадаев-Никонов К. Н./Уч. зап. Кишиневского ун-та. Т. XXV. Киев, 1957. С. 47—52.
- Негадаев-Никонов К. Н./Изв. АН МССР. 1965. № 8. С. 12—19.

- Негадаев-Никонов К. Н./Изв. АН МССР. 1967. № 4. С. 35—44.
- Негадаев-Никонов К. Н./Изв. АН МССР. Сер. биол. и хим. наук. 1968. № 3. С. 3—9.
- Негадаев-Никонов К. Н. Остракоды континентального плеистоценов юга европейской части СССР. Кишинев, 1974.
- Попова-Львова М. Г. Остракоды из плиоценовых отложений Башкирского Предуралья, Кайзой Башкирского Предуралья. Т. II. Ч. 2. Раздел II. М., 1965.
- Сузин А. В. Остракоды третичных отложений северного Предкавказья. М.: Л., 1956.
- Швейер А. В./Тр. ВНИГРИ. Нов. сер. Вып. 30. М.; Л., 1949.
- Carbonnel G./Arch. Sc. Vol. 18, fasc. I. Geneve, 1965. P. 146—150.
- Carbonnel G., Ritzkoński S./Ibid. Vol. 22, fasc. I. Geneve, 1969. P. 55—85.
- Петковский Т. К. Два новых вида Limnocythere из Македонии. (Crustacea, Ostracoda). Природо-научный Музей Скопье. 1969. Т. XII, № 1/102.
- Socac A./Zbornik rudarsko-geolosko-nafinog fakulteta sveučilišta u Zagrebu i povodu 30 godina Rada 1939—1969. Zagreb, 1969.

Резумат

Еревэзүтэ ши аргументатэ систематика лимноцитерелор. Сынт анализатэ линии филогенетиче але жэнүрилор *Limnocythere*. *Paralimnocythere* ши *Denticulocythere*. Тоате лимноцитереле авторул ле класификэ ын доуз субфамилий *Limnocytherinae*, каре ау авут о дэзволтаре май маре ын плеистоцен ши холочен, манифестианду-се, де асемения, ла спечини модели контемпоране, ши *Prolimnocytherinae* (subfam. nov.), че күпнрэнде доуз жэнуур: *Paralimnocythere* ши *Denticulocythere*. Е дэскрипсэ спечия иоэ *Paralimnocythere gibbooides Negadaev sp. nov.*

Summary

The systematization of *Limnocytherinae* has been reconsidered and the phylogenetic genera trends *Limnocythere*, *Denticulocythere*, *Paralimnocythere* have been investigated. All *Limnocytherinae* have been grouped by the author in two subfamilies: *Limnocytherinae*, mostly developed in the pleistocene and holocene; and *Prolimnocytherinae* subfam. nov. having two genera — *Denticulocythere* and *Paralimnocythere*. The new species *Paralimnocythere gibbooides Negadaev sp. nov.* has been identified as a phylogenetic link between pliocene and pleistocene.

Институт зоологии и физиологии АН МССР

Поступила 30.03.89

ХИМИЯ

И. Г. ПОВАР, И. Ф. ФИШТИК, И. И. ВАТАМАН

РАСЧЕТ ОПТИМАЛЬНЫХ УСЛОВИЙ ПОДЗЕМНОГО ВЫЩЕЛАЧИВАНИЯ УРАНОВЫХ РУД

В связи с ускоренным развитием ядерной энергетики и увеличивающимся при этом спросом на уран наблюдается повышенный интерес к вопросам переработки уранового сырья. На современном этапе для извлечения урана из руд применяется выщелачивание на месте залегания (подземное выщелачивание). Под подземным выщелачиванием (ПВ) урана из рудного слоя следует понимать процесс его избирательного растворения химическим реагентом и последующего удаления образовавшихся химических соединений из зоны реакции с помощью движущегося потока растворителя [1].

Предварительно измельченное рудное сырье выщелачивают раствором серной кислоты (кислотное выщелачивание) или карбонатными растворами (соляевое выщелачивание) в присутствии окислителя с целью перевода урана в раствор в виде сульфатных или карбонатных комплексов U(VI). При подземном выщелачивании используют в основном карбонатные растворы, не загрязняющие окружающую среду [6]. При этом карбонатное выщелачивание происходит более избирательно по отношению к урану, чем кислотное.

Метод ПВ отличается сравнительной простотой и может быть использован для переработки бедных низкосортных минералов при снижении загрязнения окружающей среды и уменьшении капитальных затрат и эксплуатационных расходов (табл.).

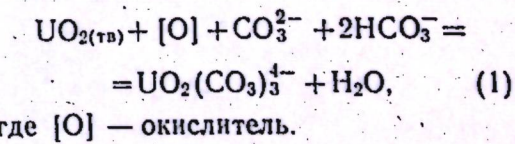
В качестве окислителя применяют в основном H_2O_2 или кислород. В патенте [6] сообщается, что быстрое растворение урана в щелочном выщелачивающем растворе достигается при использовании в качестве окислителя

гипохлорита щелочного металла, например NaOCl .

При карбонатном выщелачивании урана из урановых руд получают водные щелочные растворы, в которых уран находится в форме $\text{UO}_2(\text{CO}_3)_3^{4-}$. Для извлечения урана из карбонатных растворов в [7] предложен способ осаждения урана в виде пероксида урана $\text{UO}_4 \cdot \text{H}_2\text{O}$. Процесс осаждения пероксида урана можно условно разделить на 2 стадии. Первая стадия предлагаемого процесса состоит в подкислении водного щелочного раствора, содержащего $\text{UO}_2(\text{CO}_3)_3^{4-}$, избыточным количеством H_2SO_4 , при этом карбонатные комплексы разрушаются с образованием UO_2^{2+} и CO_2 . Во второй стадии процесса к полученному водному раствору добавляют H_2O_2 для осаждения $\text{UO}_4 \cdot \text{H}_2\text{O}$. В результате указанной реакции изменяется pH раствора. С целью поддержания pH в оптимальном для осаждения пероксида интервале 3,5—4,5 в реакционную смесь добавляют дополнительные количества кислоты и водных щелочных растворов $\text{UO}_2(\text{CO}_3)_3^{4-}$.

Поскольку группа настуранов, составляющая основную часть промышленных урановых руд, характеризуется общим составом UO_{2+x} , где $0 < x < 1$, в которой U(IV) окислен до U(VI) в различной степени, для моделирования процессов ПВ изучалось растворение минерала состава UO_2 .

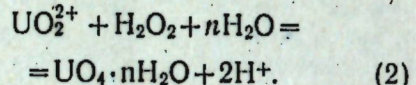
Процесс растворения UO_2 в карбонатной среде обычно описывается уравнением



Логарифмы констант равновесия реакций, использованных в данной работе

Реакции	$\log K$	Литера- тур
$\text{UO}_2^{2+} + \text{OH}^- = \text{UO}_2(\text{OH})^+$	8,2	[8]
$\text{UO}_2^{2+} + 2\text{OH}^- = \text{UO}_2(\text{OH})_2$	16,0	[8]
$2\text{UO}_2^{2+} + 2\text{OH}^- = (\text{UO}_2)_2(\text{OH})_2^{2+}$	22,4	[8]
$3\text{UO}_2^{2+} + 5\text{OH}^- = (\text{UO}_2)_3(\text{OH})_5^+$	54,4	[8]
$3\text{UO}_2^{2+} + 7\text{OH}^- = (\text{UO}_2)_3(\text{OH})_7^-$	67,0	[8]
$\text{UO}_2^{2+} + \text{CO}_3^{2-} = \text{UO}_2\text{CO}_3$	10,1	[8]
$\text{UO}_2^{2+} + 2\text{CO}_3^{2-} = \text{UO}_2(\text{CO}_3)_2^{2-}$	17,1	[8]
$\text{UO}_2^{2+} + 3\text{CO}_3^{2-} = \text{UO}_2(\text{CO}_3)_3^{4-}$	31,4	[8]
$\text{UO}_2^{2+} + \text{O}_2^{2-} = \text{UO}_2\text{O}_2$	32,04	[3]
$\text{UO}_2^{2+} + 2\text{O}_2^{2-} = \text{UO}_2(\text{O}_2)_2^{2-}$	60,15	[3]
$\text{H}^+ + \text{CO}_3^{2-} = \text{HCO}_3^-$	10,33	[8]
$2\text{H}^+ + \text{CO}_3^{2-} = \text{H}_2\text{CO}_3$	16,68	[8]
$\text{H}^+ + \text{NO}_2^- = \text{HNO}_2$	3,2	[4]
$\text{H}^+ + \text{ClO}^- = \text{HClO}$	7,4	[4]
$\text{H}^+ + \text{O}_2^- = \text{HO}_2^-$	25,0	[3]
$2\text{H}^+ + \text{O}_2^- = \text{H}_2\text{O}_2$	36,75	[3]
$\text{UO}_4 \cdot 4\text{H}_2\text{O}_{(\text{тв})} = \text{UO}_2^{2+} + \text{O}_2^{2-} + 4\text{H}_2\text{O}$	-38,84	[3]
$\text{UO}_2(\text{OH})_{2(\text{тв})} = \text{UO}_2^{2+} + 2\text{OH}^-$	-22,2	[8]
$\text{UO}_2\text{CO}_3_{(\text{тв})} = \text{UO}_2^{2+} + \text{CO}_3^{2-}$	-14,09	[8]
$\text{UO}_2_{(\text{тв})} + \text{H}_2\text{O}_2 + 2\text{H}^+ = \text{UO}_2^{2+} + 2\text{H}_2\text{O}$	45,83	[8, 5]
$\text{UO}_2_{(\text{тв})} + \text{NO}_3^- + 2\text{H}^+ = \text{UO}_2^{2+} + \text{NO}_2^- + \text{H}_2\text{O}$	14,64	[8, 5]
$\text{UO}_2_{(\text{тв})} + \text{ClO}^- + 2\text{H}^+ = \text{UO}_2^{2+} + \text{Cl}^- + \text{H}_2\text{O}$	44,28	[8, 5]

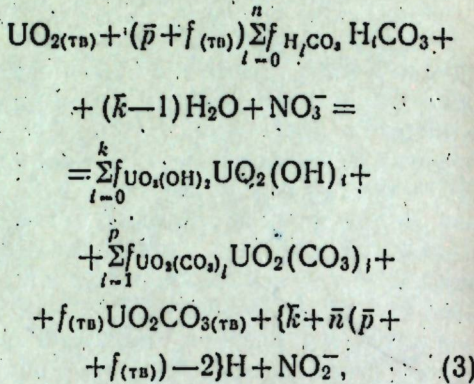
Осаждение урана при подкислении карбонатных растворов H_2O_2 можно представить:



В то же время уравнения (1) — (2) недостаточно полно описывают возможные химические процессы в указанных системах. Действительно, при разных условиях опыта (рН, общие концентрации реагентов и др.) изменяется состав и устойчивость присутствующих в системе частиц. Так, состав и устойчивость карбонатных комплексов $\text{UO}_2(\text{CO}_3)_i$ сильно зависят от рН и общей концентрации карбоната в растворе. При увеличении рН заметную роль начинает играть гидролиз уранил-иона, что также не учитывается в уравнениях (1) — (2). Кроме того, в присутствии H_2O_2 ионы UO_2^{2+} обра-

зуют достаточно устойчивые пероксидные комплексы $\text{UO}_2(\text{O}_2)_i$. Наконец, возможность протекания реакции (1) зависит от природы окислителя.

Для полноты описания процесса растворения осадка минерала используем обобщенное уравнение реакции всех частиц, присутствующих в растворе [2]. Последнее в случае применения NO_3^- -ионов в качестве окислителя имеет вид:



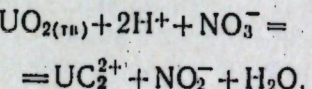
где f_i — парциальные мольные доли соответствующих комплексов, $f_{(\text{тв})}$ — мольная доля твердой фазы $\text{UO}_2\text{CO}_3_{(\text{тв})}$; \bar{p} , \bar{n} и \bar{k} — функции Биррума:

$$\begin{aligned} \sum_{i=1}^n f_{\text{H}_2\text{CO}_3} = \bar{n}; \sum_{i=1}^k f_{\text{UO}_2(\text{OH})_i} = \bar{k}; \\ \sum_{i=1}^p f_{\text{UO}_2(\text{CO}_3)_i} = \bar{p} \\ \sum_{i=1}^k f_{\text{UO}_2(\text{OH})_i} + \sum_{i=1}^p f_{\text{UO}_2(\text{CO}_3)_i} + \\ + f_{(\text{тв})} = 1. \end{aligned} \quad (4)$$

В рамках подхода, предложенного в [2], изменение энергии Гиббса ΔG для реакции (3) составляет:

$$\begin{aligned} -\Delta G = RT \ln K_p \alpha_{\text{UO}_2^{2+}} \alpha_{\text{NO}_3^-} - \\ - RT \ln C_{\text{UO}_2^{2+}} C_{\text{NO}_3^-} C_{\text{NO}_3^-}^{-1} - 2\text{pH}, \end{aligned} \quad (5)$$

где K_p — константа равновесия реакции



В уравнении (5) коэффициент $\alpha_{\text{UO}_2^{2+}}$ рассчитывается по уравнению:

$$\alpha_{\text{UO}_2^{2+}} = 1 + \sum_{i=1}^n \beta_{(\text{UO}_2)_i(\text{OH})_i} \times$$

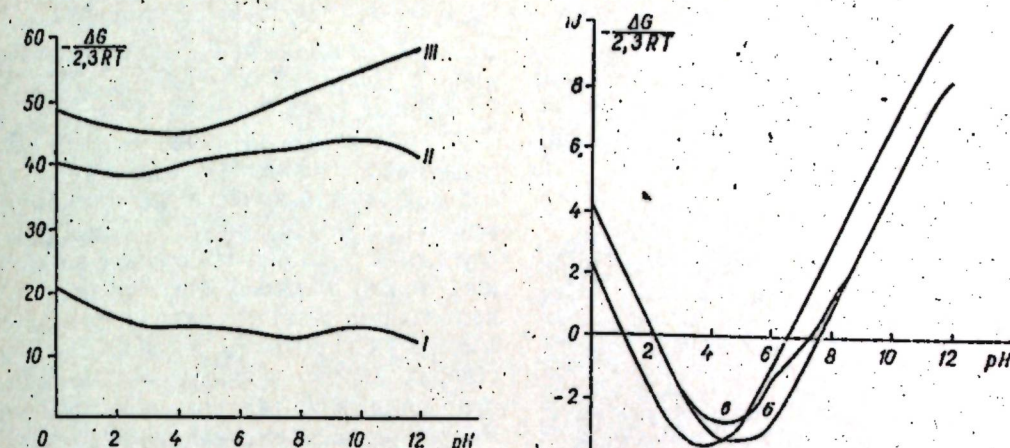


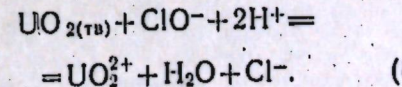
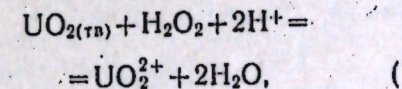
Рис. 1. Зависимость ΔG реакции окисления $\text{UO}_2_{(\text{тв})}$ от рН в карбонатной среде ($C_{\text{UO}_2^{2+}} = 1 \cdot 10^{-3}$ моль/л, $C_{\text{CO}_3^{2-}} = 1 \cdot 10^{-1}$ моль/л) различными окислителями: (I) — NO_3^- , (II) — ClO^- , (III) — H_2O_2 ($C_{\text{NO}_3^-} = C_{\text{ClO}^-} = C_{\text{H}_2\text{O}_2} = 1$ моль/л)

Рис. 2. Зависимость ΔG реакции осаждения — растворения $\text{UO}_4 \cdot 4\text{H}_2\text{O}$ от рН в карбонатной среде ($C_{\text{UO}_2^{2+}} = 1 \cdot 10^{-3}$ моль/л) при: 2a — $C_{\text{CO}_3^{2-}} = 1 \cdot 10^{-3}$ моль/л, $C_{\text{H}_2\text{O}_2} = 1 \cdot 10^{-3}$ моль/л, 2b — $C_{\text{CO}_3^{2-}} = 1 \cdot 10^{-1}$ моль/л, $C_{\text{H}_2\text{O}_2} = 1 \cdot 10^{-3}$ моль/л

$$\begin{aligned} \times [\text{UO}_2^{2+}]^{1-i} [\text{OH}]^i + \\ + \sum_{i=1}^p \beta_{\text{UO}_2(\text{CO}_3)_i} [\text{CO}_3^{2-}]^i + \\ + [\text{CO}_3^{2-}] / \text{P}_{\text{UO}_2, \text{CO}_3} \end{aligned} \quad (6)$$

Результаты расчета зависимости изменения энергии Гиббса реакции (3) по уравнению (5) для $C_{\text{UO}_2^{2+}} = 1 \cdot 10^{-3}$ моль/л, $C_{\text{NO}_3^-} = 1$ моль/л и $C_{\text{CO}_3^{2-}} = 1 \cdot 10^{-1}$ моль/л представлены на рис. 1 (1). Как видно, в щелочных растворах наилучшее растворение $\text{UO}_2_{(\text{тв})}$ наблюдается при рН 9,8—10.

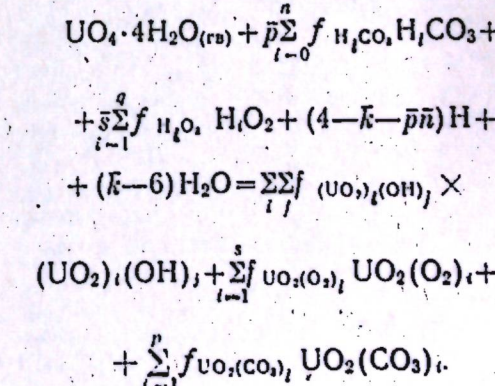
Для выбора оптимального окислителя нами рассчитаны зависимости $\Delta G = f(\text{pH})$, аналогичные (5), для реакций (7) — (8), где $[\text{O}] = \text{NO}_3^-$ (система I), ClO^- (система II) и H_2O_2 (система III):



Из анализа кривых I—III (рис. 1) можно сделать вывод, что NO_3^- как окислитель намного уступает H_2O_2 и

гипохлориту (щелочного металла). Уменьшение $-\Delta G$ в области рН 10—12 для систем I и II зависит в большей степени от уменьшения концентрации $[\text{H}^+]^2$, чем изменение прочности карбонатных комплексов и гидрокомплексов UO_2^{2+} . В случае системы III рост $-\Delta G$ в интервале рН 5—12 объясняется образованием прочных пероксидных комплексов уранил-иона.

Процесс осаждения $\text{UO}_4 \cdot n\text{H}_2\text{O}$ ($n=4$) из карбонатных растворов можно описать следующим обобщенным уравнением реакции:



Энергия Гиббса для (9) будет изменяться в зависимости от рН раствора по уравнению:

$$\begin{aligned} -\Delta G &= RT \ln P_{UO_4 \cdot 4H_2O} \alpha_{UO_2^{2+}} \alpha_{O_2^-} \\ &- RT \ln C_{UO_2^{2+}} C_{H_2O}, \quad (10) \end{aligned}$$

где коэффициенты побочных реакций $\alpha_{UO_2^{2+}}$ и $\alpha_{O_2^-}$ рассчитываются по уравнениям:

$$\begin{aligned} \alpha_{UO_2^{2+}} &= 1 + \sum_i \sum_j \beta_{(UO_2)_i(OH)_j} \times \\ &\times [UO_2]^{i-1} [OH]^{j-1} + \sum_{i=1}^p \beta_{UO_2(OH)_i} [O_2^{2-}]^{i-1} + \\ &+ \sum_{i=1}^p \beta_{UO_2(CO_3)_i} [CO_3^{2-}]^i, \quad (11) \end{aligned}$$

$$\alpha_{O_2^-} = 1 + \sum_{i=1}^2 \beta_{H_i O_2} [H]^i. \quad (12)$$

Результаты расчета изменения энергии Гиббса реакции (9) по уравнению (10) в интервале pH 0–12 для $C_{UO_2^{2+}} = 1 \cdot 10^{-3}$ моль/л при различных общих концентрациях карбонат-иона $C_{CO_3^{2-}}$ и пероксида водорода C_{H_2O} , представлены на рис. 2 (а, б, в). Увеличение $-\Delta G$ в интервале pH 5–12 во всех случаях объясняется тем, что усиление диссоциации пероксида водорода (увеличение равновесной концентрации $[O_2^{2-}]$) и увеличение вместе с этим прочности пероксидных комплексов уранила с увеличением pH преобладает над ростом прочности карбонатных комплексов и гидроксокомплексов UO_2^{2+} .

Заметим, что (кривые а и б), увеличение общей концентрации пероксида водорода C_{H_2O} , влияет в незначительной степени на $-\Delta G_{min}$ выпадения осадка $UO_4 \cdot 4H_2O_{(тв)}$, ($-\Delta G_{min}/2,3 RT \approx -3,4$), вместе с тем, сдвигая pH_{min} выпадения осадка в более кислую область, pH_{min} выпадения осадка пероксида уранила для $C_{H_2O} = 1 \cdot 10^{-1}, 1 \cdot 10^{-2}, 1 \cdot 10^{-3}$ (моль/л) находится в интервале pH 3,5–5,0 (рис. 2, 2а и 2б), что весьма удовлетворительно согласуется с опытными данными [7].

Следует отметить, что при низких концентрациях H_2O_2 большие количества карбонат-ионов ($C_{CO_3^{2-}} > 0,1$ моль/л) могут привести к увеличению растворимости $UO_4 \cdot 4H_2O_{(тв)}$, что отрицательно сказывается на полноте осаждения пероксида. Например, для

$C_{H_2O} = 1 \cdot 10^{-3}$ моль/л увеличение $C_{CO_3^{2-}}$ от $1 \cdot 10^{-3}$ моль/л до 0,1 моль/л приводит к увеличению $-\Delta G_{min}/2,3 RT$ на 0,7 единиц (рис. 2, а и б). При $C_{H_2O} = 0,1$ моль/л увеличение общей концентрации карбонат-ионов до 0,1 моль/л практически не влияет на величину $-\Delta G_{min}/2,3 RT$ осаждения пероксида уранила. Из расчетных данных можно также сделать вывод, что наибольший вклад в увеличение растворимости пероксида в щелочных растворах вносит образование прочных пероксидных комплексов, который намного весомее, чем аналогичный вклад карбонатных комплексов и гидроксокомплексов уранила.

Также расчетным путем установлено, что при $C_{UO_2^{2+}} = 1 \cdot 10^{-3}$ моль/л и $C_{CO_3^{2-}} > 0,1$ моль/л образование твердых фаз $UO_2(OH)_{2(тв)}$ и $UO_2 CO_3_{(тв)}$ термодинамически невозможно во всем рассматриваемом интервале pH.

Следует отметить, что, хотя карбонатное выщелачивание проводится при повышенных Т и Р, отсутствие соответствующих термодинамических данных не позволило провести расчеты при высоких температурах и повышенных давлениях.

Выводы

1. В рамках подхода, основанного на обобщенных уравнениях реакции, проведен термодинамический расчет оптимальных условий ПВ урановых руд на модели $UO_2_{(тв)}$.

2. Показано, что наиболее оптимальными из применяемых окислителей с термодинамической точки зрения являются пероксид водорода и гипоклорит щелочного металла.

Полученные результаты хорошо согласуются с существующими опытными данными и технологическими схемами по ПВ урановых руд.

ЛИТЕРАТУРА

- Новик-Качан В. П., Губкин Н. В., Чеснокова И. И. Добыча металлов способом выщелачивания. М., 1979.
- Фиштик И. Ф., Повар И. Г., Ватаман И. И. // Журн. общей химии. 1986. Т. 56. Вып. 4. С. 739–748.
- Московин А. И. // Радиохимия. 1968. Т. 10. № 1. С. 13–21.

4. Инцеди Я. Применение комплексов в аналитической химии. М., 1979.

5. Карапетянц М. Х. Введение в теорию химических процессов. М., 1981.

6. Habib E. T., Vogt Thomas. Пат. 4312840, США. Заявл. 28.07.78, № 928676. Опубл. 26.01.82. Бюл. № 2.

7. Hardwick T. J. Пат. 4428911, США. Заявл. 27.09.82, № 423658. Опубл. 31.01.84. Бюл. № 3.

8. Lemire R. J., Tremaine P. R. // J. Chem. Eng. Data. 1980. Vol. 25. P. 361–370.

Резумат

Решенду-се дин екуация женирализатэ а реакцией, сау ефектут калкуле термодинамиче але кондициилор оптиме де екстракции прии дезалкализаре субтеранэ а минерурилор де уран, луиду-се дрепт модель оксидул де уран (IV). Са демонстрат, кэ челе май оптиме резултате се обции утилизынд ын калитате де оксидань пероксидул де хи-

дроженши хипоклоритул де потасиу. Резултателе обцинute се афлэ ын коресундере сатисфэктарае ку дателе экспериментале екзистенте, прекум ыш ку скемеле технологиче де екстракции прии дезалкализаре субтеранэ а минерурилор де уран.

Summary

On the basis of the generalized interaction equation a thermodynamic optimum conditions calculation method of the uranium ores lixiviation has been proposed. The uranium ores were considered to contain uranium (IV) oxide. It was shown, that the optimum conditions are realized when hydrogen peroxide and hypochlorite are used as oxidants. The calculation results were found to be in good agreement with the existent experimental data and technological schemes of the uranium ores lixiviation.

Институт химии АН МССР Поступила 29.03.89

СИБА КУЛЕМУ,
В. Н. ШАФРАНСКИЙ, М. С. ПОПОВ, Н. М. САМУСЬ

ИК-СПЕКТРОСКОПИЧЕСКОЕ ИССЛЕДОВАНИЕ КООРДИНИРОВАННОЙ НИТРАТОГРУППЫ В КОМПЛЕКСАХ МЕДИ(II), СОДЕРЖАЩИХ 2-ГИДРОКСИЭТИЛИМИНО-2-ОКСИ- 1-БЕНЗАЛЬДЕГИДАТ

Ранее нами [5] установлено, что нитрат меди взаимодействует с основанием Шиффа, полученным из 2-гидроксиэтиламина и 2-гидрокси-1-бензальдегида ($H_2L = 2\text{-HO}-C_6H_4-\text{CH}=\text{N}-\text{CH}_2-\text{CH}_2-\text{OH}$), с образованием разнообразных по составу и строению координационных соединений. Если реагирующие вещества ($\text{Cu}(\text{NO}_3)_2 \times 3\text{H}_2\text{O}$ и H_2L) взяты в соотношении 1:2, то из раствора получается продукт состава $\text{Cu}(\text{HL})_2$, а если 1:1, то образуется комплекс $\text{Cu}(\text{HL})\text{NO}_3$.

Взаимодействием эквимолярных метанольных растворов последнего с такими протоакцепторными реагентами, как 3-пиколин или 4-пиколин, получены кристаллические соединения состава $\text{Cu}(\text{HL})\text{ANO}_3$, где A—3-CH₃—C₅H₄N и 4-CH₃—C₅H₄N.

С целью выяснения строения этих комплексов в [3, 4] предприняты рентгеноструктурные исследования $\text{Cu}(\text{HL})\text{NO}_3$ (I), $\text{Cu}(\text{HL})(3\text{-Pic})\text{NO}_3$ (II) и $\text{Cu}(\text{HL})(4\text{-Pic})\text{NO}_3$ (III) и установлено, что вещества I и III полимерны, а

II — димерное соединение. В качестве мостикового лиганда в I и III выступает нитратогруппа, дентатность которой в этих комплексах разная: в II она моно-, в III би-, а в I — триденатна. Основание Шиффа HL является однократно депротонированным тридентатным лигандом, присоединяясь к иону меди(II) иминным азотом, фенольным и спиртовым атомам кислорода.

Поскольку в литературе в ряде случаев отнесение полос координированной нитратогруппы с ионом центрального атома с указанием ее дентатности противоречивы [1, 2, 8, 10, 16], то представляло интерес провести ИК-спектроскопическое исследование этого ряда соединений меди(II) с H_2L , для которых координация нитратогруппы известна. Проведенное исследование позволяет расширить информативность ИК-спектров нитратсодержащих комплексов, для которых рентгеноструктурные характеристики отсутствуют.

Волновые числа (см^{-1}) максимумов полос поглощения и их отнесение

$\frac{N}{n/p}$	Содержание	$v_1(A_1)$	$v_2(A_1)$	$v_3(A_1)$	$v_4(B_1)$	$v_5(B_1)$	$v_6(B_2)$	$\Delta = v_4 - v_1$	C^*
I	$\text{Cu(HL)}\text{NO}_3$	1285	1025	725	1485	710	—	185	32,71
II	$\text{Cu(HL)}(3\text{-Pic})\text{NO}_3$	1300	1038	720	1480	708	808	180	31,02
III	$\text{Cu(HL)}(4\text{-Pic})\text{NO}_3$	1300	1038	725	1480	717	817	180	31,02

* Ковалентность связи $\text{M}-\text{ONO}_2$ рассчитана по Г. Зиберту [19].

ИК-спектры поглощения записывались на спектрофотометре UR-20. Использовалась методика растирания комплексов с вазелиновым и фторированным маслами.

Волновые числа максимумов полос поглощения и их отнесение для нитратогруппы, наряду с ковалентностью связи $\text{Cu}-\text{ONO}_2$, приведены в табл. Анализ ИК-спектров исследуемых комплексов позволяет сделать следующие выводы:

1. В спектрах комплексов I—III присутствуют все полосы, которые следует ожидать для координированной нитратогруппы (табл.), включая характеристическую полосу в области $1025\text{--}1038 \text{ см}^{-1}$ ($v_2(A_1)$). Подтверждением тому служит тот факт, что в спектрах исследуемых комплексов характерные полосы поглощения, отнесенные к нитрат-иону, а именно $v_3(E')$ с максимумом при $1390\text{--}1332 \text{ см}^{-1}$ [1, 6, 11, 13—15, 19], $v_2(A_2)$ — $860\text{--}800 \text{ см}^{-1}$ [6, 11, 13—16, 19], $v_4(E')$ — $732\text{--}720 \text{ см}^{-1}$ [6, 11, 14—17, 19] и $v_1(A')$ — 1050 см^{-1} [6, 11, 14], отсутствуют.

2. Из литературы [1, 6, 7, 11, 13, 14, 16—20] известно, что для монодентатной нитратогруппы характерны следующие интервалы основных колебательных частот: $v_1(A_1)$ — $1290\text{--}1250 \text{ см}^{-1}$, $v_2(A_1)$ — $1035\text{--}970 \text{ см}^{-1}$, $v_4(B_1)$ — $1530\text{--}1480 \text{ см}^{-1}$ и $v_6(B_2)$ — $800\text{--}780 \text{ см}^{-1}$. Критерием монодентатности нитратогруппы, согласно [8], могут служить также и две слабые полосы в области $1800\text{--}1700 \text{ см}^{-1}$.

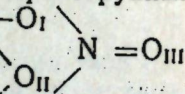
Анализ ИК-спектра комплекса II, в котором реализуется монодентатность нитратогруппы, показывает, что найденные значения частот полос поглощения совпадают с литературными данными.

3. В $\text{Cu(HL)}(4\text{-Pic})\text{NO}_3$ (III), в отличие от II, нитратогруппа является

бидентатномостиковой. Однако его ИК-спектр в основном идентичен ИК-спектру II, что, вероятно, связано с их одинаковой C_{2v} симметрией [18]. Кроме указанных частот в табл. для комплекса III наблюдается сильная полоса поглощения в области 1550 см^{-1} и средняя — при 1256 см^{-1} , имеющие, таким образом, разницу 294 см^{-1} . Эти данные совпадают со значениями частот 1545 , 1260 см^{-1} и их разницей 285 см^{-1} , приведенными в работе [10] для мостиковой нитратогруппы в $[\text{Ni}(2\text{-Ме-БО})_2(\text{NO}_3)_2]$, где 2-Ме-БО — 2-метилбензоксазол.

Следовательно, присутствие вышеуказанных полос в спектрах нитратсодержащих соединений может служить критерием наличия в них мостиковой бидентатной нитратогруппы.

4. Тридентатность



в $\text{Cu(HL)}\text{NO}_3$ (I) [3] в некоторой степени оказывает влияние на значения частот максимумов полос поглощения (табл.), что согласуется с понижением симметрии нитратогруппы. Следовательно, однозначно решить вопрос о би- или тридентатности нитратогруппы в комплексах только по ИК-спектрам трудно.

5. Из литературы известно, что чем прочнее координационная связь нитратогруппы с атомом металла-комплексообразователя, тем больше искажение этой группы и тем больше должна быть разность $\Delta = v_4 - v_1$ [1, 9, 12, 14, 15, 18]. В изученных нами нитратсодержащих комплексах найдены значения Δ , равные $185\text{--}180 \text{ см}^{-1}$, что подтверждает наличие в них ковалентно связанной нитратогруппы. Некоторое увеличение степени ковалентности в $\text{Cu(HL)}\text{NO}_3$ (I) согласуется с изменением дентатности нитратогруппы. Однако и эти характе-

ристики незначительно различаются между собой для исследуемых комплексов, хотя их строение принципиально разное.

ЛИТЕРАТУРА

16. Prost Michel, Versand Pierre Claude, Pichat Pierre. Comptes Rendus de l'Académie des Sciences. Paris. 1975. T. 280. Série C. N. 7. P. 451—454.
17. Richard V. Biagetti, Bottyer W. G., Haenlder H. M.//Inorg. Chem. 1966. Vol. 5. N 3. P. 379—382.
18. Hendrick D. G., Foster R. J.//J. Inorg. Nucl. Chem. 1972. Vol. 34. P. 1949—1954.
19. Siebert Hans//Z. für Anorg. und Allgem. Chemie. 1959. Bd. 298. H 1/2—5/6. S. 51—63.
20. Zinner L. B., Vicentini G., Rothschild L.//J. Inorg. Nucl. Chem. 1974. Vol. 36. N 11. P. 2499—2505.

Резумат

Метода спектроскопией IR а фост фоло-
ситэ па студиеря компушilor координативъ
а Cu(II) ку база Шифф (H_2L), обцинутэ дин
хидрокситетилиминэ-2-ши хидрокси-2-бензальде-
хидэ-1-ши амине хетероцикличе (Амин-3-ши
пиколинэ-4) ку композиция $\text{Cu(HL)}(\text{Amin})\text{NO}_3$.
А фост стабилит, кэ база Шифф есте лиганд
монодепротонат тридентат, легинду-се де
Cu(II) при атомул де азот имин ши атомий
де оксиген алкоолик ши фенолик. Нитрогру-
пуй депенденцэ де композиция комплексу-
луй ши натура алтор лиганзы, жоакэ ролул де
лиганд моно- сау бидентат.

Summary

The coordinative compounds of Cu(II) with the Schiff-base, obtained from 2-hydroxyethylamine and 2-hydroxy-1-benzaldehyde and by heterocyclic amines (Amin-3 and 4-picoline) of the composition $\text{Cu(HL)}(\text{Amin})\text{NO}_3$, where H_2L is the Schiff-base have been investigated by the IK-spectroscopic method. It is shown that the Schiff-base is the monodeprotonated tridentates ligand, and is being linked to the Cu(II)-ion by the imine nitrogen (N), phenolic and alcoholic atoms of oxygenum. The nitro-group plays the role of the monodentate or bidentate bridge ligand in accordance with the structure of the complex and the nature of other ligands. The degree of covalence of these bonds has been determined.

Кишиневский государственный университет
им. В. И. Ленина,
Институт химии АН МССР

Поступила 13.03.89

Н. А. БАРБА, МЕГХЕЗЗИ АХМЕД,
И. Д. КОРЖА, И. В. ДРАНКА

ТЕРМОГРАВИМЕТРИЧЕСКОЕ ИССЛЕДОВАНИЕ ПОЛИ-N-(4-ВИНИЛФЕНИЛ) АЛКИЛТИОНКАРБАМАТОВ

Известно [3], что низкомолекулярные эфиры тиокарбоминовой кислоты препятствуют термо- и фотостарению полимеров. Алкилтионкарбаматные группировки в стирольных звеньях улучшают термомеханические и адгезионные свойства полистирола [1]. Однако в литературе отсутствуют какие-либо данные относительно влияния подобных группировок на термостойкость полимеров.

В настоящей работе нами получены и исследованы поли-N-(винилфенил) алкилтионкарбаматы общей формулы: $\sim\text{CH}_2-\text{CH}-\text{S}$

$\begin{array}{c} | \\ \text{C}_6\text{H}_4-\text{NH}-\overset{\text{II}}{\underset{\text{S}}{\text{C}}}-\text{OR}, \\ \text{где R}=\text{CH}_3(\text{I}), \text{C}_2\text{H}_5(\text{II}), \text{C}_3\text{H}_7(\text{III}), \\ \text{C}_4\text{H}_9(\text{IV}) \end{array}$
и соответствующие мономеры (I—IVM).

Таблица 1. Результаты термогравиметрического исследования пара-замещенных производных полистирола общей формулы $\sim\text{CH}_2-\text{CH}-\text{C}_6\text{H}_4-\text{X}$

№ соединения	X	$\eta \cdot 10^3$, м ² /кг	Характеристика эффектов по кривой ДТА, °C			Убыль массы, %	Отнесение термических эффектов	Температура полного разложения полимера, °C
			эффект	начало	максимум			
I	NHCOC ₃ H ₇	1,8	Эндо	130	195	245	16,5(16,0)*	Отщепление CH ₃ OH
	S		Экзо	245	280	330	8,0	Разложение
			Экзо	330	375	410	13,0	и окисление
			Экзо	410	585	725	62,5	Отщепление C ₂ H ₅ OH
II	NHCOC ₂ H ₅	1,7	Эндо	130	200	217	22,5(22,2)*	Разложение и окисление
	S		Экзо	217	270	310	9,5	Отщепление C ₂ H ₅ OH
			Экзо	310	400	420	18,5	Разложение и окисление
			Экзо	420	560	720	49,5	Отщепление C ₃ H ₇ OH
III	NHCOC ₂ H ₅	1,9	Эндо	130	197	220	26,5(27,1)*	Разложение и окисление
	S		Экзо	220	285	310	11,0	Отщепление C ₃ H ₇ OH
			Экзо	310	365	410	5,0	Разложение и окисление
			Экзо	410	550	730	57,5	Отщепление C ₄ H ₉ OH
IV	NHCOC ₄ H ₉	2,0	Эндо	130	195	240	31,0(31,5)*	Разложение и окисление
	S		Экзо	240	300	365	13,0	Отщепление C ₄ H ₉ OH
			Экзо	365	390	440	15,5	Разложение и окисление
			Экзо	440	590	730	40,5	Разложение и окисление
V	NCS	2,2	Экзо	230	300	360	11,5	Разложение и окисление
			Экзо	360	390	440	22,5	Разложение и окисление
			Экзо	440	660	710	66,0	В основном деполимеризация
VI	PC	2,8	Эндо	265	350	400	94,0	

* Приводится теоретическое количество отщепляемого спирта.

Экспериментальная часть

Смесь $2 \cdot 10^{-3}$ моль N-4-винилфенилалкилтионкарбамата (I—IVM), 0,8 мл свежеперегнанного циклогексана и 3 мол% α , α' -азобisisизобутиронитрила после освобождения от кислорода воздуха нагревали в закрытой ампуле при 80°C в течение 3 часов. Полимер осаждали метанолом и сушили в вакуум-сушильном шкафу до постоянной массы при $\sim 50^\circ\text{C}$. Выход полимеров I—IV достигает 95%.

Комплексный термический анализ (ТГ—ДТГ—ДТА) проводился на дериватографе системы Паулик-Паулик-Эрдей типа OD-102 в воздушной среде в интервале температур 20—1000°C. Навеска образцов составляла 100 мг, чувствительность ТГ — 100 мг, ДТГ — 1/5.

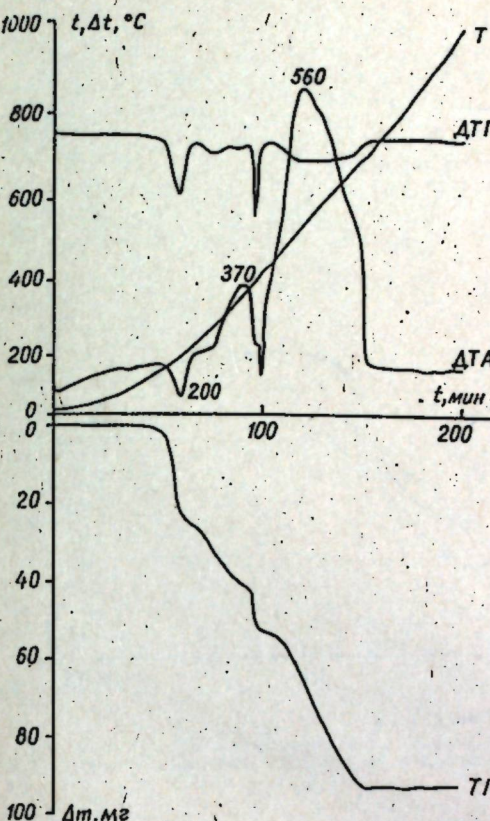


Рис. 1. Дериватограмма поли-N-(4-винилфенил) этилтионокарбамата ($X = \text{NHC}(\text{S})\text{OC}_2\text{H}_5$)

скорость подъема температуры 5 град/мин, чувствительности ДТА и ДТГ — 1/5. В качестве эталона использовали прокаленную окись алюминия. Кинетику отщепления спиртов от полимеров I—IV, нанесенных на пластинки из KBr в виде пленок толщиной 30—40 мкм, исследовали на спектрофотометре UR-10 при 170°C по изменению отношения интенсивностей полос поглощения ν_{NCS} (2100) к ν кольца (1605 см⁻¹) во времени.

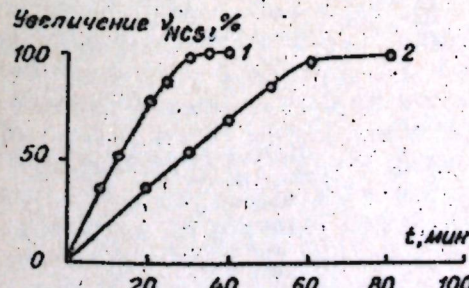
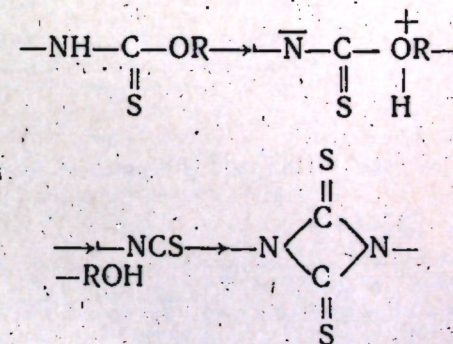


Рис. 2. Скорость образования NCS-групп при 170°C:

1 — поли-N-(4-винилфенил)метилтионокарбамат;
2 — поли-N-(4-винилфенил)пропилтионокарбамат;

Результаты и их обсуждение

Результаты термического анализа полимеров показывают, что в интервале температур 130—245°C соединения I—IV (табл. 1) отщепляют соответствующие спирты. Об этом свидетельствуют четкие эндотермические эффекты на кривой ДТА и соответствующая им убыль массы на кривых ДТГ и ТГ (рис. 1). Убыль массы первых пиков соответствует теоретическому количеству отщепляемого спирта. Далее на дериватограммах в области 217—730°C наблюдаются два экзотермических эффекта. Первый в интервале 217—420°C отнесен к частичному разложению полимеров, а второй, более выраженный — полной их деструкции. Протекающие при этом процессы могут быть представлены схемой:



Легкое отщепление спиртов, вероятно, связано с автопротолизом. Кинетические кривые (рис. 2) показывают, что с увеличением молекулярной массы спиртов скорость их отщепления уменьшается. Однако при достижении температуры $\sim 245^\circ$ полимеры I—IV образуют один и тот же поли-4-изотионцианатостирол. Дальнейший термализ показал сходство в поведении полимеров I—IV и поли-4-изотионцианатостирола (V), полученного из соответствующего мономера (табл. 1). Убыль массы в случае полимеров I—V при достижении температуры 410—420°C составляет лишь 20—30%, в то время как для полистирола VI достигает 94%. Такое резкое отличие полимеров I—V от VI можно объяснить возможностью сшивания макромолекул I—V за счет NCS-групп. Образцы, нагретые при 200°C в течение

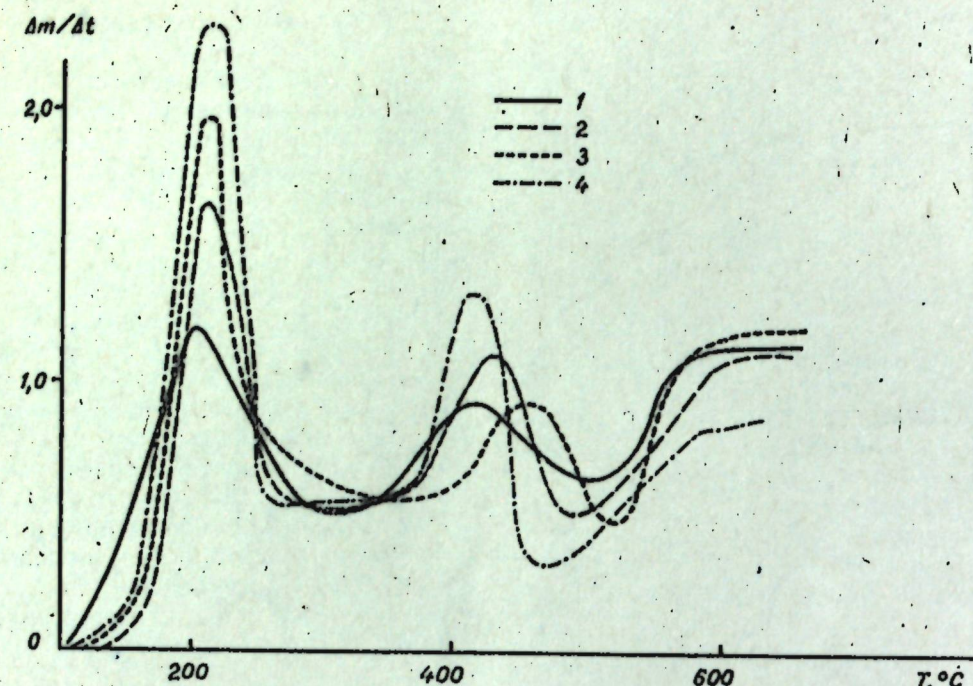


Рис. 3. Изменение скорости убыли массы от температуры:

1 — поли-N-(4-винилфенил)метилтионокарбамат; 2 — поли-N-(4-винилфенил)этилтионокарбамат;
3 — поли-N-(4-винилфенил)пропилтионокарбамат; 4 — поли-N-(4-винилфенил)бутилтионокарбамат

Таблица 2. Результаты термогравиметрического исследования N-(4-винилфенил)алкилтионокарбаматов $\text{CH}_2=\text{CH}-\text{C}_6\text{H}_4-\text{NH}-\text{C}(=\text{O})-\text{OR} \xrightarrow[\text{S}]{\text{S}}$

№ соединения	R	Характеристика кривой ДТА	Температурный интервал, °C	Убыль массы, %	Отнесение термических эффектов
I м	CH_3	Эндо	103—105	—	Плавление
		Экзо	110—160	—	Полимеризация
		Эндо	160—240	42	Отщепление CH_3OH и испарение м*
	C_2H_5	Экзо	240—450	19,0	Разложение полимера
		Экзо	450—710	39	
		Эндо	69—72	—	Плавление
II м	C_2H_5	Экзо	100—165	—	Полимеризация
		Эндо	165—240	37,0	Отщепление $\text{C}_2\text{H}_5\text{OH}$ и испарение м*
		Экзо	240—400	26,0	Разложение полимера
	C_3H_7	Экзо	400—710	37,0	
		Эндо	59—61	—	Плавление
		Экзо	100—160	—	Полимеризация
III м	C_3H_7	Эндо	160—250	43,0	Отщепление $\text{C}_3\text{H}_7\text{OH}$ и испарение м*
		Экзо	250—440	23,0	Разложение полимера
		Экзо	440—710	34,0	
	C_4H_9	Эндо	54—56	—	Плавление
		Экзо	120—160	—	Полимеризация
		Эндо	160—270	57	Отщепление $\text{C}_4\text{H}_9\text{OH}$ и испарение м*
IV м	C_4H_9	Экзо	270—425	16	Разложение полимера
		Экзо	425—700	27	

* Испарение мономера.

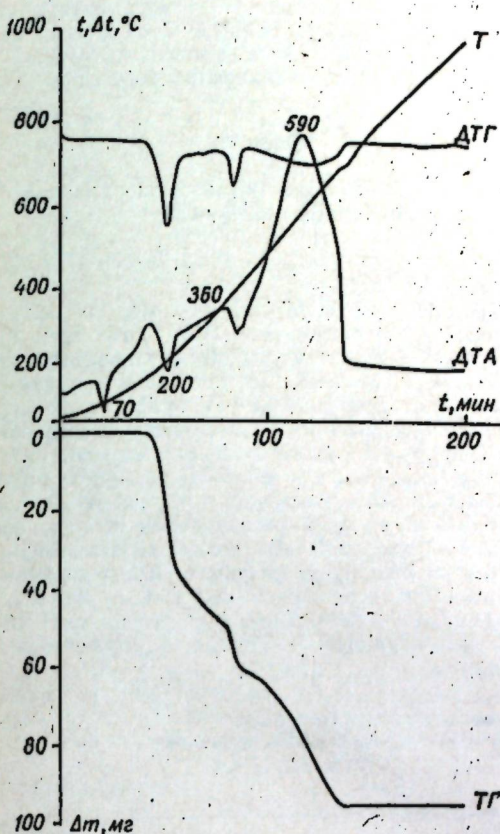
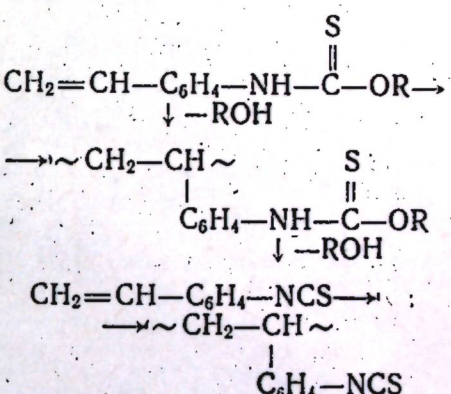


Рис. 4. Дериватограмма мономера N-(4-винилфенил)этантионокарбамата

блудаются эндотермические эффекты без убыли массы. Они относятся к температурам плавления мономеров и близки к литературным данным [2]. С повышением температуры (100—190°C) обнаруживаются уже экзотермические эффекты также без убыли массы, связанные с полимеризацией расплавов I—IV. Дальнейший термолиз приводит к эндотермическим эффектам (160—270°C), отнесенными наим к отщеплению спиртов от образовавшихся полимеров I—IV и не вступивших в реакцию полимеризации мономеров. Эти процессы протекают по следующей схеме:



Возможна и сополимеризация мономеров I—IV с образовавшимся 4-изотиоцианатостиролом с последующим отщеплением спирта, которое сопровождается также сшивкой полимера. Данные табл. 2 показывают, что величина убыли массы выше, чем рассчитанное для отщепляемых спиртов. Это связано с испарением мономеров, потери которых за счет летучести достигают 26%. Такой процесс особенно характерен для более низкомолекулярного мономера I м. Дальнейший термолиз (240—450°C) приводит к разложению частично сшитых полимеров аналогично поли-4-изотиоцианатостиролу; полное разложение достигается при 710°C.

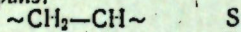
Полученные результаты дают основание заключить, что поли-N-(4-винилфенил)алкилтионокарбаматы образуют при термолизе сшитые полимеры — поли-4-изотиоцианатостирол, который обладает большей термостойкостью, чем полистирол.

ЛИТЕРАТУРА

- Барба Н. А., Коржа И. Д., Гуцу Я. Е., Робу С. В., Шукла Р. К., Шур А. М. //Химия координационных соединений, сорбционные процессы. Кишинев, 1977. С. 127.
- Барба Н. А., Доня А. П., Шур Н. М. Азотсодержащие виниларены. Кишинев, 1985. С. 165.
- Фойгт И. Стабилизация синтетических полимеров против действия света и тепла. Л., 1972. С. 296.

Резумат

Фолоснид метода комплексе де анализ термикэ, ау фост студиць поли-N-ванилфенил-4)-алкилтионокарбамаций ку формула же-нералэ:

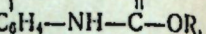


$\begin{array}{c} | \\ \text{C}_6\text{H}_4-\text{NH}-\text{C}-\text{OR}, \end{array}$ унде $\text{R}=\text{CH}_3(1), \text{C}_2\text{H}_5(2), \text{C}_3\text{H}_7(3), \text{C}_4\text{H}_9(4)$ ши мономерий (I—IVm). Ын интервалул температур де 130—245°C компуший I—IV се дескомпун ку елиминиаря алкоолилор кореспунзэторъ. Феноменул ачеста се обсервэ прии анариция ефектelor ендотермиче дин курбеле АДТ ши скимбэра масей (курбеле ГГД ши ГТ). Ачест процес с урмат де формаря группелор NCS каре провоакэ коасера макромолекулелор ши спорири резистенцией термиче а полимерилор.

Анализа мономерилор Iм—IVм а арэят, кэ ла температура де 100—190°C се полимеризэя, яр термолиза ўн континуаре се асамзэне ку термолиза полимерилор кореспунзэторъ.

Summary

Poly-N-(4-vinylphenyl) acyltinocarbamates of common formula $\sim \text{CH}_2-\text{CH} \sim \quad \text{S}$



where $\text{R}=\text{CH}_3(1),$

$\text{C}_2\text{H}_5(2), \text{C}_3\text{H}_7(3), \text{C}_4\text{H}_9(4)$ and the corresponding monomers (Im—IVm) have been investigated by means of the complex thermal method of analysis. In the interval of 130—245°C the compounds I—IV split out the corresponding alcohols. The efficient endothermic effects on the curve DTA and the corresponding loss of mass on DTG and TG prove this idea. This process is accompanied by the formation of NCS groups which lead to the joint of macromolecules and the increasing of thermal stability of polymers. The analysis of Im—IVm monomers showed that in the interval of 100—190°C they are polymerized and further thermolysis is similar to polymeric analogues.

Институт химии АН МССР,
Кишиневский государственный университет
им. В. И. Ленина

Поступила 06.04.89

В ИЗДАТЕЛЬСТВЕ «ШТИИНЦА» ГОТОВИТСЯ К ВЫПУСКУ В 1990 ГОДУ

Тышкевич Г. Л. РАСТЕНИЯ И ПРОБЛЕМЫ ВЕКА. 15 л. Рус. яз.
80 к.

Демографический взрыв, научно-технический прогресс вызвали к жизни ситуации, в непростом решении которых к человеку приходят его верные друзья — растения. В научно-популярной форме рассказывается о том, как с их помощью можно в известной мере решить некоторые особенно острые проблемы современного общества: продовольственную, энергетическую, экологическую.

Здесь Вы прочтете о старых знакомых и новых друзьях, о нетрадиционных источниках энергии, о естественных удобрениях и естественных пестицидах, о благотворном влиянии растений на человека.

Книга рассчитана на широкий круг читателей.

Оформление заказа см.
на 2-й странице обложки.

КРАТКИЕ СООБЩЕНИЯ

Н. С. БАЛЛАУР, М. И. КОПЫТ

ДИАГНОСТИКА ХОЛОДОУСТОЙЧИВОСТИ РАСТЕНИЙ КУКУРУЗЫ НА ОСНОВЕ ОПРЕДЕЛЕНИЯ ЭНЕРГЕТИЧЕСКИХ ПОТЕРЬ

Повышение холодаустойчивости сельскохозяйственных растений — актуальная задача для большинства регионов нашей страны. Ее успешное решение связано и с развитием методов диагностики, так как только на их основе возможен отбор форм растений, устойчивых к действию пониженных температур. Применяемые сегодня для этих целей методы удовлетворяют не все требования, предъявляемые к способам диагностики устойчивости растений [4].

Нами [1] разработан иерархизирующий способ оценки, основанный на интегральном показателе функционального состояния растений — энергетических потерях радиационного баланса листьев, позволяющий проводить отбор различных по холодаустойчивости гибридов и линий кукурузы на ранних этапах онтогенеза.

Энергетические потери определяли в условиях искусственного климата в системе АСНИИ Биотрон ИЭГ АН МССР, как сумму потерь на транспирацию (LE) и лучистый теплобмен ($\alpha\Delta T$) по методике [1] (α — коэффициент теплопередачи, ΔT — разность между температурами листьев и воздуха, L — удельная теплота парообразования воды, E — интенсивность транспирации). В экспериментах использовали предоставленные нам НПО «Гибрид» МССР контрастные по холодаустойчивости гибриды кукурузы. Для оценки эффективности способа изучали также динамику энергетических потерь при экзогенной регуляции холодаустойчивости растений. В этом случае семена прорашивали в течение суток в растворе ТУР, способствующем повышению устойчивости к пониженным температурам [3].

Влияние пониженной температуры (+2°C) на энергетические потери контрастных по холодаустойчивости гибридов кукурузы (табл. 1) приводит к перераспределению составляющих

энергопотерь. Потери на транспирацию снижаются, а на лучистый теплобмен — возрастают. Однако общий уровень энергетических потерь у холодаустойчивого гибрида практически не изменяется. В то же время для нехолодаустойчивых растений характерен значительный спад (около 40%) уровня энергопотерь, который связан, по-видимому, с функциональным повреждением растительного организма, поскольку нехолодаустойчивые растения характеризовались в период восстановления замедленным ростом и пониженной интенсивностью дыхания [2]. Перераспределение составляющих энергопотерь в результате действия пониженной температуры, вероятно, является следствием адаптивной реакции растений, в результате которой повышается температура листьев.

Изучение действия ТУР на возможность повышения холодаустойчивости растений кукурузы показало, что и в условиях искусственного климата установленный ранее [3] эффект сохраняется (табл. 2). Это выражается в увеличении процента выживших после действия пониженных температур растений. Результат вегетационного опыта, в котором растения высевали в «холодную» почву (+6°C), также показывает положительное действие предпосевной обработки семян раствором ТУР. Растения характеризовались более интенсивным развитием в период восстановления после снятия неблагоприятного температурного фактора и, в конечном счете, более высокой продуктивностью. При этом индуцированное повышение холодаустойчивости у нехолодаустойчивых растений сопровождается стабилизацией уровня энергетических потерь по типу холодаустойчивой формы (табл. 3). Как видно из сравнения полученных результатов (табл. 1 и 3), изменения структуры энергопотерь растений в вариантах с экзогенной регуляцией холодаустойчивости

Таблица 1. Оценка холодаустойчивости кукурузы по уровню энергопотерь

Данные НПО «Гибрид» МССР индекс характеристики гибрида	оценка холодаустойчи- вости холодным методом прорастания (+8°C), % проросших семян	Энергетические потери, мВт/см ² (+2°C)		
		параметр	до пони- жения темпе- ратуры	после 2-х суток охлаж- дения
1 (устойчивый)	80,0	$\alpha\Delta T$	3,6±0,1	6,6±0,3
		LE	8,0±0,5	4,6±0,1
2 (неустойчивый)	1,3	$\alpha\Delta T+LE$	11,6±0,5	11,2±0,3
		$\alpha\Delta T$	2,0±0,1	5,7±0,1
		LE	11,2±0,7	2,0±0,1
		$\alpha\Delta T+LE$	13,2±0,8	7,7±0,1

Таблица 2. Влияние раствора ТУР на холодоустойчивость и продуктивность гибрида кукурузы ПЗ978СВ

№ опыта	Изученные параметры	Контроль	Опыт, концентрация, ТУР, %		
			0,01	0,02	0,03
Условия искусственного климата ($T = +3 \div +5^\circ\text{C}$)					
1	% выживших растений	19	—	30	—
2	% выживших растений	52	—	81	—
Вегетационный опыт (1988 г.)					
3	% растений, достигших фазы 5 листьев на 20.05.88 г.	28	66	59	53
	Абсолютно сухая масса зерна с 1 растения, г	143 ± 6	151 ± 4	160 ± 3	153 ± 3
	Абсолютно сухая масса 1000 семян, г	242,4 ± 1,1	—	233,1 ± 3,4	—

Таблица 3. Влияние обработки семян ТУР на энергетические потери кукурузы при действии пониженных температур, мВт/см²

№ п/п	Вариант	Параметр	До действия пониженной температуры	После 2-х суток охлаждения	Изменение энергопотерь
1	ПЗ978СВ (контроль)	$\alpha\Delta T$ LE	4,1 ± 0,1 12,2 ± 0,5	5,7 ± 0,6 5,1 ± 0,2	5,5
2	ПЗ978СВ + + ТУР (0,02%)	$\alpha\Delta T + LE$ $\alpha\Delta T$ LE	16,3 ± 0,4 4,4 ± 0,2 10,7 ± 0,8	10,8 ± 0,8 6,6 ± 0,2 6,8 ± 0,1	1,7
		$\alpha\Delta T + LE$	15,1 ± 1,0	13,4 ± 0,2	

блики к таковым для холодоустойчивой формы.

Таким образом, энергетические потери радиационного баланса листьев, характеризуя в целом функциональное состояние растительного организма [1], позволяют использовать разработанный способ как для отбора холодоустойчивых форм кукурузы, так и для скрининга экзогенных регуляторов устойчивости растений к пониженным температурам.

ЛИТЕРАТУРА

- Балаур Н. С., Копыт М. И. Заявка на изобретение № 4100723/31-13(121252) от 05.08.86 г. Положительное решение от 30.05.88 г.
- Балаур Н. С., Копыт М. И., Кривова Л. П. Применение проблемно ориентированных информационно-измерительных комплексов в эколого-генетических исследованиях. Кишинев, 1986. С. 6-7.
- Гринченко А. Л., Назаренко О. А. //Физиология и биохимия культурных растений. 1981. Т. 13, № 5. С. 451-457.
- Методы оценки устойчивости растений к неблагоприятным условиям среды. Л., 1976.

Резумат

Се пропуне о методе де диагностикаре а резистенцией пэпушоулуй пе база мэсурэрий инвелулуй пердерилор енержетиче суб инфлюенса температурный скэзуте. Са констатат, кэ акциия дистругэтоаре а температурилор жаце асуупра плантелор аре лок конкомитент ку микшораря инвелулуй пердерилор енержетиче. Прелукрая екожэнэ а плантелор ку о солудие де «ТУР» спореште резистенца лор фасэ де температурile скэзуте ши стабилизээ инвелул пердерилор енержетиче супортате де сле.

Summary

A method of the maize cold-resistance diagnostics on the basis of the energy loss level change as the result of low temperature action has been proposed. It has been shown that the damaging action of low temperatures on maize plants is accompanied by the level decrease of their energy losses which are stabilized with the exogenic increase of plant cold-resistance by means of CCC treatment.

Институт физиологии и биохимии растений АН МССР

Поступила 24.01.89

И. Д. ТРОМБИЦКИЙ, В. М. МАНЯ

РОЛЬ СТИЛЕТНЫХ ЦЕРКАРИЙ В ВЫРАБОТКЕ ИММУНИТЕТА ПРОТИВ ДИПЛОСТОМОЗА РЫБ

Диплостомозы рыб — группа trematodoz, вызываемых паразитированием, преимущественно в хрусталике глаза метацеркарий рода *Diplostomum* (*Strigeidaida*). Заболеванию в прудовых хозяйствах Молдавии подвержены белый и пестрый толстолобики, белый амур, буффало, канальный сом и др. Для профилактики диплостомозов используют моллюски, вносимые в пруды для уничтожения прудовиков — первых промежуточных хозяев паразитов. С этой же целью в пруды подсаживают питающихся моллюсками черного амура. Эти методы, однако, не нашли широкого применения в рыбном хозяйстве. Единственный препаратом, вызывающим гибель метацеркарий в рыбе, является празиквантель (дронцит) [2], однако он дорог, а рыбы некоторых видов не потребляют лечебные корма. Ранее выявлено, что гомогенаты спороцист, редий, церкарий и метацеркарий диплостомид обладают иммуногенностью [1, 5, 6], а наиболее мощным источником антигенов является инвазированная пищеварительная железа моллюсков [1]. Представляется перспективной разработка способов иммунопрофилактики заболевания. Настоящее исследование посвящено изучению возможной роли специфических для земноводных стилетных церкарий в выработке гетерологического иммунитета у рыб к диплостомозу.

Опыты проводили на трехмесячных красных меченосяцах *Xiphophorus helleri* (табл.). Для стимуляции иммунного ответа рыбы были инъектированы по 0,01 мл подкожно в область ниже основания спинного плавника эмульсиями следующего состава: 1-я группа (контроль) и 4-я группа — иммуностимулятор — полный адьювант Фрейнда (ПАФ) «Gibco» в физрастворе (1:3); 2-я группа — ПАФ, гомогенат лиофилизированной пищеварительной железы прудовиков *Lymnaea stagnalis*, инвазированных *Diplostomum spathaceum* s. str. физраствор (1:1:3); 3-я группа — ПАФ, гомогенат лиофилизированного панкреаса зараженных стилетными церкариями *Xiphidiocercaria* sp. моллюсков *Lymnaea stagnalis* в физрастворе (1:1:3).

После инъекции рыб рассадили в 4 аквариума вместимостью по 20 л, в течение всего опыта их содержали при температуре 21-23°C и кормили промытым трубочником, а рыб 4-й группы первые 2 дня — свежей пищеварительной железой прудовика, зараженной ксифидиоцеркариями. В этот же период в аквариум были внесены живые *Xiphidiocercaria* sp., вышедшие из моллюска, из расчета 30 шт./л.

На 8-е сутки во все четыре аквариума добавили церкарии *D. spathaceum* s. str. из расчета 30 шт./рыбу. На 14-е сутки проведен учет приживаемости диплостомид путем паразитологического исследования хрусталиков глаз рыб. Зараженность рыб на 14-е сутки была наибольшей в контроле, наименьшей — у

рыб 3-й группы (табл.). Достоверных различий по приживаемости церкарий *D. spathaceum* s. str. у рыб, инъцированных эмульсиями с гомогенатами партенит диплостомид и ксифидиоцеркарий, не выявлено.

В пресноводных паразитоценозах существует конкуренция за первого промежуточного хозяина между trematodами разных видов, паразитирующими у одного или группы видов моллюсков. Инвазируя пищеварительную железу, неспецифические для рыб trematоды ограничивают размножение возбудителей заболеваний рыб, поскольку в одном прудовике, как правило, паразитируют партениты лишь одного вида. Полученные нами данные позволяют утверждать, что, заражая рыб и рассасываясь под кожей и в тканях, неспецифические церкарии могут вызывать повышение их устойчивости к диплостомозу. Очевидно, стилетные церкарии обладают антигенами, сходными по строению с поверхностными антигенами церкарий диплостомид. Случай успешной иммунизации гетерологическим материалом против различных паразитарных заболеваний (шистозомозы, цestодозы, нематодозы и др.) широко известны у высших позвоночных животных [3]. Антигенные родство паразитических инфузорий рыб *Ichthyophthirius multifiliis* и свободноживущих *Tetrahymena pyriformis* используется при получении промышленной вакцины против иктиофтизиоза [4].

Вид стилетных церкарий для эксперимента был взят наугад. Вероятно, что другие виды неспецифических для рыб церкарий могут вызывать еще более четко выраженный гетерологический иммунный ответ.

В прудовом паразитоценозе между trematodами, имеющими стилетных церкарий, и диплостомидами, помимо конкуренции за первого промежуточного хозяина, по-видимому, существует опосредованное гетерологическим иммунитетом взаимодействие, обусловливающее снижение приживаемости паразитов у рыб. Поиск неспецифических для рыб видов trematod, вызывающих выраженный иммунитет в отношении диплостомид, и направление формирования паразитоценоза могут явиться одним из путей профилактики диплостомоза. Целесообразна также отработка метода иммунизации молоди рыб неспецифическими церкариями против диплостомоза, т. е. использование их в качестве живой вакцины.

ЛИТЕРАТУРА

- Тромбецкий И. Д. //Сб. науч. тр. ВНИИПРХ. 1987. Вып. 50. С. 80-81.
- Bylund G., Sumari O. //J. Fish Diseases. 1981. Vol. 4. N 3. P. 259-264.
- Christensen N. O., Nansen P., Fagbemi D. O., Monrad J. //Parasit. Res. 1987. Vol. 73. N 5. P. 387-410.

Зараженность рыб метацеркариями ($M \pm m$)

Показатель	Группа рыб			
	1-я (контроль)	2-я	3-я	4-я
Число рыб	14	12	11	14
Вес рыб, г	$1,69 \pm 0,53$	$1,19 \pm 0,10$	$1,53 \pm 0,27$	$1,64 \pm 0,27$
Число диплостомид	$6,5 \pm 1,10$	$1,4 \pm 0,7^*$	$0,6 \pm 0,2^*$	$1,9 \pm 0,2^*$
Число диплостомид на 1 г массы рыбы	$3,98 \pm 0,59$	$1,14 \pm 0,59^*$	$0,55 \pm 0,17^*$	$1,46 \pm 0,23^*$

* Различия с контролем достоверны ($P < 0,99$).

4. Goven B. A., Dawe D. L., Graizek J. B. // J. Fish Biol. 1980. Vol. 17. N 3. P. 311–316.
 5. Stables J. N., Chappell L. H. // Ibid. 1986. Vol. 29. N 1. P. 115–122.
 6. Whyte S. K., Allan J. C., Secombes C. J., Chappell L. H. // Ibid. 1987. Vol. 31 (Suppl. A). P. 185–190.

Резумат

Експериментул а индикат, кэ паразитул броаштөлор *Xiphidiocercaria* sp. поате проруче да пешть иммунитетте етероложике постинвазионала контра черкарийлор *Diplostomum spathaceum* s. str. Асеменя результатау фост обцините ын урма инжектэрий субкутанее пештийлор оможенатулай лиофилизат дин хепатопанкреасул мелкулүй *Lymnaea stagnalis*, инфектат де паразитул *Xiphidiocercaria* sp., преэтит ын аджувантул комплект а луй Фрейнд.

Сэ дискутэ рацоналитет ши посбилитати фолосирй черкарийлор неспецифич пентру вакцинара пештийлор контра диплостомиазей.

Summary

It was noted during the experiment, that the parasite of frogs *Xiphidiocercaria* sp. may produce heterologous postinfection immunity against *Diplostomum cercariae* in fish. The same effect was registered after subcutaneous injection of homogenate of the pancreatic gland of snails *Lymnaea stagnalis*, infected with *Xiphidiocercaria* sp., in Freund's complete adjuvant. The possibility of fish vaccination against diplostomiasis with the use of other species of cercariae has been discussed.

Молдавская научно-исследовательская рыбоводческая станция

Поступила 13.03.89

В. Г. ГРАНАЧ

ДЕЙСТВИЕ КОМПОНЕНТОВ СИНТЕТИЧЕСКИХ СРЕД НА СООТНОШЕНИЕ БЕЛОК: ЛИПИД ПЛАЗМАТИЧЕСКИХ МЕМБРАН ГАМЕТ САМЦОВ СЕЛЬСКОХОЗЯЙСТВЕННЫХ ЖИВОТНЫХ

Ранее проведенными исследованиями в лаборатории криобиологии гамет сельскохозяйственных животных Института зоологии и физиологии АН МССР установлено, что устойчивость гамет быка, барана и хряка к низким температурам в большей степени зависит от величины соотношения белок:липид плазматических мембран свежеполученных гамет [1]. В связи с этим выяснение механизмов, обеспечивающих оптимальное соотношение белок:липид и стабилизацию функциональной полноценности гамет при глубоком замораживании, весьма актуально.

Дальнейшее развитие этого направления связано с поиском условий регуляции соотношения основных структурных компонентов мембран в интересах повышения устойчивости гамет к низким температурам.

Для проведения исследований богатые фракции плазматической мембранны получали по методике [4] в модификации нашей лаборатории путем центрифугирования в двухфазной полимерной системе на основе

декстрана с молекулярной массой 500 000 и полиэтиленгликоля — 6 000 дальтон производство фирмы "Fluka" A. G. Buchs (Швейцария). Степень их чистоты определяли по активности $Mg^{2+}(Na^++K^+)$ АТФазы (ЕС 3.6.1.3), щелочной фосфатазы (ЕА 3.1.1.1.) и 5'-нуклеотидазы (ЕС 3.1.3.5) согласно методикам, описанным [4]. Количество белка в изолированных плазматических мембранах определяли по [5]. Экстракцию общих липидов проводили по [3]. Количество липидов определяли по методу Блюра в модификации Брагдона, описанному [2].

Один из подходов регуляции величины соотношения белок:липид плазматических мембран гамет при криоконсервации спермы сельскохозяйственных животных предусматривает создание условий образования новых биокомплексов на основе взаимодействия компонентов защитных сред и плазматических мембран. С этой целью нами выполнены опыты по выяснению соотношения белок:липид плазматических мембран гамет быков-производ

Таблица 1. Изменение соотношения белок:липид плазматических мембран гамет баранов-производителей при криоконсервации в различных защитных средах

Группа опыта	Соотношение белок:липид плазматических мембран гамет после оттаивания
Среда: Лактозо-глицериновая (контроль)	$0,43 \pm 0,04$
Лактозо-глицериново-желточная + ОЛА-среда	$0,62 \pm 0,04^*$
Лактозо-глицериново-желточная	$0,60 \pm 0,02^*$

* $P < 0,05$.

водителей в зависимости от состава среды. Установлено, что при введении в состав криозащитной среды аргинина, относящейся к группе основных (щелочных) аминокислот, происходит взаимодействие указанной аминокислоты с компонентами мембран гамет, в результате чего соотношение белок:липид повысилось по сравнению с контролем.

Поскольку липиды составляют около 50% сухого вещества плазматических мембран гамет и при криоконсервации спермы они довольно лабильны, можно предположить, что экзогенные липиды, введенные в состав синтетических сред, играют важную роль в стабилизации соотношения белок:липид и функционального гомеостаза гамет в процессе криоконсервации. Для проверки этого предположения нами были выполнены исследования по выявлению возможности модификации структурных компонентов плазматической мембраны гамет путем введения в состав лактозо-глицериновой среды общих липидов: актиномицетов (ОЛА), полученных в Отделе микробиологии АН МССР, и желтка куриного яйца.

Исследования соотношения белок:липид плазматических мембран гамет барана после замораживания и оттаивания спермы показали, что величина данного показателя изменяется в зависимости от состава среды (табл. 1).

Величина соотношения белок:липид плазматических мембран гамет баранов после деконсервации выше при разбавлении спермы в среде, включающей общие липиды актиномицетов и желтка куриного яйца. При этом

изучаемый показатель в опытной группе на 44% выше контроля ($P < 0,05$). При разбавлении спермы лактозо-глицериново-желточной средой разница между опытной и контрольной группами составляет 39% ($P < 0,05$). Отмеченное повышение соотношения белок:липид в наших опытах, по-видимому, может быть объяснено: а) образованием новых биокомплексов между компонентами плазматических мембран и липопротеидами желтка, а также общими липидами актиномицетов, входящими в состав криозащитных сред; б) более высокой лабильностью липидов при криоконсервации биологических объектов и сохранением белков на высоком уровне.

Нами выполнено сравнительное испытание эффективности влияния сред — лактозо-желточно-гуммиарабикотрис-цитратно-глицериновой (ЛЖГТЦГ), предложенной ВНИИПлем, сахарозо-комплексонат $Na_2CaEDTA$ -желточно-ди-трет-бутил-крезоло-глицериновой (ВИЖ), предложенной ВИЖем, а также разработанной нами среды (табл. 1, вариант 2) на соотношение белок:липид плазматических мембран и показатели, характеризующие функциональное состояние гамет (табл. 2).

При криоконсервации спермы, разбавленной указанными средами, соотношение белок:липид плазматических мембран и морфофункциональные показатели спермиев баранов-производителей после замораживания и оттаивания существенно не различаются. В связи с этим предпочтение следует отдавать более технологичным средам.

Таким образом, на основе приведенных данных можно заключить, что возможность дальнейшего совершенствования метода криоконсервации гамет самцов сельскохозяйственных животных связана с поиском условий взаимодействия компонентов защитных сред и мембран гамет, обеспечивающих оптимальные соотношения основных структурных компонентов плазматических мембран.

ЛИТЕРАТУРА

- Наук В. А. // Криобиология. 1985. № 2. С. 47–50.
- Скорокод В. И., Стефаник М. Б. Методы исследования липидов в органах и тканях животных. Львов, 1983.
- Bligh B. G., Dyer W. J. // Can. J. Biochem. Physiol. 1959. Vol. 37. P. 911.
- Ivanov N., Profirov Y. I. // Reprod. Fert. 1981. Vol. 63, N 1. P. 25–29.

Таблица 2. Соотношение белок:липид плазматических мембран и функциональные показатели спермиев баранов-производителей при криоконсервации

Группа опыта	Показатель	среда ВИЖ (контроль)	ЛЖГТЦГ + агарин	ЛЖГТЦГ – среда
Соотношение белок:липид		$0,57 \pm 0,05$	$0,56 \pm 0,03$	$0,46 \pm 0,04$
Подвижность гамет после оттаивания, баллы		$3,75 \pm 0,48$	$3,75 \pm 0,25$	$3,62 \pm 0,43$
Выживаемость, %		$8,00 \pm 0,75$	$8,25 \pm 0,75$	$7,00 \pm 0,91$
Абсолютный показатель выживаемости		$16,87 \pm 2,21$	$18,19 \pm 2,49$	$16,31 \pm 3,73$
Интактность акросом, %		$38,67 \pm 3,18$	$40,00 \pm 2,00$	$37,33 \pm 2,19$

5. Lowry O. H., Rosebrough N. J., Farr A., Randall R. J. //J. Biol. Chem. 1950, Vol. 193. P. 265–275.

Резумат

Сепарация мембранелор пазматиче с'а effectуат при метода центрифугэй ын системул полимерик. С'а ажуис ла конклузия, кэ рапортул протеине:липиде ын процесул конжелэйр гаметилор депинде де компоненца медиулуй синтетик. Липиделе экзожене, ынродусе ын компоненца медиулуй синтетик, дук ла формаря биокомлекшилор иой.

Summary

Plasmatic membranes of agricultural animals gametes have been separated by centrifugation in the two-phase polymeric system. It has been shown that the correlation protein:lipid of plasmatic membrane gametes under cryoconservation depends on the composition of the environment. Exogene lipids introduced into the composition of the cryoprotective environment lead to the creation of new biocomplexes.

Институт зоологии
и физиологии АН МССР

Поступила 29.03.89

Г. Г. ДУКА, В. О. ШВЫДКИЙ, Д. Г. БАТЫР

ОПРЕДЕЛЕНИЕ НИТРИТ-ИОНОВ ПРИ ПОМОЩИ *n*-АМИНОБЕНЗОЙНОЙ КИСЛОТЫ И 1-НАФТИЛАМИНА

Экспериментальная часть

Для приготовления стандартного раствора нитрит-иона (1 М) применена соль марки х. ч. При анализе использованы растворы NaNO_2 , содержащие $1 \cdot 10^{-7} + 5 \cdot 10^{-6}$ М нитрит-иона.

Для приготовления растворов *n*-аминоbenзойной кислоты и 1-нафтиламина взяты реактивы марки ч. д. а.: 0,2 г *n*-аминоbenзойной кислоты в 100 мл 0,1 М HCl и 0,06 г 1-нафтиламина в 100 мл 12% CH_3COOH .

Спектры светопоглощения растворов сняты на спектрофотометре «Specord M-40». Оптимальные условия diazотирования и образования азокрасителя — кислая среда (рН 1,2). Максимум поглощения азокрасителя находится в интервале 525–540 нм. В дальнейшем измерения проводились на длине волны 540 нм.

Установлено, что оптическая плотность раствора пробы не меняется в присутствии, по крайней мере, 700–1500-кратного молярного избытка *n*-аминоbenзойной кислоты и 1-нафтиламина по отношению к нитрит-иону. В методе используется 720-кратный их избыток. Молярный коэффициент поглощения азопродукта, рассчитанный из калибровочного графика, составил $(4 \pm 0,2) \cdot 10^4 \text{ M}^{-1} \cdot \text{cm}^{-1}$.

Наиболее сильное влияние на определение ионов NO_2^- оказывают ионы железа(II) в присутствии этилендиаминететрауксусной кислоты (H_4edta). В отсутствие же H_4edta ионы железа(II) также влияют, но начиная с концентрации $1 \cdot 10^{-4}$ М. Влияние выражается в ингибировании процесса образования азокрасителя и не сказывается на его устойчивости.

Ионы меди(II) также ингибируют процесс образования красителя, но это проявляется при концентрациях более $6 \cdot 10^{-5}$ М и может быть устранено добавками H_4edta .

Допустимое соотношение $\text{NO}_2^-:\text{Fe}^{3+} = 1:20$.

Определению нитрит-ионов не мешают ионат-ионы, хлорид-ионы, ионы аммония даже при 1000-кратном их избытке по отношению к нитрит-ионам.

Если пробы мутные, она фильтруется через плотный фильтр «Миллипур» (0,45 мкр). К 9 мл пробы приливают по 1 мл раствора *n*-аминоbenзойной кислоты и 1-нафтиламина, взятых в соотношении 1:1. Через 15 мин снимается спектр поглощения при длинах волн 525–540 нм. Окрашенное соединение устойчиво более 10 ч. Концентрацию NO_2^- -иона определяют по калибровочному графику или рассчитывают по формуле $C=D/eI$, где D — оптическая плотность раствора, e — молярный коэффициент поглощения, I — длина кюветы, см, C — концентрация нитрит-ионов, М.

В табл. представлены результаты определения нитрит-ионов в природной и сточной водах.

Предлагаемый способ определения нитрит-ионов сравнивался с методом Грасса и дал сравнимые результаты. Среднее стандартное отклонение (S) при определении концентрации ионов NO_2^- в пределах $8 \cdot 10^{-7} + 5 \cdot 10^{-6}$ М составляет $1,1 \cdot 10^{-7}$ М.

Методика апробировалась как на природных, так и на сточных водах и дала положительные результаты.

При значительных концентрациях железа(II) недопустимо использование H_4edta в качестве маскирующего агента, так как в системе $\text{NO}_2^- - \text{Fe}^{2+} - \text{H}_4\text{edta}$ комплекс железа(II) с этилендиаминететрауксусной кислотой имеет более низкий редокс-потенциал, чем NO_2^- . Последний окисляет Fe^{2+} до Fe^{3+} , при этом сам восстанавливаясь до NO, N_2 .

Как правило, значительное количество ионов железа(II) может наблюдаться в условиях так называемого восстановительного состояния воды [1]. Такие условия передки и в сточных водах.

ЛИТЕРАТУРА

- Скурлатов Ю. И., Дука Г. Г., Эрнестова Л. С. //Изв. АН МССР. Сер. биол. и хим. наук. 1983, № 5. С. 3–20.
- Bashir W. A., Flamerz S. //Talanta. 1981, Vol. 28, N 9. P. 697–699.
- Flamerz S., Bashir W. A. //Microchem. J. 1981, Vol. 26, N 4. P. 586–589.

Результаты определения нитрит-ионов в пробах природной и сточной воды

Проба воды	$[\text{NO}_2^-]$, М	n	$S \cdot 10^{-7}$, М
Природная	$5,1 \cdot 10^{-6}$	12	1,5
Сточная	$2,4 \cdot 10^{-5}$	13	1,4
Природная	$3,2 \cdot 10^{-6}$	13	1,0
Сточная	$5,0 \cdot 10^{-6}$	9	0,9
Природная	$8,1 \cdot 10^{-7}$	8	0,5

4. Norwitz G., Keliher P. N. //Analyst. 1984, Vol. 109, N 10. P. 1281–1286.

5. Sulaiman S. T. //Anal. Chem. 1984, Vol. 56, N 13. P. 2405–2407.

Резумат

Се пропуне о методэ акчелератэ де детерминаре а ионилор де нитрит ын апел-натурале пермцицнд детектаря а $5 \cdot 10^{-7}$ М нитрит. Детерминаря ионилор де нитрит иу есте периклитатэ де ионий де клорурэ, де амониу, де нитрат кяр ши де мий де орь ын скисчес, яр ионий де фер — ын рапорт $\text{NO}_2^- : \text{Fe}^{3+} = 1:20$. Апликаря ачидулуй этилендиаминететрауксусной кислотой ка актив де маскарэ апаре инадмисибилэ ын презенца ионилор де фер(II).

Summary

A quick method of determining the nitrite ions in natural waters, which permits to detect the $5 \cdot 10^{-7}$ M nitrite, is suggested. Chloride ions, ammonium ions, nitrate ions in one thousand-fold excess as well as iron ions in the correlation $\text{NO}_2^- : \text{Fe}^{3+} = 1:20$ do not interfere with the determination of the nitrite ions. The application of the ethylenediaminetetraacetic acid as an active agent of masking is inadmissible in the presence of iron(II) ions.

Кишиневский государственный университет им. В. И. Ленина,
Кишиневский сельскохозяйственный институт
им. М. В. Фрунзе,
Институт химии АН МССР

Поступила 18.03.89

РЕФЕРАТЫ

УДК 616.13—004.6

Коронаросклероз в аспекте иммуноморфологии. Аистиади В. Х. // Известия Академии наук Молдавской ССР. Серия биологических и химических наук. 1989. № 5. С. 3—6.

Суммируя результаты многолетних исследований субстрата коронарных артерий сердца при атеросклерозе, с позиции иммуноморфологии констатируется отчетливый синергизм коагулологических и иммунологических факторов. При возникновении, прогрессировании и регрессировании атерогенеза синергизм указанных факторов играет существенную роль. Дальнейшее изучение иммуноморфологии коронаросклероза возымеет важное значение для фундаментального раскрытия пато- и морфогенеза, скрининга оптимальных мер коррекции. Библиогр. 8.

УДК 581.526.3+581.9/282.247.32:477.74+
+478.9/

Геоботаническое районирование устьевой области Днестра. Дубына Д. В. // Известия Академии наук Молдавской ССР. Серия биологических и химических наук. 1989. № 5. С. 7—12.

Дается характеристика водной, прибрежно-водной, болотной, луговой, лесной, галофитной и псаммофитной растительности устьевой области Днестра и особенностей ее территориального распределения. Выделены 4 геоботанических подрайона, дана детальная их характеристика и представленаность территории — единиц районирования в сети охраняемых объектов региона. Отмечаются территориальные изменения растительного покрова, обусловленные влиянием антропогенных факторов. Библиогр. 18. Ил. 1.

УДК 633.11:577.112

Свободные аминокислоты и качество зерна мягкой озимой пшеницы. Морару К. В., Тома З. Г., Степурина Т. Г. // Известия Академии наук Молдавской ССР. Серия биологических и химических наук. 1989. № 5. С. 13—15.

Изучался состав свободных аминокислот в здоровом и поврежденном вредной черепашкой зерне высококачественных и низкокачественных сортов мягкой озимой пшеницы. В здоровом зерне высококачественных сортов количество свободных аминокислот ниже, чем у слабых пшениц, что позволяет судить о сортоспецифичности использования фонда свободных аминокислот для синтеза запасных белков зерна. В пораженном зерне слабых пшениц сумма свободных аминокислот значительно выше по сравнению с высококачественными. Следовательно, степень гидролиза белков зерна при воздействии протеолитических ферментов клопа-черепашки также зависит от особенностей генотипа пшеницы. Выявленна форма пшеницы, зерно которой проявляет определенную стабильность качества. Табл. 2. Библиогр. 4.

УДК 581.138.8:634.8

Влияние внекорневого внесения комплекса микроэлементов в процесс закаливания на

фотосинтез прививок винограда. Корлэтьяну Л. Б., Жакотэ А. К. // Известия Академии наук Молдавской ССР. Серия биологических и химических наук. 1989. № 5. С. 16—19.

Изучено влияние внекорневого питания прививок винограда комплексом микроэлементов (Zn, Mn, В, Mo, Cu) в период закаливания на пигментную систему, оптические свойства и интенсивность фотосинтеза листьев. Установлено, что двукратная обработка прививок микроэлементами в концентрациях 0,01 и 0,02% в сочетании с освещенностью 10 тыс. лк и температурой воздуха 10—12°C повышает активность фотосинтетического аппарата, ускоряет срастание прививочных компонентов и повышает выход стандартных саженцев из школки на 10—15%. Табл. 4. Библиогр. 11.

УДК 634.1—15:631.563:581.192

Зависимость химического состава плодов груши при длительном хранении от сроков съема и условий произрастания. Бажурян Н. С., Гайковская Л. Т., Прохорова Л. М. // Известия Академии наук Молдавской ССР. Серия биологических и химических наук. 1989. № 5. С. 19—23.

Изучено влияние сроков съема и биологических особенностей сорта на изменение химического состава плодов груши зимнего срока созревания из двух зон произрастания при длительном хранении. Плоды, убранные в оптимальный срок съема, меньше расходовали сахара и органических кислот и к концу хранения обладали лучшими пищевкусовыми качествами; плоды из Кодровой зоны отличались лучшим качеством и лежкоспособностью. Табл. 4. Библиогр. 10.

УДК 581.192:634.11

Особенности пектинового комплекса плодов яблони, обработанных хлористым кальцием. Банташ В. Г., Арасимович В. В. // Известия Академии наук Молдавской ССР. Серия биологических и химических наук. 1989. № 5. С. 23—26.

Методами спектрофотометрии, атомно-абсорбционной спектрофотометрии и ИК-спектроскопии исследованы особенности состава пектинового комплекса из обработанных хлористым кальцием плодов яблони. Установлено, что введенный в плоды кальций, включаясь в состав протопектинов срединной пластинки, способствует торможению их созревания при хранении. Табл. 2. Библиогр. 8.

УДК 631.8:631.46:631.45

Динамика микробиологических процессов в почве под влиянием удобрений. Меренюк Г. В., Загорца К. Л., Фрунзе Н. И., Пламадяля В. И. // Известия Академии наук Молдавской ССР. Серия биологических и химических наук. 1989. № 5. С. 27—32.

Показано, что длительное применение минеральных удобрений ($N_{135}P_{90}K_{90}$ и выше) меняет структуру почвенных микробиологических

сообществ. Навоз (40 т/га) и невысокие дозы минеральных удобрений в сочетании с органическими оказывают положительное действие на баланс микробиологических процессов и гумуса. В качестве контроля предложено выбрать эталонные участки, обладающие положительным балансом гумуса и высоким эффективным плодородием. Табл. 3. Библиогр. 10. Ил. 3.

УДК 632.958.2

Значение птиц в интегрированной защите сада. Ганя И. М., Зубков Н. И., Гуссан Г. З., Скляров Н. А. // Известия Академии наук Молдавской ССР. Серия биологических и химических наук. 1989. № 5. С. 33—38.

Приведены данные по видовому составу и численности птиц промышленных садов до и после проведения мероприятий по их привлечению и снижению пестицидной нагрузки на древесные агроценозы. Описан характер использования птицами ИГ, их гнездовая биология, фенодаты и эффективность размножения на участках с различной степенью применения ядохимикатов. Выявлен состав корона насекомоядных птиц в садах. Отмечена их роль в комплексной защите садов от вредителей-фитофагов. Табл. 3. Библиогр. 6. Ил. 5.

УДК 595.754—155(478)

Резервации редких видов полужесткокрылых на каменистых склонах известняковых гряд Молдавии. Держанский В. В. // Известия Академии наук Молдавской ССР. Серия биологических и химических наук. 1989. № 5. С. 38—42.

Впервые исследована фауна клопов каменистых склонов известняковых гряд (толтр) Молдавии. Приведен список 173 видов, из которых 19 не отмечены в других условиях обитания региона. Около половины (54,3%) составляют широко распространенные палеарктические виды, велика доля средиземноморских (27,2%) и европейских (16,2%) видов. Сравнивается геминтерофауна толтр и аналогичных ксеротермных биотопов (барадже) в Северной Италии. Табл. 1. Библиогр. 5.

УДК 636:32/38.082.12

Группоспецифические факторы крови овец и их использование в селекционно-племенной работе. Марзаков Н. С., Люцканов П. И. // Известия Академии наук Молдавской ССР. Серия биологических и химических наук. 1989. № 5. С. 43—45.

На основе внутривородной и межпородной изоиммунизации овец получены 15 моноспецифических сывороток, выявляющие эритроцитарные антигены 6 систем групп крови. Всего иммунизации было подвергнуто 344 овцы различных пород и помесей. С помощью этих сывороток в ряде отар плесеновхозов Молдавии определена недостоверность происхождения ягнят — от 13,6 до 27,3%. Изучалась частота встречаемости антигенов по 7 системам групп крови овец у цыгайской, ост-Фризской пород и их помесей первого поколения в сравнении с ранее изученными ка-казской и каракульской породами. Подсчитаны частоты антигенов, аллелей, генотипов в пределах каждой системы. Общая степень гомозиготности у цыгайских овец на основе полученных частот аллелей составила 54,13%. Число выявленных феногрупп по 6 системам групп крови — 18. Библиогр. 7.

УДК 615.14:615:28

Фармакокинетика изониазида в растворах поливинилпирролидона. Ремеш В. В., Валюка В. В. // Известия Академии наук Молдавской ССР. Серия биологических и химических наук. 1989. № 5. С. 46—50.

Представлены результаты фармакокинетического влияния высокомолекулярного вещества — поливинилпирролидона (ПВП) на уровень и скорость поступления в кровь изониазида из внутрибрюшинной полости. При этом используется усовершенствованная авторами спектрофотометрическая методика определения изониазида в биожидкостях по Волленбергу. Оптическую плотность окрашенного комплекса изониазида с ванадатом аммония измеряют при длине волн 424 нм. Интервал определения концентрации изониазида от 10 до 120 мкг/мл. Показана целесообразность использования фракций ПВП с различными молекулярными весами в качестве вспомогательного вещества для изониазида. При этом проявляются различные фармакодинамические свойства ПВП. Табл. 2. Библиогр. 6. Ил. 4.

УДК 565.33.551.79

Развитие лимноцитер (Crustacea) в антропогене европейской части СССР. Негадаев-Никонов К. Н. // Известия Академии наук Молдавской ССР. Серия биологических и химических наук. 1989. № 5. С. 51—56.

Произведен пересмотр систематики лимноцитер. Рассмотрены филогенетические линии родов *Limnocythere*, *Denticulocythere*, *Paralimnocythere*. Все лимноцитеры группируются автором в два подсемейства: *Limnocytherinae*, получившее наибольшее развитие в плейстоцене и голоцене, и *Prolimnocytherinae subfam. nov.*, имеющее два рода *Denticulocythere* и *Paralimnocythere*. Описан новый вид *Paralimnocythere gibboides* Negadaev sp. nov. как связующее звено филогенетической линии между плиоценом и плейстоценом. Библиогр. 16.

УДК 541.8+541.49

Расчет оптимальных условий подземного выщелачивания урановых руд. Повар И. Г., Фиштак И. Ф., Ватаман И. И. // Известия Академии наук Молдавской ССР. Серия биологических и химических наук. 1989. № 5. С. 57—61.

В рамках подхода, основанного на обобщенных уравнениях реакции, проведен термодинамический расчет оптимальных условий подземного выщелачивания урановых руд на модели оксида урана (IV). Показано, что наиболее оптимальными из применяемых окислителей с термодинамической точки зрения являются пероксид водорода и гипохлорит ще-

ложного металла. Полученные результаты хорошо согласуются с существующими опытными данными и технологическими схемами по подземному выщелачиванию урановых руд. Табл. 1. Библиогр. 8. Ил. 2.

УДК 541.49:546.562

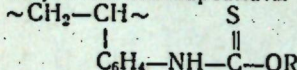
ИК-спектроскопическое исследование ко-
нъюнктуры 2-гидроксиэтиламина (II), со-
составленной из 2-гидрокси-1-бензальдегида, Сиба Ку-
лему, Шафранский В. Н., Попов М. С.,
Самусь Н. М./Известия Академии наук
Молдавской ССР. Серия биологических и
химических наук, 1989, № 5. С. 61–63.

Методом ИК-спектроскопии изучены координационные соединения меди(II) с основанием Шиффа, полученным из 2-гидроксиэтиламина и 2-гидрокси-1-бензальдегида, и гетероциклическими аминами (Amin —3- и 4-пиколин) состава $\text{Cu}(\text{HL})(\text{Amin})\text{NO}_3$, где H_2L — основание Шиффа. Показано, что основание Шиффа является однократно депротонированным триденатным лигандом, присоединяясь к иону меди(II) иминным азотом, фенильным и спиртовым атомам кислорода. Нитратогруппа в зависимости от состава комплекса и природы других лигандов играет роль монодентатного или бидентатного мостикового лиганда. Определена степень ковалентности этих связей. Табл. 1. Библиогр. 20.

УДК 543.226.547.538.141

Термогравиметрические исследования поли-
N-(4-винилфенил)алкилтионокарбаматов. Барба Н. А., Мегхеззи Ахмед, Коржа И. Д., Дранка И. В./Известия Академии наук Молдавской ССР. Серия биологических и химических наук, 1989, № 5. С. 64–68.

С использованием комплексного термического метода анализа изучены поли-N-(4-винилфенил)алкилтионокарбаматы общей формулы:



где $\text{R}=\text{CH}_3$ (I), C_2H_5 (II), C_3H_7 (III), C_4H_9 (IV) и соответствующие мономеры (I m —IV m). В интервале температур 130–245°C соединения I—IV отщепляют соответствующие спирты. Об этом свидетельствуют четкие эндотермические эффекты на кривой ДТА и соответствующая им убыль массы на ДТГ и ТГ. Этот процесс сопровождается образованием NCS-групп, которые приводят к сшивке макромолекул и повышению термостойкости полимеров. Анализ мономеров I m —IV m показал, что в интервале 100–190°C они полимеризуются, а дальнейший термозис подобен полимерным аналогам. Табл. 2. Библиогр. 3. Ил. 4.

УДК 581.1:58.087:63:524.85:633.15

Диагностика холдоустойчивости растений кукурузы на основе определения энергетических потерь. Балаур Н. С., Копыт М. И./Известия Академии наук Молдавской ССР. Серия биологических и химических наук, 1989, № 5. С. 69–70.

Предложен метод диагностики холдоустойчивости кукурузы на основе изменения уровня энергопотерь в результате действия пониженно-

ной температуры. Показано, что повреждающее действие пониженных температур на растения кукурузы сопровождается снижением уровня их энергетических потерь, которые стабилизируются при экзогенном повышении холдоустойчивости растений в результате обработки раствором ТУР. Табл. 3. Библиогр. 4.

УДК 597–12:616–084+576.895.122

Роль стилетных церкарий в выработке иммунитета против диплостомоза рыб. Тромбицкий И. Д., Маня В. М./Известия Академии наук Молдавской ССР. Серия биологических и химических наук, 1989, № 5. С. 71–72.

Трехмесячных меченоносцев инъецировали подкожно эмульсиями, содержащими полный адьювант Фрейнда, гомогенат лиофилизованных пищеварительных желез прудовиков, зараженных диплостомидами либо стилетными церкариями, или инфицировали живыми стилетными церкариями. Через 7 суток рыб заражали церкариями диплостомид. На 14-е сутки исследована приживаемость церкарий, которая оказалась значительно ниже по сравнению с контролем. Сделан вывод, что в прудовом паразитоценозе между третоматами, имеющими стилетных церкарий, и диплостомидами, помимо конкуренции за первого промежуточного хозяина, существует опосредованное гетерологическим иммунитетом снижение приживаемости диплостомид у рыб. Табл. 1. Библиогр. 6.

УДК 636.22.28.082.453

Действие компонентов синтетических сред на соотношение белок:липид плазматических мембран гамет самцов сельскохозяйственных животных. Гранач В. Г./Известия Академии наук Молдавской ССР. Серия биологических и химических наук, 1989, № 5. С. 72–73.

Методом центрифугирования в двухфазной полимерной системе на основе декстрана и полиэтиленгликоля выделены плазматические мембранны гамет сельскохозяйственных животных. Показано, что соотношение белок:липид плазматических мембран гамет при криоконсервации изменяется в зависимости от состава среды. Экзогенные липиды, введенные в состав криозащитной среды, приводят к образованию новых биокомплексов. Табл. 2. Библиогр. 5.

УДК 543.42.062:628.1.03

Определение нитрит-ионов при помощи α -аминонензойной кислоты и 1-нафтиламина. Дука Г. Г., Швыдкий В. О., Батыр Д. Г./Известия Академии наук Молдавской ССР. Серия биологических и химических наук, 1989, № 5. С. 74–75.

Предлагается экспресс-метод определения нитрит-ионов в природных водах, который позволяет определять $5 \cdot 10^{-7}$ М нитрита. Определению нитрит-ионов не мешают хлорид-ионы, ионы аммония, нитрата в 1000-кратном избытке, а ионы железа в соотношениях $\text{NO}_2^-:\text{Fe}^{3+}=1:20$. Показана недопустимость использования этилендиаминететрауксусной кислоты при наличии ионов железа(II) как активного маскирующего агента. Табл. 1. Библиогр. 5.

КУПРИНС

Анестиади В. Х. Склероза каронария — аспектул имуноморфологик

3

Бубына Д. В. Районаря жеображенка а теренулуй де делтэ а Нииструлуй

7

Физиология ши биокимия планителор

Морару К. В., Тома З. Г., Степуриня Т. Г. Аминоацизий либерь ши калитатя боз белор грыулуй де тоамэ

13

Корлэтяну Л. Б., Жакотэ А. Г. Инфлюенца администрэрий екстрарадиуларе а ми-
крыонгрэшэмнителор ын прочесул кэлирий асупра фотосинтез алтонирор де виц де вис

16

Бажуряну Н. С., Гайковская Л. Т., Прохорова Л. М. Депеиденца композицией био-
химиче а перелор ла пэстраре ынделунгатэ де тимпул кулесулуй ши конди-
циине де реколтаре

19

Банташ В. Г., Арасимович В. В. Партикуларитэциле пектинулуй елиминат дии ме-
реле тратате ку клорурэ де калчу

23

Микробиология

Меренюк Г. В., Загорча К. Л., Фрунзе Н. И., Пламадяла В. И. Динамика процес-
селор микробиологиче ын сол суб акциия ынгрэшэмнителор

27

Зоология

Ганя И. М., Зубков Н. М., Гусан Г. З., Скляров Н. А. Импортанца пэсэрилор ын
окротира интегрэ а ливезилор
Держански В. В. Пантелие петроасе але ланцурилор де калкар ын Молдова ка резер-
ваций але спечинилор рапре де плошнице

33

Физиология ши биокимия омулуй
ши анималелор

Марзанов Н. С., Люцканов П. И. Факторий спечифич ай групелор де синиже ла ови-
не ши фолосиря ачстора ла селекционаря анималелор де прэсиэ

43

Медицина

Ремии В. В., Валика В. В. Чинетика фармачеутике а изониазидей ын солуцииле де
подивинилпирролидоне

46

Палеонтология

Негадаев-Никонов К. В. Дезволтаря люмночитеилор (Crustacea) ын антропоженул
пэрций европене а УРСС

51

Кимие

Повар И. Г., Фиштик И. Ф., Ватаман И. И. Калкулуд кондициилор оптиме де дезал-
калинизаре субтеранэ а минерурор де уран

57

Сиба Кулему, Шафранский В. Н., Попов М. С., Самусь Н. М. Студиул спектроско-
пик УК а нитрато-группе координате ын комплексий Cu(II), каре конции 2-хид-
роксиэтиламино-2-окси-1-бензальдегидата

61

Барба Н. А., Мегхеззи Ахмед, Коржа И. Д., Дранка И. В. Гравиметрие термикэ а
поли-N-(4-винилфенил)алкилтионо-карбамацилор

64

Скурте комуникэрь

Балаур Н. С., Копыт М. И. Диагностика резистенцией пэпушюолуй ла температу-
риле скэзуте пе база детерминэнрий пердерилор енергийе радианте а пла-
нителор

69

Тромбицкий И. Д., Маня В. М. Ролул черкариулуй ку стилет ын акумуларя имун-
чэтий ла дисплостомиза пештилор

71

Гранач В. Г. Акциуния компоненцилор медиулуй синтетик асупра рапортулуй про-
цессе:липиде ын мембранеле плазматиче але гамецилор ла маскулуй анимале-
лор агрисколе

72

Лука Г. Г., Швыдкий В. О., Батыр Д. Г. Детерминаря ионилор де нитрит ку ажуто-
рул ачиудулуй α -аминонензойнк ши а 1-нафтиламиней

74

Реферат

СОДЕРЖАНИЕ

Анестиади В. Х. Коронаросклероз в аспекте иммуноморфологии

Ботаника

Дубына Д. В. Геоботаническое районирование устьевой области Днестра

Физиология и биохимия растений

Морару К. В., Тома З. Г., Степуриня Т. Г. Свободные аминокислоты и качество зерна мягкой озимой пшеницы

Корлэтяну Л. Б., Жакотэ А. Г. Влияние внекорневого внесения комплекса микроэлементов в процессе закаливания на фотосинтез прививок винограда

Бажуряну Н. С., Гайковская Л. Т., Прохорова Л. М. Зависимость химического состава плодов груши при длительном хранении от сроков съема и условий произрастания

Банташ В. Г., Арасимович В. В. Особенности пектинового комплекса плодов яблони, обработанных хлористым кальцием

Микробиология

Меренюк Г. В., Загорча К. Л., Фрунзе Н. И., Пламаджала В. И. Динамика микробиологических процессов в почве под влиянием удобрений

Зоология

Ганя И. М., Зубков Н. И., Гусан Г. З., Скляров Н. А. Значение птиц в интегрированной защите сада

Держанский В. В. Резервации редких видов полужесткокрылых на каменистых склонах известняковых гряд Молдавии

Физиология и биохимия человека и животных

Марзанов Н. С., Люцканов П. И. Группоспецифические факторы крови овец и их использование в селекционно-племенной работе

Медицина

Ремиш В. В., Валика В. В. Фармакокинетика изониазида в растворах поливинилпирролидона

Палеонтология

Негадаев-Никонов К. Н. Развитие лимноцитер (Crustacea) в антропогене европейской части СССР

Химия

Повар И. Г., Фиштик И. Ф., Ватаман И. И. Расчет оптимальных условий подземного выщелачивания урановых руд

Сиба Кулему, Шафранский В. Н., Попов М. С., Самусь Н. М. ИК-спектроскопическое исследование координированной нитратогруппы в комплексах меди(II), содержащих 2-гидроксиэтилимино-2-окси-1-бензальдегидат

Барба Н. А., Мегхеззи Ахмед, Корджа И. Д., Дранка И. В. Термогравиметрическое исследование поли-N-(4-винилфенил)алкилтионокарбаматов

Краткие сообщения

Балаур Н. С., Копыт М. И. Диагностика холдоустойчивости растений кукурузы на основе определения энергетических потерь

Тромбитский И. Д., Маня В. М. Роль стилетных церкарий в выработке иммунитета против диплостомоза рыб

Гранач В. Г. Действие компонентов синтетических сред на соотношение белок:липид плазматических мембран гамет самцов сельскохозяйственных животных

Дука Г. Г., Швидкий В. О., Батыр Д. Г. Определение нитрит-ионов при помощи п-аминобензойной кислоты и 1-нафтиламина

Рефераты

CONTENTS

Anestiadi V. Kh. Coronarosclerosis in the Aspect of Immunomorphology

Botany

Dubyna D. V. Geobotanical Division of the Estuarine Area of the Dniester River

Plant Physiology and Biochemistry

Moraru K. V., Toma Z. G., Stepurina T. G. Free Amino-acids and the Quality of Soft Winter Wheat Grain

Korletjanu L. B., Zhakotz A. G. The Influence of Extra-root Applying of the Complex of Microelements During the Process of Hardening

Bajurianu N. S., Gaikovschi L. T., Prokhorova L. M. Dependence of the Chemical Composition of Pear Fruits During Prolonged Storage on the Yield Time and Growth Conditions

Bantash V. G., Arasimovich V. V. Peculiarities of the Pectin Complex of Apple Fruits Treated with Calcium Chloride

Microbiology

Merenjuck G. V., Zagorcha K. L., Frunze N. I., Plamadjala V. I. Dynamics of Microbiological Processes in Soil Under the Influence of Manure

Zoology

Ganya I. M., Zubkov N. I., Gusan G. Z., Sklyarov N. A. Importance of Birds for the Integrated Protection of Orchards

Derzhansky V. V. Reservations of Rare Species of Hemipteres on the Stony Slopes of Limestone Ridges in Moldavia

Human and Animal Physiology and Biochemistry

Marzanov N. S., Lutschanov P. I. Group-specific Sheep Blood Factors and Their Utilization in Selection

Medicine

Remish V. V., Valica V. V. Pharmacokinetics of Isoniazid in Polyvinilpirrolidon Solutions

Palaeontology

Negadaev-Nikonov K. N. The Development of Limnocytherinae (Crustacea) in the Anthropogene of the European Part of the USSR

Chemistry

Povar I. G., Fishtik I. F., Vataman I. I. The Calculation of Optimum Conditions of the Uranium Ores Lixivation

Sib Kulemu, Shafranski V. N., Popov M. S., Samus N. M. IK-spectroscopic Investigation of the Coordinated NO₃-group in Cu(II) Complexes, Which Contain 2-hydroxyethylimino-2-oxybenzaldehidat

Barba H. A., Meghezzi Ahmed, Kordja I. D., Dranka I. V. Thermogravimetric Investigation of poly-N-(4-vinylphenyl) Alcyliationocarbamates

Short Communications

Balaur N. S., Kopyt M. I. The Diagnostics of Maize Cold-resistance on the Basis of Energy Loss Determination

Trombitsky I. D., Manja V. M. The Role of Stylet Cercariae in Fish Immunization Against Diplostomum

Granach V. G. The Effect of Components of the Synthetic Environment Upon the Ratio Protein:Lipid in Plasmatic Membranes of Gametes of Agricultural Animals

Duca G. G., Shvidky V. O., Batyr D. G. Determination of Nitrite Ions With the Help of p-Aminobenzoic Acid and 1-Naphthylamine

Abstracts

95 коп.

Индекс 76961

КИШИНЕВ „ШТИНИЦА“ 1939.

Редактор *Л. Д. Танасевская*
Обложка художника *Н. А. Абрамова*
Художественный редактор *Э. Б. Мухина*
Технический редактор *В. В. Марин*
Корректоры *Л. М. Петрика, А. В. Сушкевич*

Сдано в набор 14.07.89. Подписано к печати 25.10.89. Формат 70×108^{1/16}.
Бумага книжно-журнальная. Литературная гарнитура. Печать высокая.
Усл. печ. л. 7,0. Усл. кр.-отт. 7,7. Уч.-изд. л. 7,61. Тираж 724. Заказ 287. Цена 95 коп.

Издательство «Штиница», 277028, Кишинев, ул. Академика Я. С. Гросула, 3

Адрес редколлегии: 277028, Кишинев, ул. Академика Я. С. Гросула, 1, тел. 21-77-66.

Типография издательства «Штиница», 277004, Кишинев, ул. Берзарина, 8.